

Usporedba metode laserske difrakcije i analize slike u mjerenu raspodjele veličina čestica

Štanfel, Mateja

Undergraduate thesis / Završni rad

2017

Degree Grantor / Ustanova koja je dodijelila akademski / stručni stupanj: **University of Zagreb, Faculty of Chemical Engineering and Technology / Sveučilište u Zagrebu, Fakultet kemijskog inženjerstva i tehnologije**

Permanent link / Trajna poveznica: <https://urn.nsk.hr/urn:nbn:hr:149:277681>

Rights / Prava: [In copyright/Zaštićeno autorskim pravom.](#)

Download date / Datum preuzimanja: **2025-01-02**



FKITMCMXIX

Repository / Repozitorij:

[Repository of Faculty of Chemical Engineering and Technology University of Zagreb](#)



SVEUČILIŠTE U ZAGREBU
FAKULTET KEMIJSKOG INŽENJERSTVA I TEHNOLOGIJE
SVEUČILIŠNI PREDDIPLOMSKI STUDIJ

Mateja Štanfel

**USPOREDBA METODE LASERSKE DIFRAKCIJE I ANALIZE
SLIKE U MJERENJU RASPODJELE VELIČINA ČESTICA**

ZAVRŠNI RAD

Voditelj rada: Prof. dr. sc. Gordana Matijašić

Članovi ispitnog povjerenstva:

Prof. dr. sc. Gordana Matijašić

Doc. dr. sc. Krunoslav Žižek

Prof. dr. sc. Irena Škorić

Zagreb, srpanj 2017.

*Završni rad izrađen je u Zavodu za mehaničko i toplinsko procesno inženjerstvo Fakulteta
kemijskog inženjerstva i tehnologije Sveučilišta u Zagrebu.*

Zahvaljujem svojoj mentorici prof. dr. sc. Gordani Matijašić na stručnoj pomoći, savjetima i strpljenju pri izradi diplomskog rada.

Veliko hvala Matiji Grgiću, mag. ing. cheming. na pomoći i strpljenju pri izradi eksperimentalnog dijela rada.

Zahvaljujem svojoj obitelji te svim kolegama koji su mi bili velika podrška i snaga tijekom studiranja.

SAŽETAK

Veličina i raspodjela veličina čestica značajni su u mnogim postupcima farmaceutske industrije, kao što su tabletiranje i granuliranje, budući da o veličini čestica i njihovom obliku ovisi brzina otpuštanja djelatne tvari, a time i bioraspoloživost u organizmu.

Cilj ovog rada bio je usporediti metode laserske difrakcije i analize slike pri mjerenu raspodjele veličina čestica praškastog uzorka. Istraživanje je provedeno na 24 uzorka dobivenih usitnjavanjem farmaceutske djelatne tvari dronedaron-hidroklorida. Uspoređene su vrijednosti kvantila dobivene pomoću obje metode.

Na temelju raspodjela veličina čestica dobivenih metodama laserske difrakcije i analize slike može se zaključiti da postoji značajno odstupanje u dobivenim raspodjelama. Najznačajnije odstupanje dobiveno je u području manjih čestica gdje se očituje nedostatak metode laserske difrakcije. Zbog nesferičnih čestica analiziranih uzoraka, metoda analize slike daje relevantnije podatke o raspodjeli veličina čestica.

Ključne riječi: raspodjela veličina čestica, laserska difrakcija, analiza slike, dronedaron-hidroklorid.

ABSTRACT

Particle size and particle size distribution are significant in many pharmaceutical industry processes such as tableting and granulation, since particle size and shape have significant effect on drug release profile and thus bioavailability in the body.

The aim of this research was to compare the methods of laser diffraction and image analysis when measuring the particle size distribution of the powder samples. The study was conducted on 24 samples obtained by micronization of the pharmaceutical active ingredient, dronedarone hydrochloride. The values of quantiles obtained by both methods are compared.

Based on the particle size distribution obtained by laser diffraction method and image analysis, it can be concluded that there is a significant difference in distribution results. The most significant deviation was obtained for small particles where the disadvantage of the laser diffraction method is evident. Because of non-spherical particles of analyzed samples, the image analysis method gives more relevant data on the particle size distribution.

Key words: particle size distribution, laser diffraction, image analysis, dronedarone hydrochloride.

Sadržaj

1. UVOD.....	1
2. TEORIJSKI DIO	2
2.1. Raspodjela veličine čestica	2
2.2. Metode određivanja raspodjele veličina čestica	3
2.1.1. Analitičke funkcije raspodjele	3
2.1.2. Statističke veličine	4
2.1.3. Oblik čestica	6
2.2. Metode određivanja raspodjele veličina čestica	6
2.2.1. Analiza sitima.....	8
2.2.2. Mikroskop i analiza slike.....	8
2.2.3. Sedimentacijske metode	9
2.2.4. Metoda osjetljivog električnog polja.....	9
2.2.5. Laserska difrakcija.....	10
2.3. Dronedaron-hidroklorid.....	11
2.3.1. Farmakokinetička svojstva dronedarona	12
3. EKSPERIMENTALNI DIO	14
3.1. Materijal	14
3.2. Raspodjela veličina čestica	14
3.2.1. Metoda laserske difrakcije.....	14
3.2.2. Analiza slike	16
4. REZULTATI I RASPRAVA.....	18
5. ZAKLJUČAK	24
6. SIMBOLI	25
7. LITERATURA.....	26
8. PRILOZI	27

1. UVOD

Poznavanje raspodjela veličina čestica je značajno kod razumijevanja fizikalnih i kemijskih svojstava materijala. O veličina čestica ovisi čvrstoća samog uzorka i njegova reaktivnost u kemijskim procesima koju je potrebno strogo kontrolirati u mnogim procesnim industrijama pa tako i u farmaceutskoj industriji.

Veličina čestica, oblik te raspodjela veličina čestica neki su od najvažnijih parametara u dobivanju materijala željenih svojstava. Osiguravajući željenu veličinu čestica ili oblik te povećavajući specifičnu površinu uzorka može se utjecati kako na brzinu kemijske reakcije tako i na brzinu prijenosa tvari i topline te olakšati rukovanje ili poboljšati kvalitetu proizvoda.

Matricu tablete čine djelatna tvar (engl. *Active Pharmaceutical Ingredient, API*) te pomoćne tvari (engl. *excipients*). Djelatna tvar je nositelj farmakološke aktivnosti tablete, a time i njezina najvažnija komponenta, dok su pomoćne tvari farmakološki neaktivne, no čine glavninu mase tablete. Dronedaron-hidroklorid djelatna je tvar lijeka koji se koristi za liječenje srčane aritmije. Uglavnom se koristi za liječenje atrijalnih fibrilacija i atrijalnih vibracija, odnosno bliskih vrsta srčane aritmije.

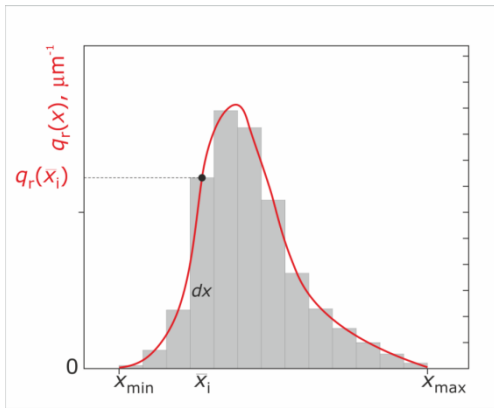
Prosijavanje, mikroskopiranje, računalna analiza slike, laserska difrakcija, taloženje i centrifugiranje samo su neke od metoda analize veličina čestica pomoću kojih se može utvrditi karakterizacija uzorka čestica.¹ Cilj ovog rada bio je usporediti raspodjele veličina čestica uzorka dronedaron-hidroklorida metodama laserske difrakcije i analize slike. Na temelju karakterističnih parametara raspodjele uspoređene su raspodjele dronedaron-hidroklorida dobivene usitnjavanjem pri različitim procesnim uvjetima.

2. TEORIJSKI DIO

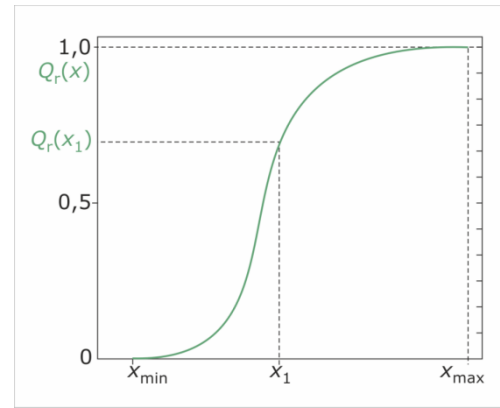
2.1. Raspodjela veličine čestica

Karakterizacijom grubodisperznih sustava opisuju se primarna svojstva čestica (veličina i raspodjela, oblik, osobine površine, mikrostrukture) i fluida (viskoznost i gustoća) te prostorni položaj između čestica. U industrijskim procesima kvaliteta proizvoda i ishod proizvodnog procesa znatno ovise o veličini čestica i raspodjeli veličina čestica. Odstupanje u raspodjeli veličina čestica utječe na svojstva proizvoda: brzinu kemijske reakcije, brzinu otapanja i otpuštanja (lijekovi i farmaceutski oblici), gustoću pakiranja, djelotvornost dostave lijeka i dr. Kako bi se mogla definirati količinska raspodjela potrebno je poznavanje kvantitativne raspodjele čestica koje imaju jednake fizikalne karakteristike. Čestice su najčešće nepravilnog oblika stoga se karakteriziraju ekvivalentnim promjerima kugle (volumni promjer, površinski promjer, Stokesov promjer), ekvivalentnim promjerima kruga (promjer projicirane površine) ili statističkim promjerima (Martinov i Feretov promjer). Raspodjela veličina čestica (izražena brojem čestica, masom ili volumenom) može se prikazati funkcijom gustoće raspodjele, $q_r(x)$ ili kumulativnom funkcijom raspodjele, $Q_r(x)$. Vrstu raspodjele definira indeks r, koji ima vrijednost nula ($r = 0$) za brojčanu raspodjelu, za raspodjelu izraženu udjelom duljine ima vrijednost jedan ($r = 1$), za udio površine čestica ima vrijednost dva ($r = 2$) te za masenu ili volumnu raspodjelu vrijednost tri ($r = 3$). Za obradu dobivenih rezultata potrebno je poznavanje metode kojom je dobivena raspodjela veličina čestica i vrste raspodjele.²

Funkcija gustoće raspodjele, $q_r(x)$, predstavlja udio čestica u intervalu x do $x + dx$, ima diferencijalni oblik u kojem je na x-osi srednja veličina čestica x_i (definirana nekim ekvivalentnim promjerom koji predstavlja srednju veličinu intervala i), a na y-osi udio odgovarajuće veličine (Slika 1). Kumulativna funkcija raspodjele, $Q_r(x)$, predstavlja kumulativni udio čestica manjih od veličine x_i , te ima integralni oblik (Slika 2). Navedene funkcije raspodjele međusobno su povezane i jednostavnim diferenciranjem ili integriranjem prelaze jedna u drugu [$dQ_r(x)/dx = q_r(x)$].³



Slika 1. Prikaz funkcije gustoće raspodjele



Slika 2. Prikaz kumulativne funkcije raspodjele

2.2. Metode određivanja raspodjele veličina čestica

2.1.1. Analitičke funkcije raspodjele

Raspodjela veličina čestica opisuje se odgovarajućim analitičkim funkcijama ili statističkim veličinama. Postoje brojne analitičke funkcije raspodjele koje služe za aproksimiranje rezultata mjerjenja, a najčešće se primjenjuju logaritam-normalna funkcija raspodjele (LN funkcija) i Rosin-Rammler-Sperling-Bennetova funkcija raspodjele (RRSB funkcija).

Logaritam normalna funkcija raspodjele (LN):

$$Q_r(x) = \frac{1}{\sigma_{\lg} \sqrt{2\pi}} \int_0^x \frac{\log e}{x} \exp \left[-\frac{(\log x - \log x_{50/r})^2}{2\sigma_{\lg}^2} \right] \quad (1)$$

Logaritam-normalna dvoparametarska funkcija raspodjele definirana je parametrom položaja, x_{50} (medijan raspodjele) te parametrom raspršenosti, σ_{\ln} . Što je σ_{\ln} veći to je raspodjela šira odnosno taj parametar ukazuje na širinu distribucije čestica oko medijana.

RRSB funkcija:

$$Q_3(x) = 1 - \exp \left[- \left(\frac{x}{x_{63}} \right)^n \right] \quad (2)$$

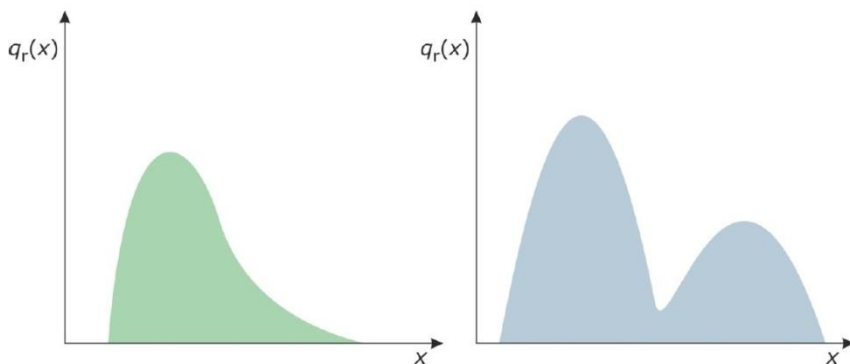
RRSB je također dvoparametarska funkcija raspodjele gdje je x_{63} parametar položaja, a n parametar raspršenosti (što je n veći uža je raspodjela i obrnuto). Ova funkcija se najčešće koristi za opis široke raspodjele veličina dobivene usitnjavanjem.

Prednosti spomenutih dvoparametarskih funkcija vidljive su u iskazu cjelokupne raspodjele pomoću samo dva parametra koji se mogu povezati s procesnim parametrima ili svojstvima disperznog sustava na ulazu. Nedostatak je da navedeni parametri ne mogu ukazati na oblik raspodjele ili višemodalnost te je tada moguće koristiti višeparametarske funkcije.^{3,4}

2.1.2. Statističke veličine

Osim analitičkim funkcijama raspodjele, raspodjela veličina čestica može se opisati i statističkim veličinama. Opisivanjem raspodjele nekom statističkom veličinom jednostavno se mogu povezati svojstva disperzne faze s procesnim uvjetima, ali nažalost ove veličine ne daju dovoljno podataka o samoj raspodjeli.

Statističke veličine su: kvantile, najučestalija veličina (engl. *mode*), medijan (engl. *median*), srednji promjer (engl. *mean*), specifična površina, koeficijent zaobljenosti i koeficijent asimetrije. Kvantile predstavljaju veličinu čestica koje odgovaraju odabranom kumulativnom udjelu npr. x_{10} , x_{50} , x_{90} . Najučestalija veličina predstavlja veličinu koja se najviše puta pojavljuje u uzorku te odgovara maksimumu krivulje gustoće raspodjele. Raspodjele koje imaju jednu najučestaliju veličinu nazivaju se monomodalne, one s dvije binodalne ili generalno multimodalne (Slika 3).



Slika 3. Prikaz monomodalne i binodalne raspodjele³

Medijan predstavlja veličinu koja razdvaja populaciju čestica na dva jednakaka dijela. Kod simetričnih raspodjela najučestalija veličina i medijan imaju istu vrijednost. Srednji promjeri uzimaju u obzir veličinu čestica i njihov udio, a mogu dati bolji uvid u raspodjelu veličina čestica. Postoji više srednjih promjera koji se definiraju ovisno o načinu određivanja i izražavanja raspodjele. Za opis raspodjele mogu se koristiti sljedeći srednji promjeri:

aritmetički srednji promjer, kvadratni srednji promjer, kubični srednji promjer, geometrijski srednji promjer, harmonijski srednji promjer, površinski ili Sauterov srednji promjer i volumni ili Debroukereov srednji promjer. Specifična površina predstavlja ukupnu vanjsku površinu čestica, može se izračunati iz raspodjele veličina čestica ili izmjeriti metodom propusnosti poroznog sloja.

$$S_m = \frac{6}{\psi_{Wa} \cdot \rho} \int_{x_{min}}^{x_{max}} \frac{q_3(x)}{x} dx \quad (3)$$

S_m predstavlja specifičnu površinu izraženu po masi uzorka ($\text{m}^2 \text{ kg}^{-1}$).

Spomenute statističke veličine ne daju pravi uvid u širinu raspodjele. Širina raspodjele pokazuje raspon veličina čestica.

$$S = \frac{x_{90}}{x_{10}} \quad (4)$$

$$S = \frac{x_{90} - x_{10}}{x_{50}} \quad (5)$$

U izrazima (4) i (5) veličine čestica predstavljaju karakteristične kvantile koje se mogu očitati iz kumulativne funkcije raspodjele. Ako se širina raspodjele računa prema izrazu (4) raspodjelu je moguće kategorizirati od monodisperzne do jako široke (Tablica 1).^{3,4}

Tablica 1. Širina raspodjele prema vrijednostima iz izraza (4)

Monodisperzna	<1,02 (idealno 1)
Jako uska	1,02-1,05
Uska	1,05-1,5
Srednje širine	1,5-4
Široka	4-10
Jako široka	> 10

2.1.3. Oblik čestica

Za opisivanje grubodisperznog sustava, osim veličine i raspodjele veličina čestica koristi se i oblik čestica. Oblik čestica predstavlja kompleksnu geometrijsku karakteristiku jer ona nije samo oblik već mogu biti i karakteristike kao što su konveksnost i hrapavost površine. Oblik čestice može se opisati kvalitativno ili definirati pomoću faktora oblika i matematičkih funkcija. Faktor oblika iskazuje odstupanje čestice od sferičnog oblika. Najčešće se koristi Wadellov faktor sferičnosti, ψ_{Wa} . On predstavlja odnos između površine kugle i površine čestice istih volumena. U pojednostavljenom obliku može opisati kao odnos ekvivalentnih promjera volumnog, x_V i površinskog promjera x_S :

$$\psi_{Wa} = \left(\frac{x_V}{x_S} \right)^2 \quad (6)$$

Vrijednosti Wadellovog faktora sferičnosti kreću se u rasponu od 0 do 1, a maksimalna vrijednost 1 govori da se radi o čestici oblika kugle.³

2.2. Metode određivanja raspodjele veličina čestica

Prilikom operacija pretvorbe čestica, veličina čestica i raspodjela veličina čestica imaju ključnu ulogu u karakterizaciji sustava. Raspodjela veličina čestica kod monodisperznih sustava sferičnih čestica vrlo se lako može opisati samo jednom veličinom, dok u realnim slučajevima kada su uzorci polidisperzni i sadrže nesferične čestice više veličina treba biti definirano kako bi se dobio potpuni opis. Izazov u karakterizaciji predstavlja pravilno opisivanje raspodjele jer različite metode mjerenja definiraju različite tipove finoće i tipove raspodjele (masena, brojčana, volumna). Vrlo bitan korak prije mjerenja je pravilno uzorkovanje i dijeljenje uzorka. Slikom 4 prikazana je podjela metoda određivanja raspodjele veličina čestica prema Merkusu.



Slika 4. Podjela metoda određivanja raspodjele prema Merkusu

1) Tehnika otiska prsta

Metode u kojima je signal svake individuane čestice povezan s njezinom veličinom pa predstavlja poseban identifikator. Dobiveni signali svrstani su u veličinske kategorije koje su proporcionalne veličini čestica. Ovoj skupini pripadaju: mikroskop i analiza slike (svjetlosni mikroskop, SEM, TEM), optičke metode, metoda osjetljivog električnog polja i dr.

2) Separacijske metode

Separacijskim metodama zajedničko je odvajanje čestica različitih veličina na temelju odgovarajućeg principa kao što su kromatografske metode, zračna klasifikacija, analizatori električne mobilnosti, prosijavanje, sedimentacijske metode i dr.

3) Metode odaziva kolektiva čestica

Ove metode se zasnivaju na tome da set signala dolazi od grupe čestica, a potom se matematički, pomoću odgovarajućeg modela ponašanja čestica, transformira u raspodjelu koja najbolje opisuje sustav. Ovoj skupini metoda svrstava se: laserska difrakcija, NMR, dinamičko raspršenje svjetla, ultrazvuk i dr.

4) Ostale metode

Hegmanov mjerač (grindometar), metoda permeabilnosti i sl.

2.2.1. Analiza sitima

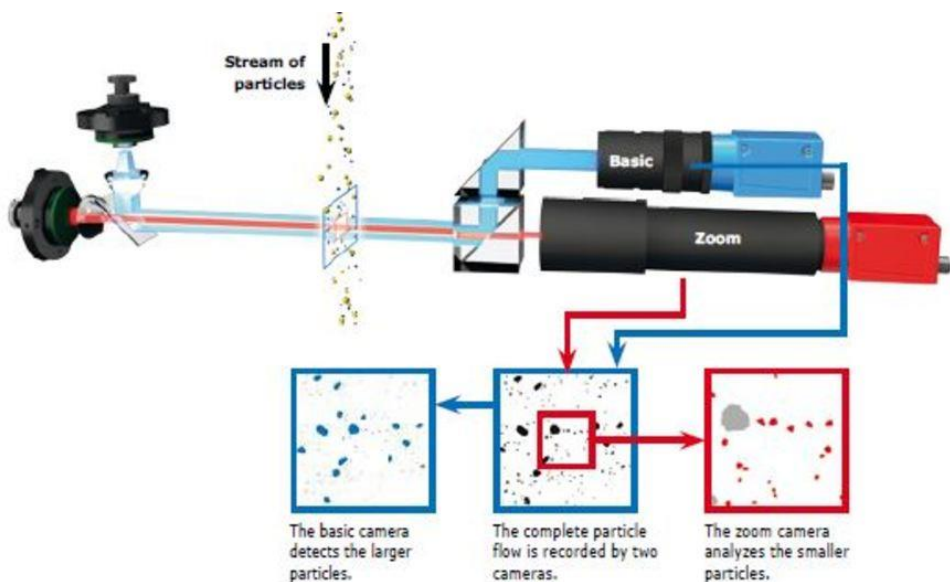
Vrlo jednostavna i ekonomična metoda određivanja raspodjele veličina čestica koja je prikladna za čestice veće od $45 \mu\text{m}$. Veličina čestica definira se promjerom prosijavanja koji odgovara otvoru očice sita. Uzorak se dijeli na veličinske intervale koji se pritom važu, a rezultat je masena raspodjela veličina čestica izražena promjerom prosijavanja. Postoje tri načina prosijavanja: suho prosijavanje (za čestice veće od $45 \mu\text{m}$), zračno-strujno suho prosijavanje (donja granica prosijavanja $20 \mu\text{m}$), mokro prosijavanje (najmanja veličina čestica je $5 \mu\text{m}$).

2.2.2. Mikroskop i analiza slike

Određivanje raspodjele veličina čestica mikroskopiranjem podrazumijeva analizu slike čestica nakon uvećanja. Metodom analize slika smanjuje se broj podataka, jednostavnija je interpretacija kvantitativne informacije u obliku raspodjele veličina čestica ili srednjih promjera. Za dobivanje informacija o veličini i obliku čestica služi sama projekcija čestica. Raspodjela veličina čestica ovisi o njihovoј orijentaciji koja najčešće nije slučajna, osim ako se koriste posebne metode pripreme uzorka kao što je adhezivna podloga na mikroskopskom stakalcu. Svjetlosna mikroskopija najstarija je tehnika, no ograničenja su nastala kada se pojavio interes za analizom objekata puno manjih od valne duljine vidljive svjetlosti te se tada razvija elektronska mikroskopija. Za čestice veće od $0,3 \mu\text{m}$ koristi se svjetlosni mikroskop ali se za kvantitativno mjerjenje preporuča veličina čestica većih od $3 \mu\text{m}$. Svjetlosni mikroskop ima uvećanje do 1500 puta dok je kod elektronskih mikroskopa (SEM, TEM) više od 100.000 puta. U kombinaciji s analizom slike ova metoda daje promjere projicirane slike čestice (Martinov, Feretov promjer ili promjer projicirane površine). Rezultat je brojčana raspodjela veličina čestica.

Na staničnim mikrografijama izvodi se analiza slike iako danas postoji i analiza dinamičke mikrografije kao i kontinuirano mjerjenje u procesu. Analiza slike može se provoditi ručno odabirom i obilježavanjem svakog objekta putem korisničkog sučelja ili automatski.

Novije metode ne uključuju samo analizu slike dobivenu mikroskopom već i pomoću posebnih uređaja poput prikazanog na slici 5.



Slika 5. Camsizer X2, Retsch

2.2.3. Sedimentacijeske metode

Određivanje raspodjele veličina čestica zasniva se na razlici u brzini taloženja čestica što ne zahtijeva sofisticiranu opremu, pogotovo kada je riječ o gravitacijskoj sedimentaciji. Unutar gravitacijskog polja premale čestice sklone su aglomeraciji i podliježu Brownovom gibanju te je zbog toga za male čestice bolja metoda koja se zasniva na centrifugalnoj sedimentaciji. Pretpostavlja se da se čestice nesmetano talože malim brzinama zbog suspenzije male koncentracije što se može opisati Stokesovim zakonom. Za mjerjenje raspodjele veličina čestica sedimentacijom koristi se tradicionalna oprema tvz. Andreasenova pipeta u kojoj se na određenim izlazima uzima uzorak u odgovarajućim vremenskim intervalima te se određuje preostala koncentracija čvrste tvari. Raspodjela dobivena sedimentacijskim metodama izražena je kao masena raspodjela Stokesovih promjera. Ukoliko su čestice iste gustoće rezultati masene raspodjele isti su onima volumne raspodjele.

2.2.4. Metoda osjetljivog električnog polja

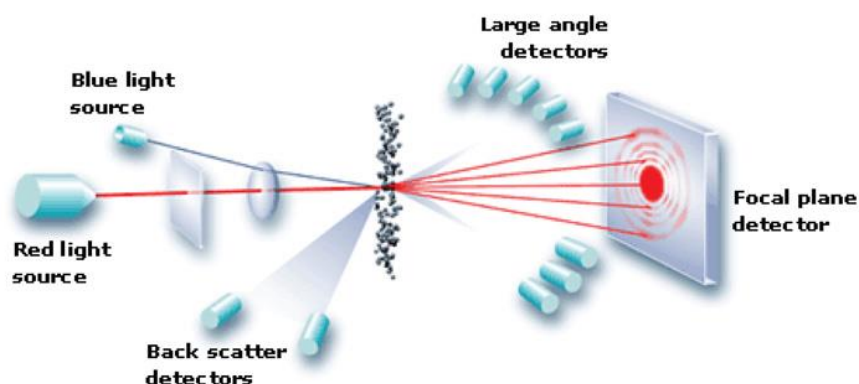
Coulterov princip je metoda osjetljivog električnog polja, izumljena ranih pedesetih godina 20. stoljeća te je od tada vrlo korištena u medicini za određivanje broja crvenih i bijelih krvnih zrnaca. Wallace Coulter je, kao začetnik ove metode, ispitivanja provodio pomoću vlastite krvi. Eksperimentiranjem je došao do zaključka da prolaskom krvnih zrnaca između elektroda

dolazi do nagle promjene električnog otpora. Nastali intenzitet naponskog impulsa proporcionalan je veličini čestica. U elektrolitu su suspendirane čestice i zajedno s njim prolaze kroz mali otvor kivete između dvije elektrode. Nakon što čestica prođe između elektroda dolazi do promjene električnog otpora što rezultira naponskim impulsom. Mjeranjem broja impulsa i njihovih amplituda mogu se dobiti informacije o broju i volumenu čestica, a bez obzira na njihov oblik. Rezultat je brojčana ili volumna raspodjela.⁵

2.2.5. Laserska difrakcija

Prilikom prolaska kroz lasersku zraku (izvor svjetlosti) čestice raspršuju svjetlost pod određenim kutovima koji izravno ovise o veličini čestica. Intenzitet raspršene svjetlosti također ovisi o veličini čestica pa će tako velike čestice rezultirati malim kutom i velikim intenzitetom difrakcije, a male čestice velikim kutom i malim intenzitetom difrakcije (Slika 6).

Laserska difrakcija je posebna grana teorije elektromagnetskog raspršivanja koja se temelji na rješenjima Maxwellove jednadžbe. Jedno od rješenja Maxwellove jednadžbe je Mieova teorija a upotrebljava se klasična teorija raspršenja svjetla s malih sferičnih čestica. Za čestice koje su puno manje, odnosno puno veće od valne duljine svjetlosti koriste se približna analitička rješenja poput Rayleighove teorije raspršenja i Fraunhoferove aproksimacije.



Slika 6. Ilustracija kuta i intenziteta laserske difrakcije

Fraunhoferova aproksimacija vrijedi za velike čestice ($x \gg \lambda$). Kada ovaj uvjet nije zadovoljen, a posebice za čestice manje od $1 \mu\text{m}$, koristi se Mieova teorija za koju je potrebno

poznavanje indeksa loma materijala. Raspodjela koja se dobije metodom laserske difrakcije je volumna raspodjela. Zbog aproksimacije da se radi o sferičnim česticama, metoda može dati nelogične rezultate za čestice nesferičnog oblika.⁶

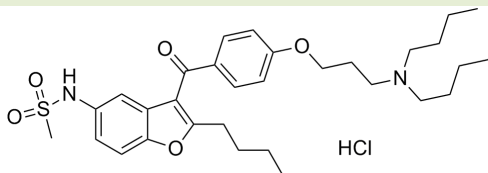
2.3. Dronedaron-hidroklorid

Dronedaron-hidroklorid aktivna je komponenta lijeka koji se koristi za liječenje srčane aritmije. Dronedaron je derivat benzofurana i kemijski je N-(2-butil-3- (4- (3- (dibutilamino) propoksi) benzoil) -5-benzofuranil) metansulfonamid (Tablica 2.).

Dronedaron-hidroklorid je bijela nehigroskopna tvar koja se nalazi u obliku finog praha. Praktički je netopljiv u vodi, slabo topljiv u acetonitrilu, topljiv u etanolu, a potpuno topljiv u metanolu, metilen kloridu te dimetil sulfoksidu. Poznata je samo jedna kristalna forma, ne pokazuje izomerizam te nema kiralni centar.

Kliničkim ispitivanjima utvrđeno je da je dronedaron bolji od amiodarona u smislu da ima relativno brže i kratko vrijeme poluraspađa, smanjenu lipofilnost i zanemarivu kardiovaskularnu toksičnost. Poluvrijeme uklanjanja dronedarona je puno kraće (13 – 19 h) za razliku kod amiodarona koji iznosi nekoliko tjedana. Također je dokazano da je sasvim siguran i učinkovit lijek u kontroli sinusnog ritma i smanjenju ventrikularne proaritmije. Smatra se da će biti najbolji izbor za kontrolu ritma kod pacijenata s atrijalnom fibrilacijom koji nemaju zapis o bolestima srca, bolesti koronarnih arterija i povišenog krvnog tlaka bez hipertrofije lijeve klijetke.

Tablica 2. Struktura i svojstva dronedaron-hidroklorida

Sol	Dronedaron-hidroklorid
Molekulska formula	C ₃₁ H ₄₄ N ₂ O ₅ S x HCl
Strukturalna formula	
Molarna masa, g mol ⁻¹	593,22
Gustoća, g cm ⁻³	1,143
Točka otapanja, °C	141 – 143

Dronedaron se preporuča kao alternativa lijeku amiodaronu za liječenje atrijalnih fibrilacija i atrijalnih vibracija u slučajevima gdje srce zahtijeva terapiju lijekovima ili električnim šokovima, kako bi se održao normalan ritam i rad srca. Dronedaron je znatno sigurniji i učinkovitiji u usporedbi sa ostalim lijekovima za liječenje aritmije srca. Na komercijanom tržištu dronedaron-hidroklorid može se pronaći u obliku Multaq tableta (Slika 7)⁷⁻¹¹



Slika 7. Komercijalno pakiranje dronedaron tableta

2.3.1. Farmakokinetička svojstva dronedarona

Apsorpcija

Nakon oralne primjene poslije jela dronedaron se dobro apsorbira (barem 70 %). Međutim, zbog predsistemske metabolizma prvog prolaza kroz jetru, absolutna bioraspoloživost dronedarona (uzetog uz jelo) je 15 %. Istodobno uzimanje hrane povećava biodostupnost dronedarona prosječno 2 do 4 puta. Nakon oralne primjene poslije obroka, vršna koncentracija u plazmi dronedarona i njegovog glavnog cirkulirajućeg metabolita (N-debutil metabolit) postiže se za 3 do 6 sati. Nakon ponovljene primjene 400 mg dva puta dnevno, stanje dinamičke ravnoteže postiže se za 4 do 8 dana, a prosječna je akumulacija dronedrona od 2,6 do 4,5.

Raspodjela

In vitro vezanje dronedarona i njegova N-debutil metabolita na proteine plazme iznosi 99,7 %, odnosno 98,5 % i nije zasićeno. Obje tvari se uglavnom vežu na albumin. Nakon intravenske primjene volumen distribucije u stanju dinamičke ravnoteže nalazi se u rasponu od 1200 do 1400 litara.

Metabolizam

Dronedaron se ekstenzivno metabolizira, uglavnom pomoću enzima CYP3A4. Glavni metabolički put obuhvaća N-debutilaciju pri čemu se stvara glavni cirkulirajući aktivni metabolit, nakon koje slijedi oksidacija, oksidativna deaminacija, pri čemu se stvara neaktivni metabolit propionske kiseline, a nakon toga slijedi oksidacija i direktna oksidacija. Monoaminoooksidaze djelomično sudjeluju u metabolizmu aktivnog metabolita dronedarona. N-debutil metabolit pokazuje farmakodinamičku aktivnost, ali je 3 do 10 puta slabiji od dronedarona. Taj metabolit doprinosi farmakološkoj aktivnosti dronedarona u ljudi.

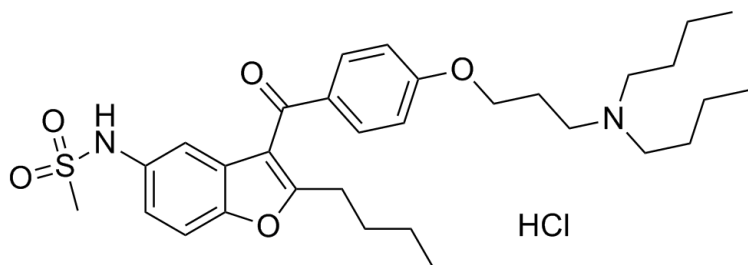
Izlučivanje

Nakon oralne primjene, otprilike 6 % deklarirane doze se izlučuje u urinu, uglavnom u obliku metabolita (u urin se ne izlučuje nepromijenjena djelatna tvar), a 84 % se izlučuje fecesom uglavnom u obliku metabolita. Nakon četiri primjene, klirens dronedarona u plazmi iznosi od 130 do 150 L h⁻¹. Terminalni poluvijek eliminacije dronedarona kreće se u rasponu od oko 25 do 30 sati, a N-debutil metabolita oko 20 do 25 sati. U bolesnika, dronedaron i njegov metabolit u potpunosti se izlučuju iz plazme 2 tjedna nakon prestanka uzimanja doze od 400 mg dva puta dnevno.⁹

3. EKSPERIMENTALNI DIO

3.1. Materijal

Dronedaron-hidroklorid je derivat benzofurana vezanog na amiodaron. U farmaceutskoj industriji je poznat kao lijek za srčane aritmije. Keminski naziv dronedarona je N-(2-butil-3-(p-(3-(dibutilamino)propoksi)benzoil)-5-benzofuranil) metan sulfonamid. Njegova molekulska formula je $C_{31}H_{45}ClN_2O_5S$. Molekulska masa dronedaron-hidroklorida iznosi 593,22 g mol⁻¹, a gustoća 1143 kg m⁻³. Dronedaron-hidroklorid se topi pri temperaturi od 141 do 143 °C. Proizvođač je PLIVA Hrvatska d.o.o. Ispitivani uzorci dobiveni su usitnjavanjem u strujnom mlinu pri različitim procesnim uvjetima.



Slika 8. Kemijska struktura dronedaron-hidroklorida

3.2. Raspodjela veličina čestica

3.2.1. Metoda laserske difrakcije

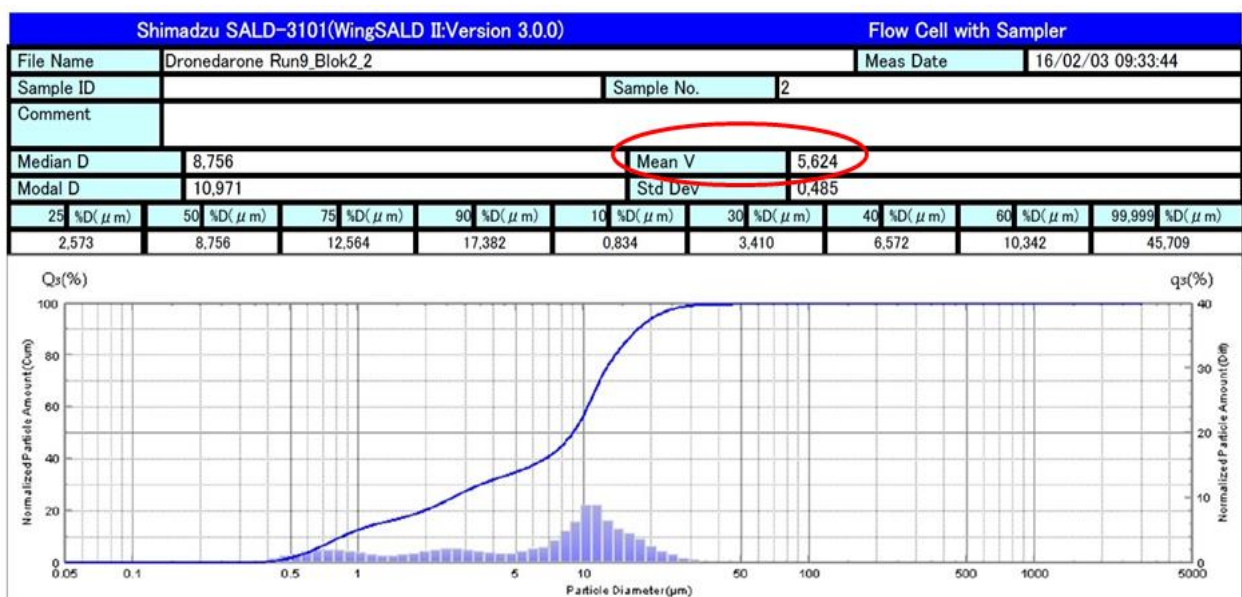
Raspodjela veličina čestica određena je metodom laserske difrakcije na uređaju SALD-3101, Shimadzu, koja se osniva na činjenici da je kut difrakcije obrnuto proporcionalan veličini čestice (Slika 9). Uredaj je opremljen jedinicom za mjerjenje raspodjele veličina čestica suhih praškastih uzoraka u struji zraka, te za mokro mjerjenje u odgovarajućem disperznom sredstvu. Suha mjerena su pogodna za materijale koji su topljivi u otapalima ili ne postoji odgovarajuće disperzno sredstvo.

Određivanje veličine čestica temelji se na Mieovoj teoriji koja rješava jednadžbe međudjelovanja čestica i svjetla vrlo precizno. Za razliku od starijih instrumenata koji su procjenjivali površinu projekcije čestica, ovaj uređaj određuje volumen čestica u širokom rasponu veličina (0,02 – 3000 µm), tako da se volumna raspodjela dobiva direktno. Kada suspenzija prođe kroz lasersku zraku dolazi do difrakcije sa svih prisutnih čestica. Kao

rezultat analize dobivaju se srednja veličina čestica, raspodjela veličina čestica i njihova specifična površina. Mjerenje raspodjele provedeno je dispergiranjem dronedarona-hidroklorida u destiliranoj vodi uz dodatak otopine Tweena kojom se smanjuje površinska napetost. Mjerenja su provedena tri puta za svaki uzorak, a rezultati su prikazani kao srednje vrijednosti mjerenja.^{5,6}



Slika 9. Uredaj za određivanje raspodjele veličina čestica Shimadzu SALD-3101



Slika 10. Interpretacija rezultata laserskom difrakcijom na uređaju Shimadzu SALD-3101

Na slici 10 prikazan je primjer ispisa rezulata dobivenih metodom laserske difrakcije. U rezultattima su prikazane karakteristične kvantile raspodjele i srednji geometrijski promjer.

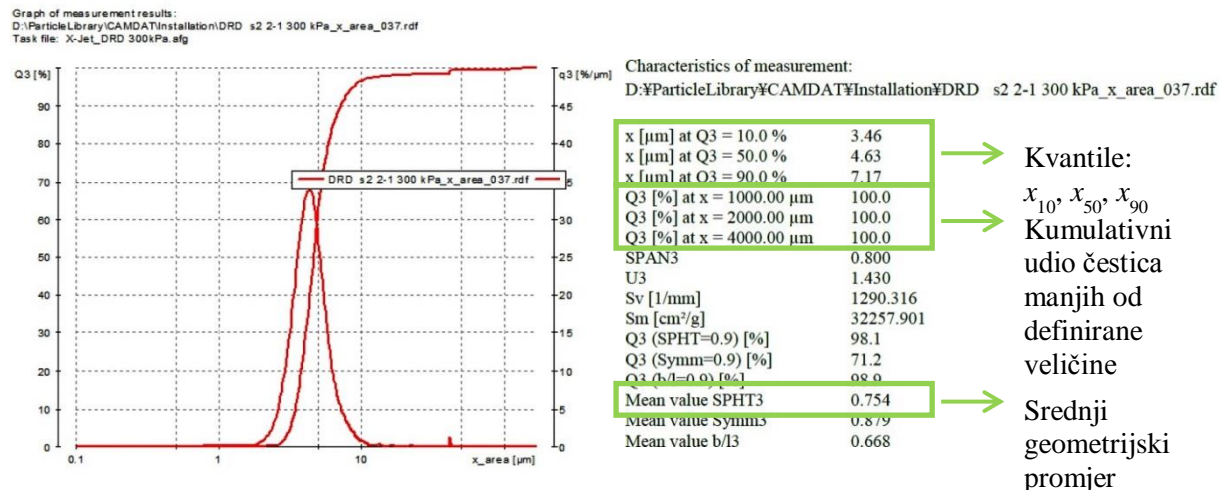
3.2.2. Analiza slike

Raspodjela veličina čestica izmjerena je pomoću uređaja CAMSIZER X2 (Retsch Technology GmbH) (Slika 11) koji se temelji na analizi slike projekcija čestica. Dobivene veličine čestica predstavljaju ekvivalentni promjer projicirane površine čestica.



Slika 11. Uredaj za mjerenje raspodjele veličina čestica (CAMSIZER X2, Retsch Technology GmbH)

Camsizer X2, koristi princip digitalne analize slike. Princip rada zasniva se na tome da raspršene čestice padaju između LED izvora svijetlosti i dviju digitalnih kamera. Sjene čestica se snimaju digitalnim kamerama od kojih je jedna optimirana za analizu manjih čestica s visokom rezolucijom, a druga za detekciju većih čestica s većim vidnim poljem. Odgovarajućim softverom analizirana je veličina i oblik pojedine čestice, a kao rezultat se dobije krivulja raspodjele veličina čestica u realnom vremenu (Slika 12). Obradom podataka mogu se dobiti sve karakteristične veličine raspodjele. Za usporedbu s metodom laserske difrakcije korištene su kvantile, širina raspodjele, a dodatno je analiziran i oblik čestica.¹²



Slika 12. Interpretacija rezultata laserskom difrakcijom na uređaju Camsizer X2, Retsch

4. REZULTATI I RASPRAVA

U ovom poglavlju prikazani su dobiveni rezultati mjerena raspodjele veličina čestica. U tablici 3 prikazani su karakteristični parametri raspodjele veličina čestica dobivene metodom laserske difrakcije. Sva mjerena provedena su tri puta, a prikazani rezultati, kao i mjerni podaci u prilogu, rezultat su srednjih vrijednosti tri mjerena. U tablici 3 prikazane su vrijednosti najučestalije veličine (x_M), srednjeg geometrijskog promjera (\bar{x}_g), vrijednosti kvantila (x_{10} , x_{50} i x_{90}) te izračunate vrijednosti širine raspodjele (S) iz podataka dobivenih metodom laserske difrakcije.

Tablica 3. Karakteristični parametri raspodjele – SALD-3101, Shimadzu

x_M , μm	\bar{x}_g , μm	x_{10} , μm	x_{50} , μm	x_{90} , μm	S , –
7,07	2,94	0,78	3,10	8,63	2,532
2,93	1,81	0,71	2,18	3,67	1,358
10,97	7,18	0,99	10,26	28,35	2,667
2,93	1,84	0,70	2,25	3,69	1,329
8,80	3,79	0,80	4,47	11,43	2,378
17,04	5,23	0,92	7,08	18,21	2,442
2,35	1,99	0,64	2,31	4,78	1,792
2,93	2,63	0,75	2,82	7,82	2,507
8,80	2,87	0,72	2,97	8,94	2,768
2,35	1,88	0,65	2,23	4,36	1,664
5,67	3,19	1,24	3,32	6,51	1,587
17,04	5,95	1,02	8,38	18,37	2,070
2,43	1,82	0,70	2,19	3,63	1,338
21,23	6,11	1,06	8,00	23,17	2,764
2,35	2,08	0,70	2,38	4,73	1,693
2,35	1,84	0,63	2,26	4,78	1,836
2,93	1,89	0,67	2,27	4,04	1,485
2,35	2,21	0,70	2,44	5,87	2,119
2,93	2,33	0,71	2,58	6,24	2,143
2,35	1,94	0,62	2,22	4,82	1,892
51,19	10,75	1,06	16,42	52,46	3,130
7,07	2,58	0,68	2,79	7,70	2,516
21,23	6,32	0,93	8,59	24,98	2,800
2,35	2,15	0,67	2,38	6,02	2,248

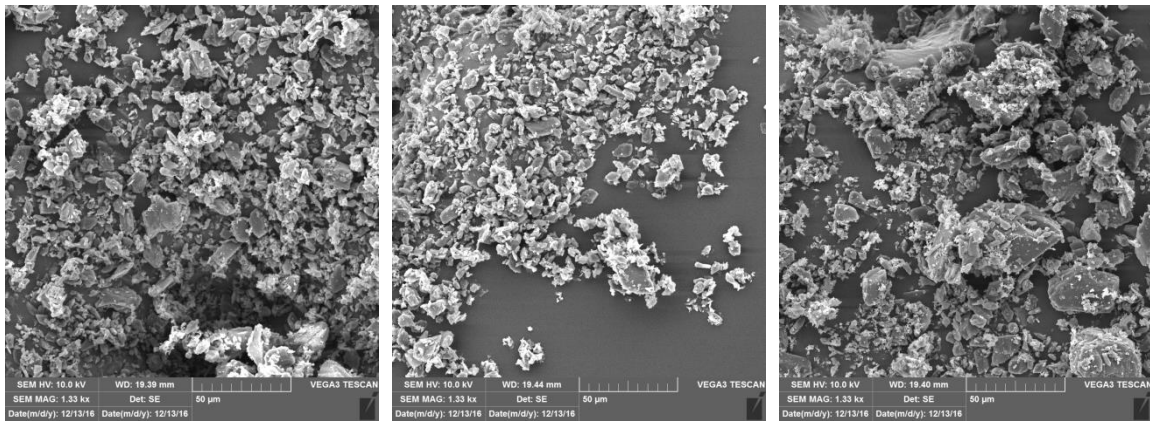
U tablici 4 prikazane su vrijednosti kvantila (x_{10} , x_{50} i x_{90}), širine raspodjele (S) i sfericiteta (ψ) dobivenih analizom slike.

Tablica 4. Karakteristični parametri raspodjele – CAMSIZER X2, Retsch

x_{10} , μm	x_{50} , μm	x_{90} , μm	S , –	ψ , –
3,81	6,34	15,63	1,865	0,767
3,52	4,92	9,63	1,242	0,760
4,46	10,52	26,36	2,081	0,764
3,59	5,27	10,31	1,276	0,764
4,03	7,40	16,65	1,705	0,767
4,05	8,12	19,50	1,903	0,767
3,94	6,94	14,70	1,551	0,767
3,83	6,40	14,62	1,686	0,766
4,00	7,27	14,22	1,404	0,769
3,71	5,69	12,43	1,534	0,765
3,68	5,53	10,82	1,292	0,763
4,32	9,70	26,05	2,240	0,768
3,50	4,92	9,80	1,280	0,759
4,37	10,43	28,17	2,282	0,765
3,58	5,22	9,83	1,197	0,762
3,85	6,38	13,63	1,533	0,767
3,81	6,17	12,62	1,427	0,767
3,60	5,30	9,77	1,164	0,763
3,74	5,78	10,89	1,238	0,767
3,81	6,47	14,90	1,713	0,767
4,55	11,60	33,18	2,469	0,766
3,86	6,63	13,92	1,518	0,769
4,18	8,57	21,16	1,981	0,770
3,74	5,70	12,14	1,472	0,762

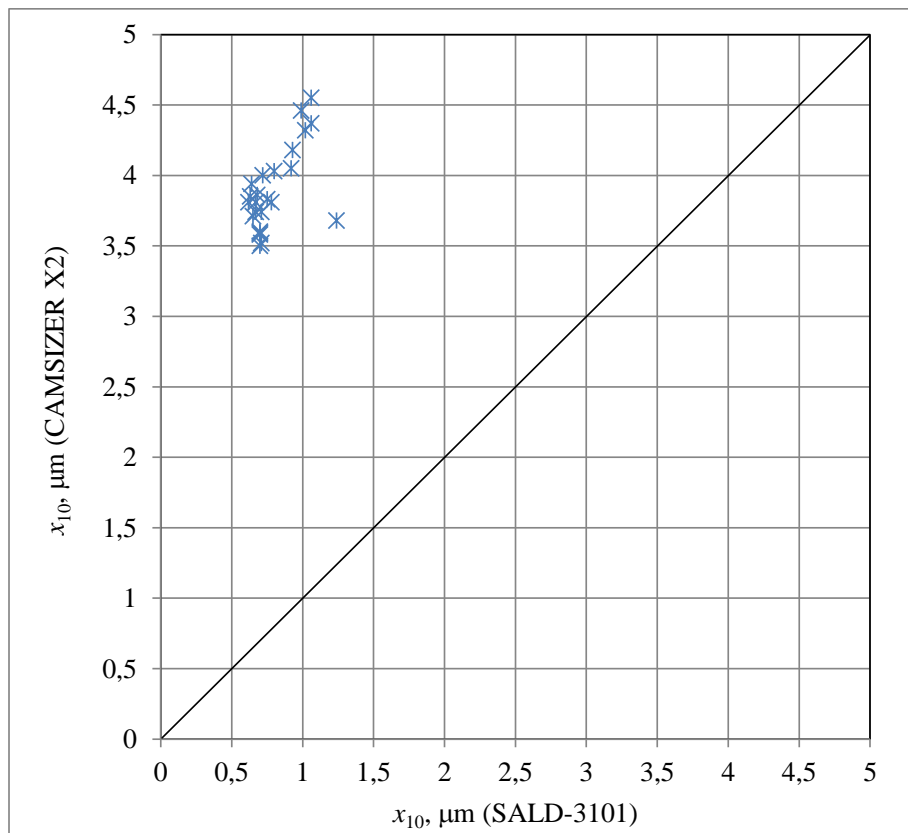
Promjeri dobiveni metodom laserske difrakcije predstavljaju ekvivalentne volumne promjere čestica dok analiza slike daje ekvivalentni promjer projicirane površine. U slučaju sferičnih čestica navedeni promjeri su isti, a eventualne razlike u raspodjeli posljedica su mjernih instrumenata. Međutim, analizirani uzorci nisu se sastojali od sferičnih čestica, što se može vidjeti na mikrografijama nekoliko uzoraka (Slika 13), a također i iz vrijednosti sfericiteta dobivenih analizom slike (Tablica 4).

Vrijednosti sfericiteta za sve usitnjene uzorke kreću se oko 0,76.



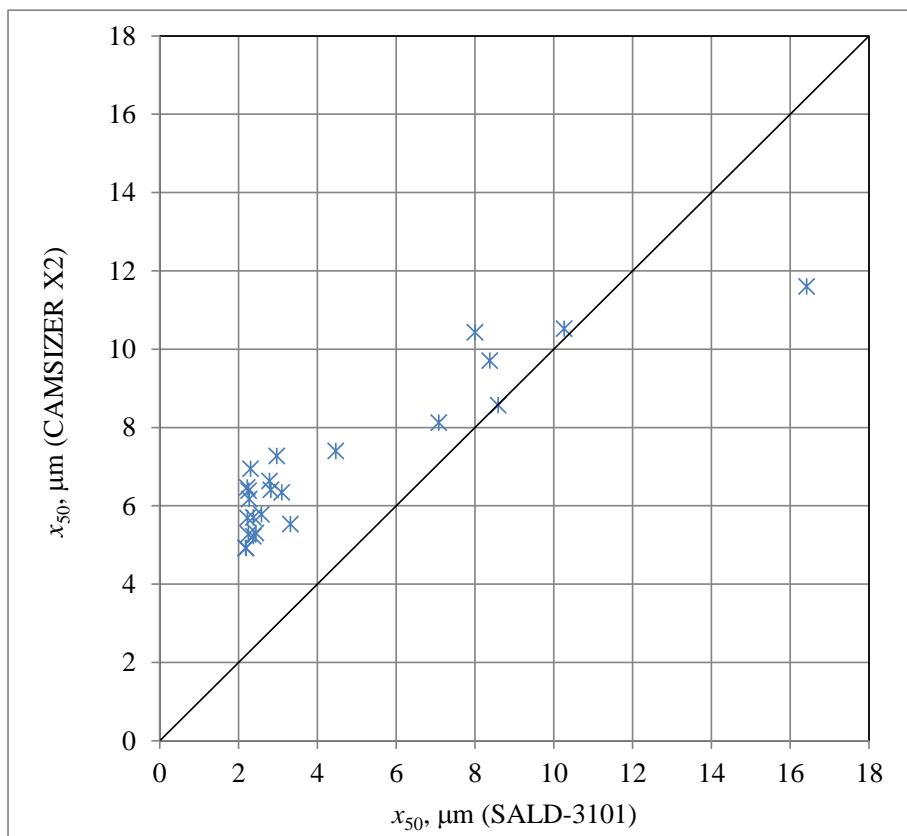
Slika 13. SEM mikrografije usitnjjenih uzoraka; uzorak 2, uzorak 4 i uzorak 6.

Usporedba kvantila prikazana je na slikama 14 – 16. Na y-osi prikazane su vrijednosti dobivene metodom analize slike, a na x-osi vrijednosti dobivene metodom laserske difrakcije. Ucrtani pravac vrijednosti nagiba jedan pokazivaće vrijednosti jednake prema obje metode.



Slika 14. Usporedba dobivenih veličina x_{10} na uređajima SALD-3101 i CAMSIZER X2

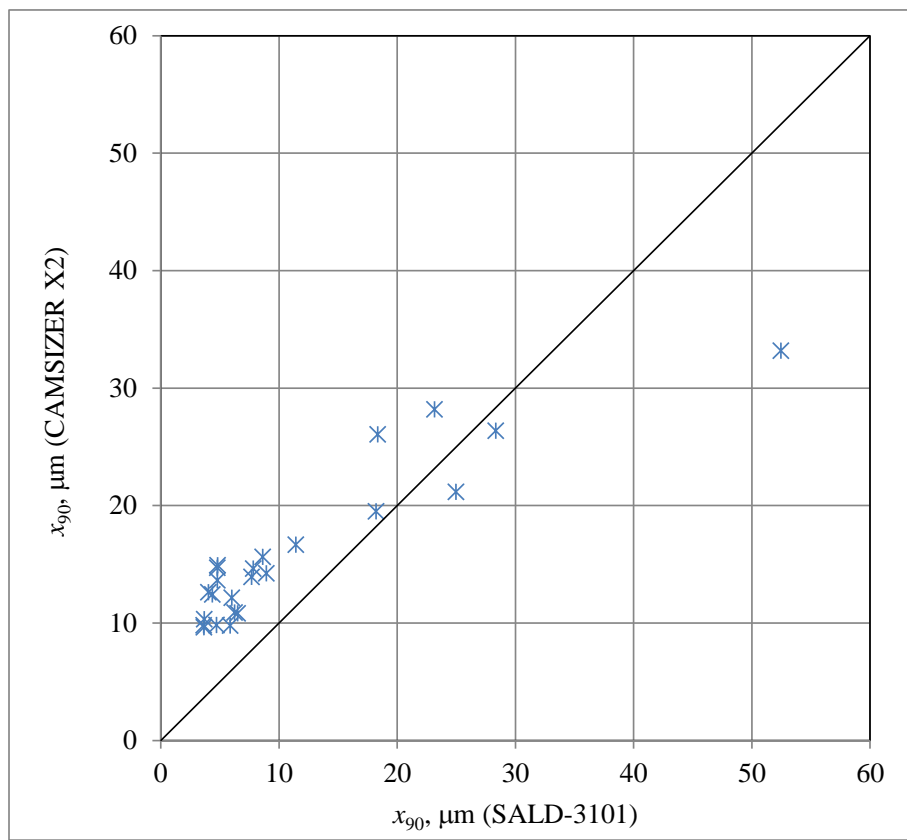
Na slici 14 prikazane su vrijednosti kvantile x_{10} . Vidljivo je značajno odstupanje rezultata prema dvije metode. Vrijednosti x_{10} predstavljaju veličinu od koje je 10 % čestica manjih. Analiza slike daje značajno veće vrijednosti x_{10} , gotovo četiri puta veće od vrijednosti dobivenih metodom laserske difrakcije. Upravo u ovom se očituje nedostatak metode laserske difrakcije. Naime, metoda laserske difrakcije temelji se na izračunu veličine čestica iz difrakcijskog kuta prema Mievoj ili Fraunhoferovoj teoriji. Fraunhoferova aproksimacija koristi se za čestice koje su puno manje ili puno veće od valne duljine svjetlosti. Ova teorija korištena je pri određivanju raspodjele veličina čestica metodom laserske difrakcije. Za čestice manje od 1 μm koristi se Mieva teorija za koju je potrebno poznавanje indeksa loma materijala. Dakle, značajna razlika u rezultatima posljedica je nepogodnosti Fraunhoferove teorije u području manjih veličina. Na osnovu difrakcijskog kuta ova teorija daje značajno manje čestice nego analiza slike.



Slika 15. Usporedba dobivenih veličina x_{50} na uređajima SALD-3101 i CAMSIZER X2

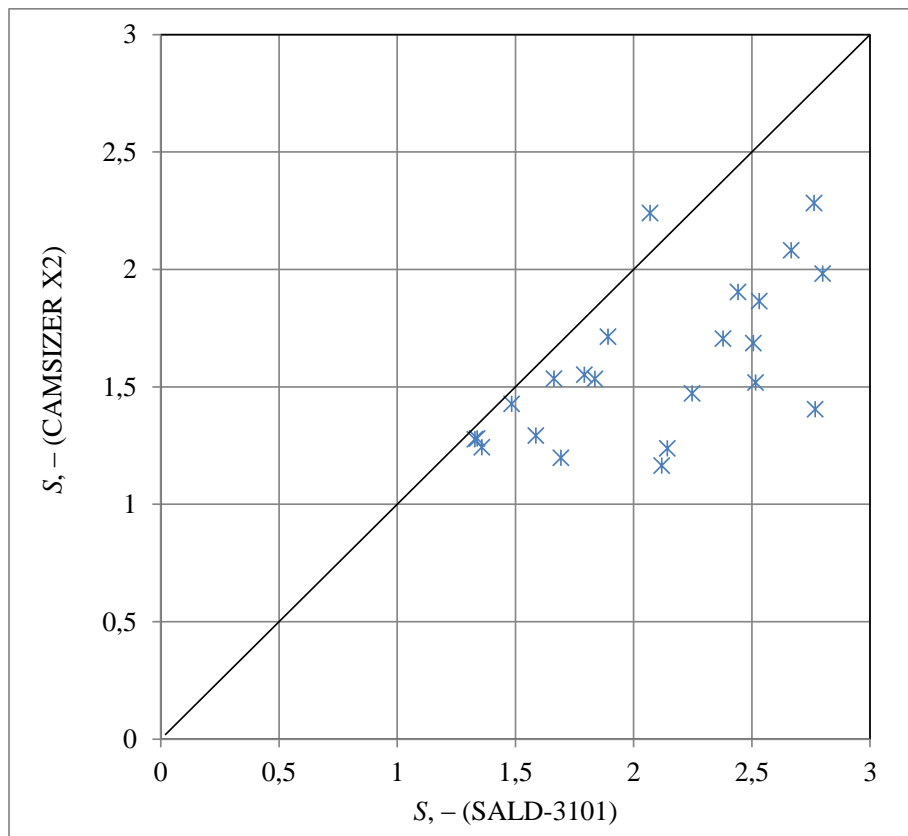
Na slici 15 prikazana je usporedba medijana, a na slici 16 usporedba kvantile x_{90} . Najveće podudarnosti metoda dobivene su u području srednjih veličina; za medijan između 5 i 10 μm ,

a za x_{90} između 15 i 30 μm . Kao i u slučaju vrijednosti x_{10} i ovdje se može uočiti da su gotovo sve dobivene vrijednosti ekvivalentnih promjera projicirane površine veće od volumnih promjera što je posljedica nesferičnosti čestica i interpretacije veličine. Uzme li se za primjer čestica oblika kocke koja ima duljinu brida 1 μm , ekvivalentni promjer projicirane površine iznosit će 1,38 μm , a ekvivalentni volumni promjer iznosit će 1,24 μm . Dakle, za očekivati je da će analiza slike dati nešto veće vrijednosti veličina čestica, otprilike 11 %. Međutim, razlike u veličinama su veće od teorijski prezentiranih što je posljedica mjerne pogreške instrumenta, pripreme uzorka, uzorkovanja i nesferičnosti čestica.



Slika 16. Usporedba dobivenih veličina x_{90} na uređajima SALD-3101 i CAMSIZER X2

Na slici 17 prikazane su vrijednosti širina raspodjela koje su izračunate iz kvantila temeljem izraza (5). Budući da su manje vrijednosti kvantile x_{10} dobivene metodom laserske difracije, očekivano su iz ovih raspodjela dobivene veće vrijednosti širina raspodjele.



Slika 17. Usporedba dobivenih veličina S na uređajima SALD-3101 i CAMSIZER X2

Nedostatak analize slike je obrada dvodimenzionalne projekcije trodimenzionalne čestice. Projekcija čestice ovisi o njezinoj orijentaciji zbog čega je potrebno osigurati slučajnu orijentaciju. Problem je posebno izražen kod mikroskopije. Međutim, uređaj Camsizer X2 osigurava raspršivanje čestica u struji zraka te proizvodi nekoliko stotina fotografija u jednoj sekundi. Na taj način nema preferirane orijentacije te se može analizirati velik broj čestica u uzorku.

Na temelju dobivenih rezultata može se zaključiti da je analiza slike u ovom slučaju pogodnija metoda određivanja raspodjele veličina čestica, a posebno u području manjih veličina. Također, uzorke nije nužno dispergirati u kontinuiranom mediju i nije potrebno poznavanje indeksa loma dronedaron-hidroklorida.

5. ZAKLJUČAK

U ovom radu je provedena usporedba raspodjela veličina čestica dobivena metodom laserske difrakcije i analizom slike.

Rezultati su pokazali da metoda laserske difrakcije daje manje vrijednosti veličina čestica od analize slike što je posljedica nesferičnosti čestica i nedostatka Fraunhoferove teorije.

Analiza slike pokazala se pogodnijom za određivanje raspodjele veličina čestica uzoraka dronedaron-hidroklorida dobivenih usitnjavanjem.

6. SIMBOLI

n – parametar raspršenosti RRSB funkcije

r – oznaka vrste raspodjele ($r = 0$ broj, $r = 3$ masa ili volumen)

S – širina raspodjele

S_m – specifična površina, $\text{m}^2 \text{ kg}^{-1}$

$Q_r(x)$ – kumulativni udio čestica manjih od x

$q_r(x)$ – udio čestica veličine x

x_i – srednja veličina intervala i , m

x_M – najučestalija veličina, m

x_S – površinski promjer, m

x_V – volumni promjer, m

x_{10} – 10 % čestica manjih od veličine x , m

x_{50} – 50 % čestica manjih od veličine x , m

x_{90} – 90 % čestica manjih od veličine x , m

x_{63} – parametar položaja RRSB funkcije, m

\bar{x}_g – srednji geometrijski promjer

Grčki simboli

λ – valna duljina, m

ρ – gustoća, kg m^{-3}

σ_g – parametar raspršenosti LN funkcije

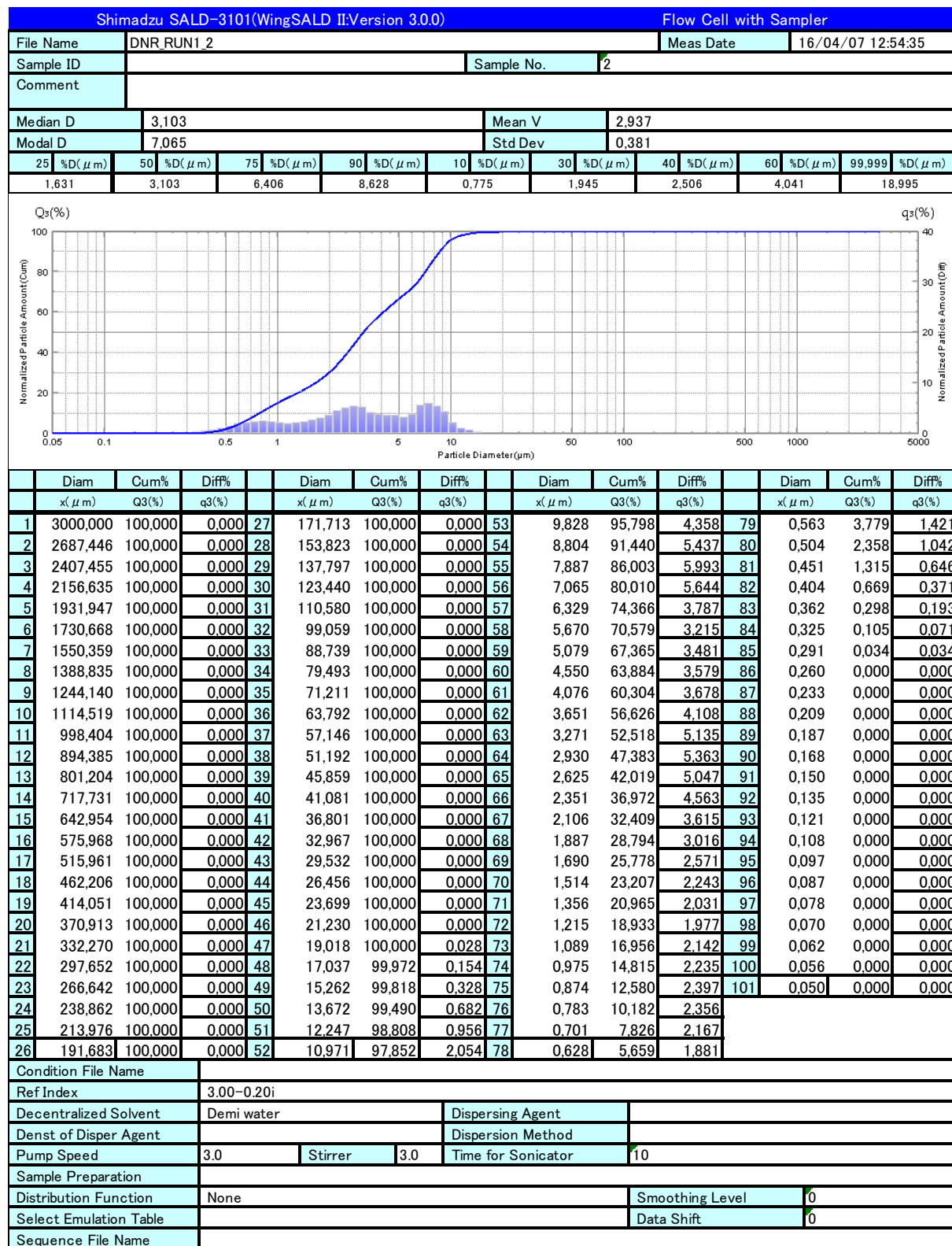
ψ_{Wa} – Wadelov faktor oblika (sfericitet)

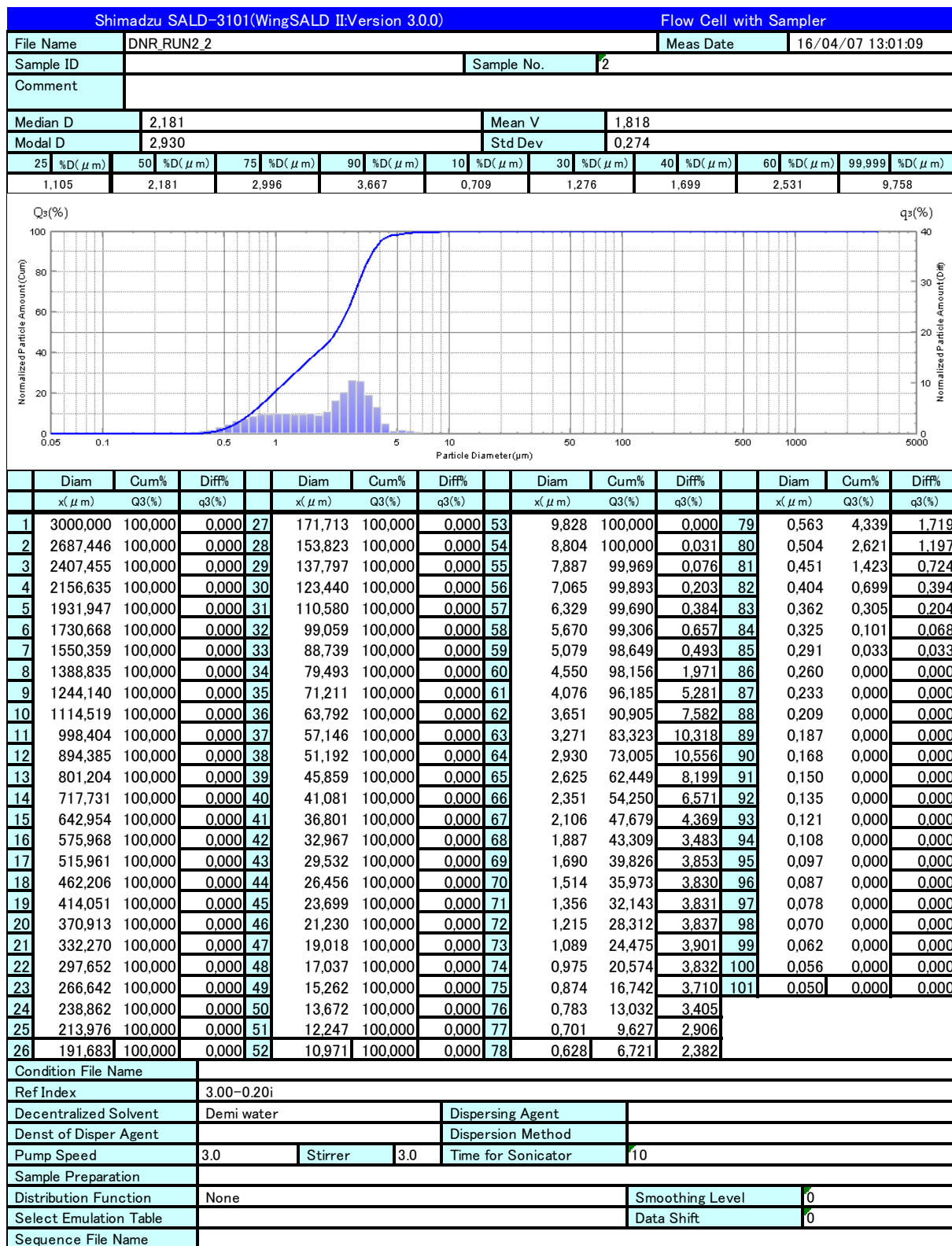
7. LITERATURA

1. N. Sivakugan, Soil Classification, Nastavni materijali, James Cook University Geoengineering, 2000.
2. M. Hraste, Mehaničko procesno inženjerstvo, II. Izmjenjeno i dopunjeno izdanje, Hinus, Zagreb, 2003.
3. G. Matijašić, Jedinične operacije u ekoinženjerstvu, Nastavni materijali, Fakultet kemijskog inženjerstva i tehnologije, Zagreb, 2016.
4. G. Matijašić, Praškasti sustavi, Nastavni materijali, Fakultet kemijskog inženjerstva i tehnologije, Zagreb, 2017.
5. G. Matijašić, Mehaničko procesno inženjerstvo, Nastavni materijali, Fakultet kemijskog inženjerstva i tehnologije, Zagreb, 2016.
6. H. G. Merkus, Particle size measurement, Springer, Nizozemska, 2009.
7. J. Y. Le Heuzey, Dronedarone: From buzz to reality, Arch. Card. Dis. 103 (2010) 427-429
8. G. S. Chhabra, S. K. Banerjee, Stability indicating assay method development and validation of dronedarone hydrochloride in its bulk form by RP-HPLC, B. Pharm. Res. 3.2 (2013) 58-65
9. <http://www.almp.hr/upl/lijekovi/PIL/UP-I-530-09-09-01-452.pdf> (pristup 8. 7. 2017.)
10. I. Farah, A. Sadaf, A. Ahmad, S.A. Khan, A. Husain, A review on dronedarone: Pharmacological, pharmacodynamic and pharmacokinetic profile, J. Acute Disease 5 (2016) 102-108.
11. C. Patel, G. X. Yan, P. R. Kowey, New drugs and technology: Dronedarone, Circulation 120 (2009) 636-44.
12. <http://www.retsch-technology.com/products/dynamic-image-analysis/camsizer-xt/function-features> (pristup 8. 7. 2017.)

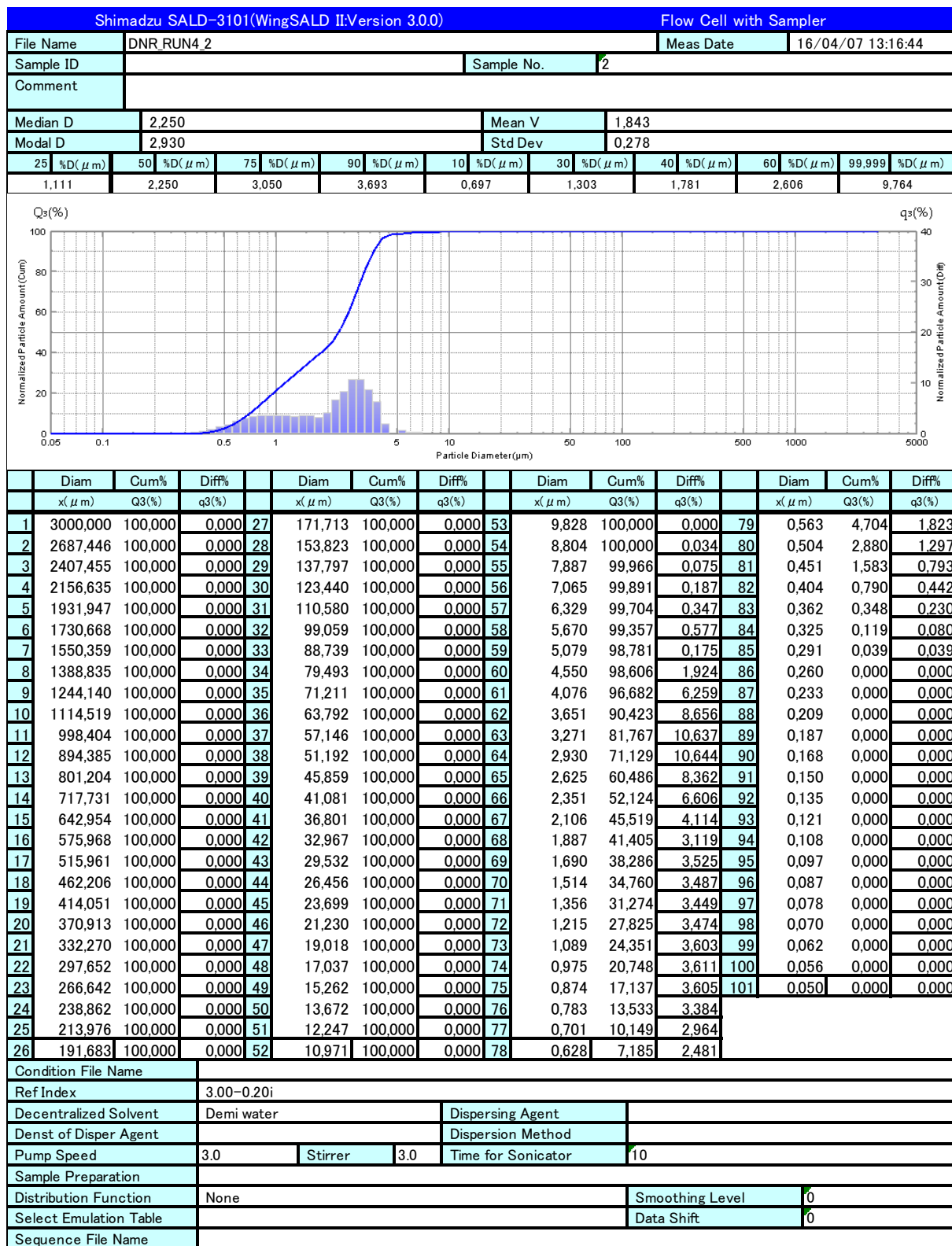
8. PRILOZI

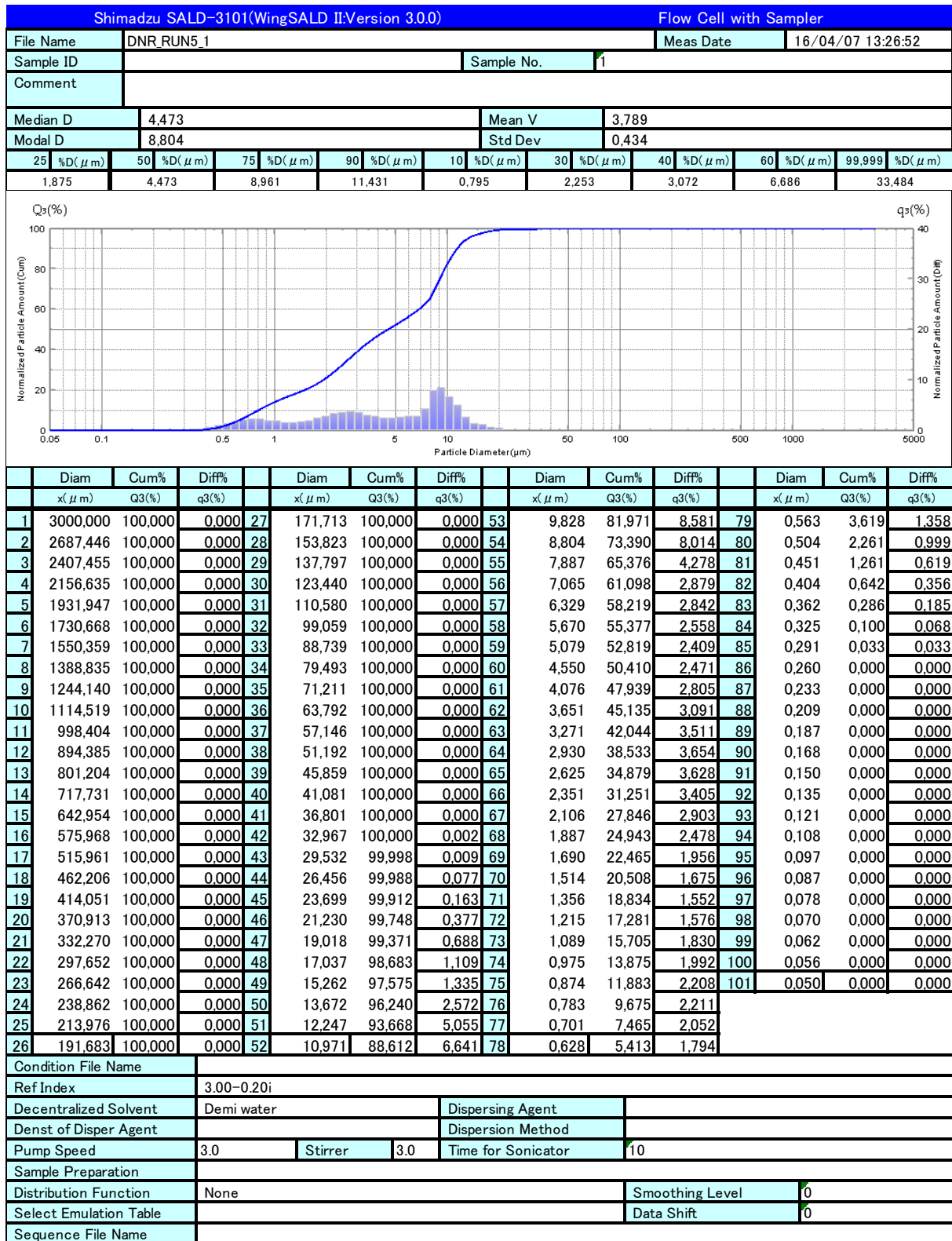
Prikaz mjernih podataka za raspodjelu veličina čestica određenu pomoću uređaja SALD-3101, Shimadzu

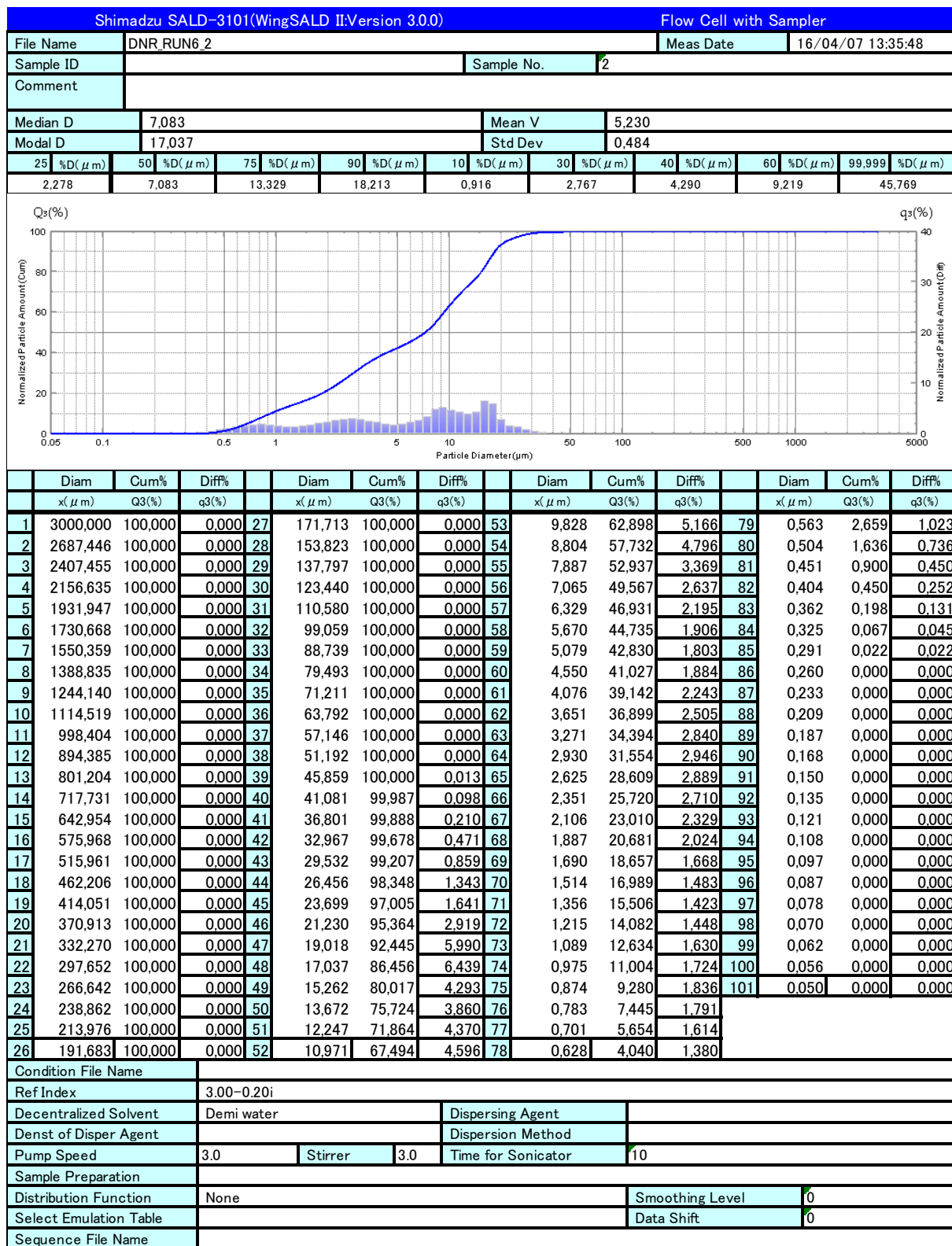




Shimadzu SALD-3101(WingSALD II:Version 3.0.0)									Flow Cell with Sampler																																																																																														
File Name	DNR_RUN3_3				Meas Date	16/04/07 13:09:38																																																																																																	
Sample ID					Sample No.	3																																																																																																	
Comment																																																																																																							
Median D	10.262				Mean V	7.183																																																																																																	
Modal D	10.971				Std Dev	0.534																																																																																																	
25 %D(μm)	50 %D(μm)	75 %D(μm)	90 %D(μm)	10 %D(μm)	30 %D(μm)	40 %D(μm)	60 %D(μm)	99.999 %D(μm)	2,848	10.262	19.751	28.353	0.989																																																																																										
2,848	10.262	19.751	28.353	0.989	3,790	6,877	12,181	71,077																																																																																															
Q3(%)						q3(%)																																																																																																	
Normalized Particle Amount(Cum)						Normalized Particle Amount(Off)																																																																																																	
0.05	0.1	0.5	1	5	10	50	100	500	1000	5000																																																																																													
Diam Cum% Diff%	Diam Cum% Diff%	Diam Cum% Diff%	Diam Cum% Diff%	Diam Cum% Diff%	Diam Cum% Diff%	Diam Cum% Diff%	Diam Cum% Diff%	Diam Cum% Diff%																																																																																															
x(μm) Q3% q3%	x(μm) Q3% q3%	x(μm) Q3% q3%	x(μm) Q3% q3%	x(μm) Q3% q3%	x(μm) Q3% q3%	x(μm) Q3% q3%	x(μm) Q3% q3%	x(μm) Q3% q3%																																																																																															
1 3000,000 100,000 0,000 27	171,713 100,000 0,000 53	9,828 47,482 2,956 79	0,563 2,616 0,981	2 2687,446 100,000 0,000 28	153,823 100,000 0,000 54	8,804 44,526 1,882 80	0,504 1,635 0,724	3 2407,455 100,000 0,000 29	137,797 100,000 0,000 55	7,887 42,645 2,189 81	0,451 0,911 0,448	4 2156,635 100,000 0,000 30	123,440 100,000 0,000 56	7,065 40,456 2,058 82	0,404 0,463 0,258	5 1931,947 100,000 0,000 31	110,580 100,000 0,000 57	6,329 38,399 1,946 83	0,362 0,206 0,134	6 1730,668 100,000 0,000 32	99,059 100,000 0,000 58	5,670 36,453 1,844 84	0,325 0,072 0,049	7 1550,359 100,000 0,000 33	88,739 100,000 0,000 59	5,079 34,609 1,729 85	0,291 0,023 0,023	8 1388,835 100,000 0,000 34	79,493 100,000 0,000 60	4,550 32,880 1,701 86	0,260 0,000 0,000	9 1244,140 100,000 0,000 35	71,211 100,000 0,012 61	4,076 31,179 1,736 87	0,233 0,000 0,000	10 1114,519 100,000 0,000 36	63,792 99,988 0,104 62	3,651 29,442 1,827 88	0,209 0,000 0,000	11 998,404 100,000 0,000 37	57,146 99,884 0,221 63	3,271 27,615 2,031 89	0,187 0,000 0,000	12 894,385 100,000 0,000 38	51,192 99,663 0,510 64	2,930 25,584 2,123 90	0,168 0,000 0,000	13 801,204 100,000 0,000 39	45,859 99,153 0,942 65	2,625 23,461 2,190 91	0,150 0,000 0,000	14 717,731 100,000 0,000 40	41,081 98,211 1,490 66	2,351 21,271 2,108 92	0,135 0,000 0,000	15 642,954 100,000 0,000 41	36,801 96,721 2,162 67	2,106 19,163 1,866 93	0,121 0,000 0,000	16 575,968 100,000 0,000 42	32,967 94,559 2,947 68	1,887 17,297 1,632 94	0,108 0,000 0,000	17 515,961 100,000 0,000 43	29,532 91,612 4,076 69	1,690 15,665 1,302 95	0,097 0,000 0,000	18 462,206 100,000 0,000 44	26,456 87,536 4,631 70	1,514 14,363 1,127 96	0,087 0,000 0,000	19 414,051 100,000 0,000 45	23,699 82,905 4,876 71	1,356 13,237 1,036 97	0,078 0,000 0,000	20 370,913 100,000 0,000 46	21,230 78,029 4,668 72	1,215 12,201 1,061 98	0,070 0,000 0,000	21 332,270 100,000 0,000 47	19,018 73,360 3,742 73	1,089 11,140 1,250 99	0,062 0,000 0,000	22 297,652 100,000 0,000 48	17,037 69,618 3,299 74	0,975 9,890 1,379 100	0,056 0,000 0,000	23 266,642 100,000 0,000 49	15,262 66,320 2,638 75	0,874 8,511 1,556 101	0,050 0,000 0,000	24 238,862 100,000 0,000 50	13,672 63,682 3,362 76	0,783 6,955 1,573		25 213,976 100,000 0,000 51	12,247 60,320 6,491 77	0,701 5,382 1,472		26 191,683 100,000 0,000 52	10,971 53,828 6,346 78	0,628 3,910 1,294	
Condition File Name																																																																																																							
Ref Index	3.00–0.20i																																																																																																						
Decentralized Solvent	Demi water			Dispersing Agent																																																																																																			
Denst of Disper Agent				Dispersion Method																																																																																																			
Pump Speed	3.0	Stirrer	3.0	Time for Sonicator			10																																																																																																
Sample Preparation																																																																																																							
Distribution Function	None				Smoothing Level			0																																																																																															
Select Emulation Table					Data Shift			0																																																																																															
Sequence File Name																																																																																																							

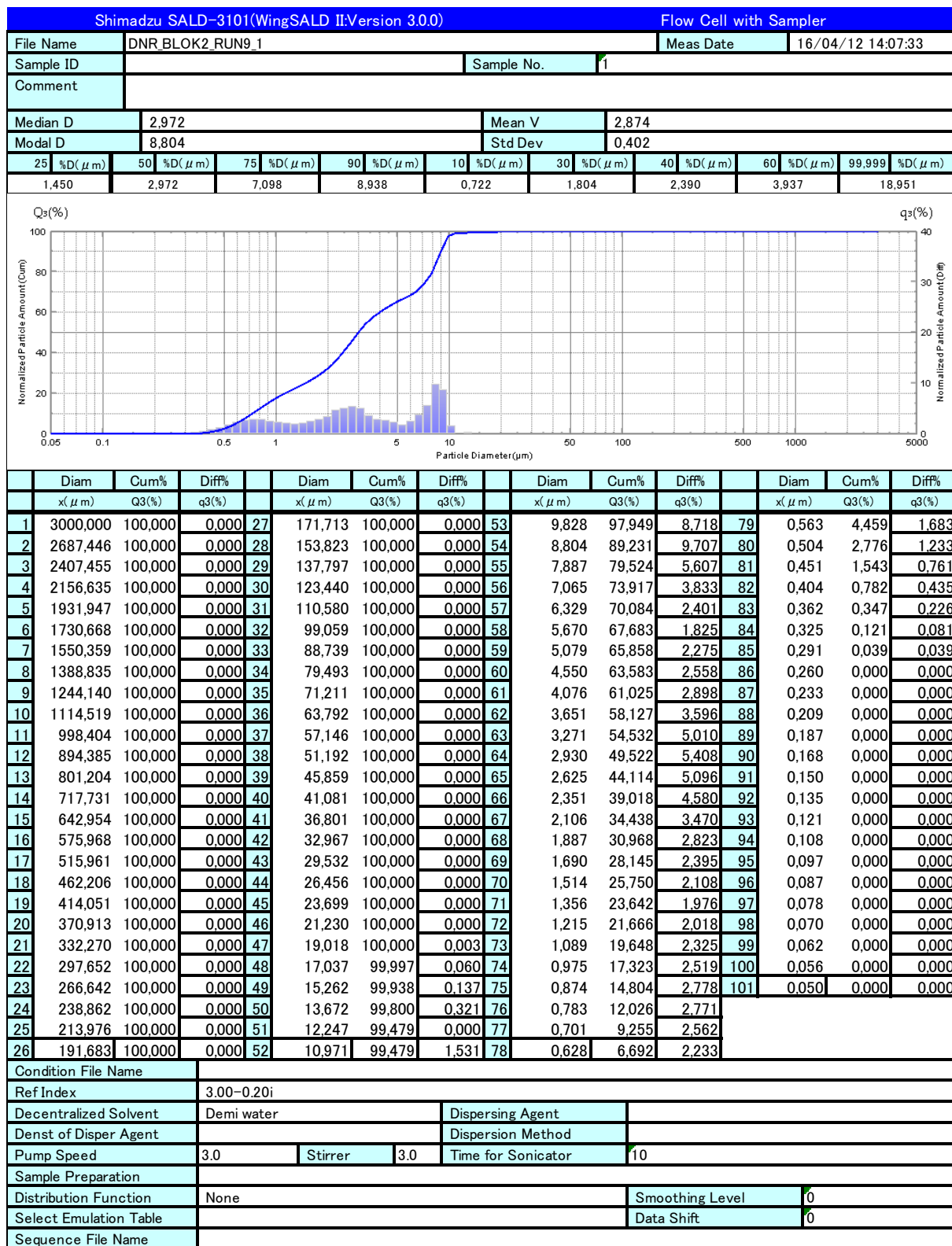


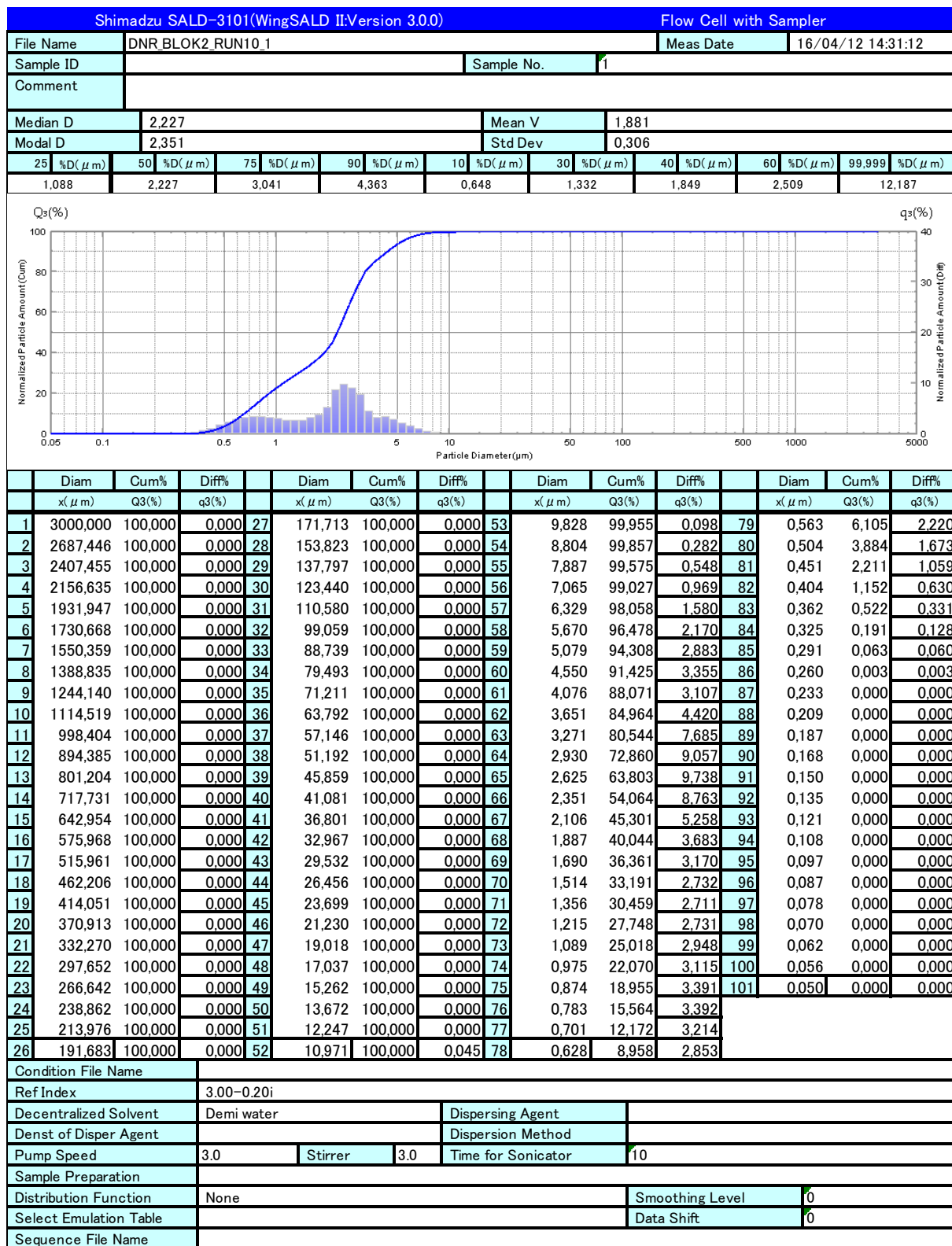


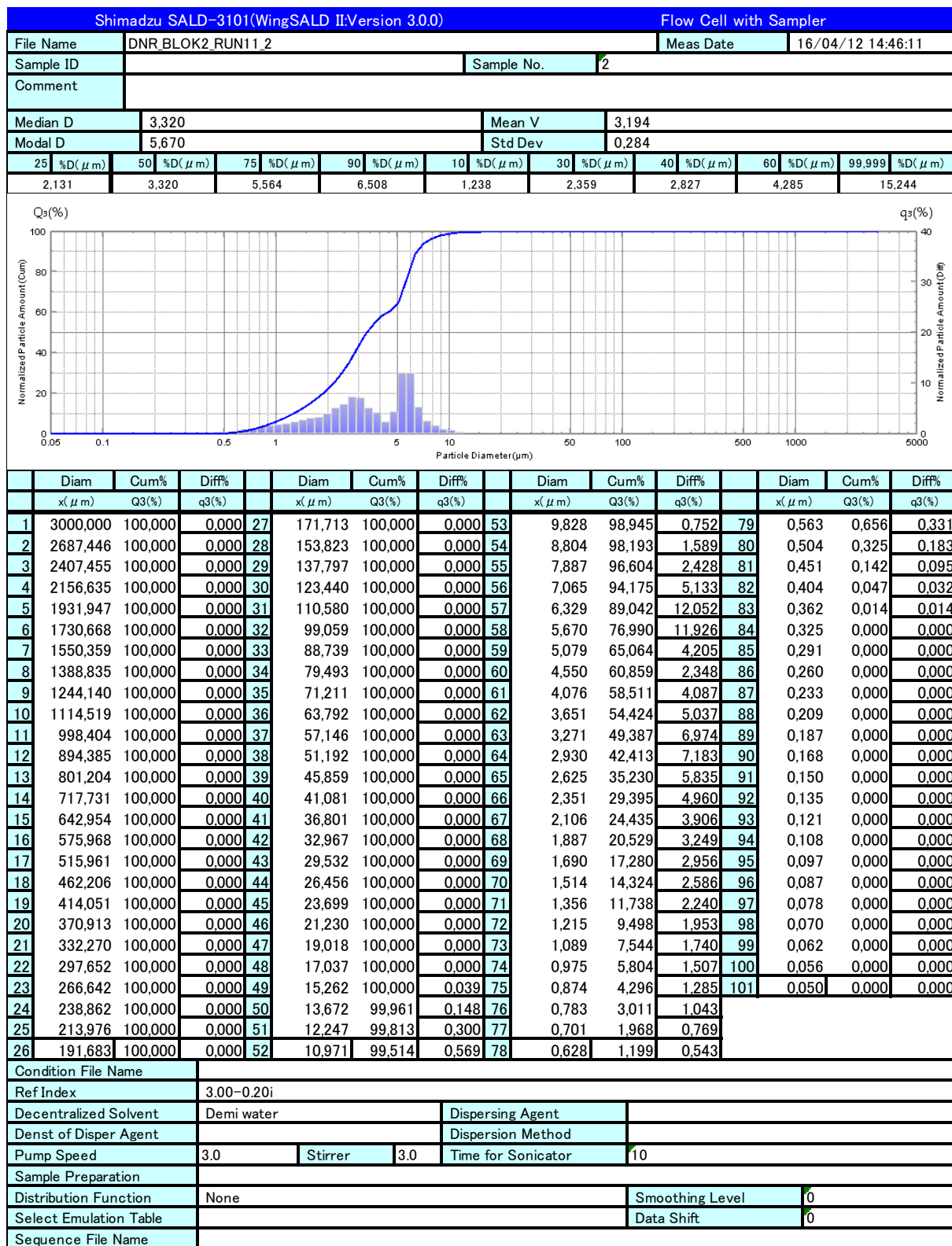


Shimadzu SALD-3101(WingSALD II:Version 3.0.0)									Flow Cell with Sampler								
File Name	DNR_RUN7_2				Meas Date	16/04/07 13:45:44											
Sample ID					Sample No.	2											
Comment																	
Median D	2,306				Mean V			1,986									
Modal D	2,351				Std Dev			0.321									
25 %D(μm)	50 %D(μm)	75 %D(μm)	90 %D(μm)	10 %D(μm)	30 %D(μm)	40 %D(μm)	60 %D(μm)	99.999 %D(μm)	1,136	2,306	3,342	4,781	0,637	1,446	1,982	2,599	12,217
Diam	Cum%	Diff%	x(μm)	Q3(%)	q3(%)	Diam	Cum%	Diff%	x(μm)	Q3(%)	q3(%)	Diam	Cum%	Diff%	Diam	Cum%	Diff%
1	3000,000	100,000	0,000	27		171,713	100,000	0,000	53	9,828	99,911	0,173	79	0,563	6,543	2,325	
2	2687,446	100,000	0,000	28		153,823	100,000	0,000	54	8,804	99,739	0,405	80	0,504	4,218	1,790	
3	2407,455	100,000	0,000	29		137,797	100,000	0,000	55	7,887	99,333	0,749	81	0,451	2,427	1,146	
4	2156,635	100,000	0,000	30		123,440	100,000	0,000	56	7,065	98,585	1,200	82	0,404	1,281	0,696	
5	1931,947	100,000	0,000	31		110,580	100,000	0,000	57	6,329	97,385	1,488	83	0,362	0,585	0,367	
6	1730,668	100,000	0,000	32		99,059	100,000	0,000	58	5,670	95,897	2,697	84	0,325	0,218	0,146	
7	1550,359	100,000	0,000	33		88,739	100,000	0,000	59	5,079	93,200	5,616	85	0,291	0,072	0,068	
8	1388,835	100,000	0,000	34		79,493	100,000	0,000	60	4,550	87,584	6,004	86	0,260	0,004	0,004	
9	1244,140	100,000	0,000	35		71,211	100,000	0,000	61	4,076	81,580	3,533	87	0,233	0,000	0,000	
10	1114,519	100,000	0,000	36		63,792	100,000	0,000	62	3,651	78,047	3,761	88	0,209	0,000	0,000	
11	998,404	100,000	0,000	37		57,146	100,000	0,000	63	3,271	74,286	6,028	89	0,187	0,000	0,000	
12	894,385	100,000	0,000	38		51,192	100,000	0,000	64	2,930	68,258	7,416	90	0,168	0,000	0,000	
13	801,204	100,000	0,000	39		45,859	100,000	0,000	65	2,625	60,842	9,487	91	0,150	0,000	0,000	
14	717,731	100,000	0,000	40		41,081	100,000	0,000	66	2,351	51,355	8,908	92	0,135	0,000	0,000	
15	642,954	100,000	0,000	41		36,801	100,000	0,000	67	2,106	42,447	5,235	93	0,121	0,000	0,000	
16	575,968	100,000	0,000	42		32,967	100,000	0,000	68	1,887	37,212	3,576	94	0,108	0,000	0,000	
17	515,961	100,000	0,000	43		29,532	100,000	0,000	69	1,690	33,636	2,839	95	0,097	0,000	0,000	
18	462,206	100,000	0,000	44		26,456	100,000	0,000	70	1,514	30,798	2,282	96	0,087	0,000	0,000	
19	414,051	100,000	0,000	45		23,699	100,000	0,000	71	1,356	28,516	2,176	97	0,078	0,000	0,000	
20	370,913	100,000	0,000	46		21,230	100,000	0,000	72	1,215	26,340	2,178	98	0,070	0,000	0,000	
21	332,270	100,000	0,000	47		19,018	100,000	0,000	73	1,089	24,162	2,442	99	0,062	0,000	0,000	
22	297,652	100,000	0,000	48		17,037	100,000	0,000	74	0,975	21,720	2,693	100	0,056	0,000	0,000	
23	266,642	100,000	0,000	49		15,262	100,000	0,000	75	0,874	19,027	3,120	101	0,050	0,000	0,000	
24	238,862	100,000	0,000	50		13,672	100,000	0,000	76	0,783	15,907	3,243					
25	213,976	100,000	0,000	51		12,247	100,000	0,008	77	0,701	12,664	3,201					
26	191,683	100,000	0,000	52		10,971	99,992	0,080	78	0,628	9,463	2,920					
Condition File Name																	
Ref Index	3.00–0.20i																
Decentralized Solvent	Demi water				Dispersing Agent												
Denst of Disper Agent					Dispersion Method												
Pump Speed	3.0	Stirrer	3.0	Time for Sonicator			10										
Sample Preparation																	
Distribution Function	None				Smoothing Level			0									
Select Emulation Table					Data Shift			0									
Sequence File Name																	

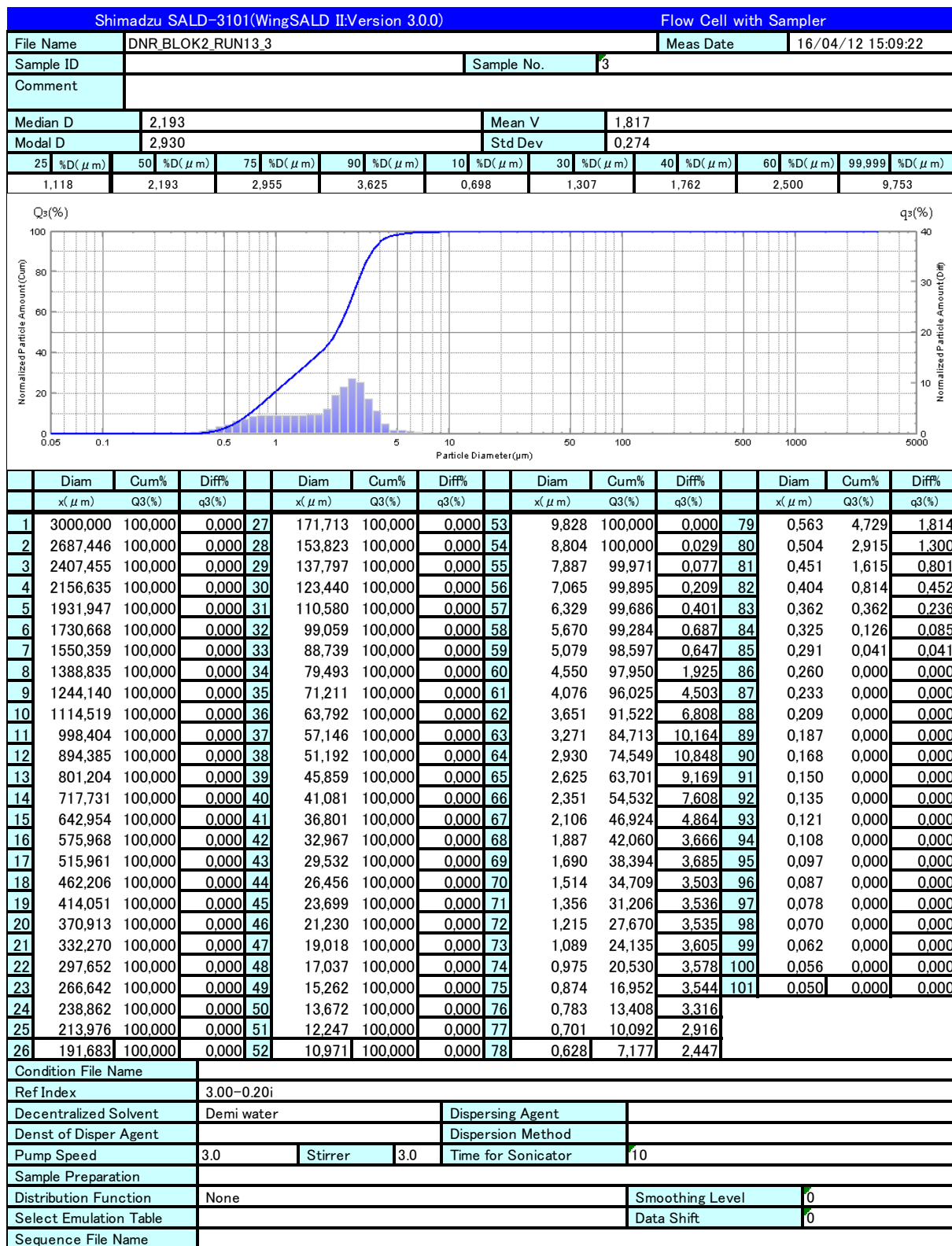
Shimadzu SALD-3101(WingSALD II) Version 3.0.0										Flow Cell with Sampler															
File Name		DNR_RUN8_2						Sample No.		Meas Date		16/04/07 13:59:42													
Sample ID																									
Comment																									
Median D		2.823						Mean V		2.630															
Modal D		2.930						Std Dev		0.369															
25	%D(μm)	50	%D(μm)	75	%D(μm)	90	%D(μm)	10	%D(μm)	30	%D(μm)	40	%D(μm)	60	%D(μm)	99.999	%D(μm)								
1.439		2.823		5.061		7.818		0.750		1.752		2.313		3.396		18.993									
Diam	Cum%	Diff%	x(μm)	Q3(%)	q3(%)	Diam	Cum%	Diff%	x(μm)	Q3(%)	q3(%)	Diam	Cum%	Diff%	Diam	Cum%	Diff%								
1	3000,000	100,000	0,000	27		171,713	100,000	0,000	53	9,828	95,917	2,535	79	0,563	3,995	1,513									
2	2687,446	100,000	0,000	28		153,823	100,000	0,000	54	8,804	93,382	3,088	80	0,504	2,482	1,100									
3	2407,455	100,000	0,000	29		137,797	100,000	0,000	55	7,887	90,293	3,553	81	0,451	1,382	0,683									
4	2156,635	100,000	0,000	30		123,440	100,000	0,000	56	7,065	86,740	3,824	82	0,404	0,701	0,389									
5	1931,947	100,000	0,000	31		110,580	100,000	0,000	57	6,329	82,916	3,853	83	0,362	0,313	0,203									
6	1730,668	100,000	0,000	32		99,059	100,000	0,000	58	5,670	79,063	3,933	84	0,325	0,110	0,074									
7	1550,359	100,000	0,000	33		88,739	100,000	0,000	59	5,079	75,130	3,959	85	0,291	0,036	0,036									
8	1388,835	100,000	0,000	34		79,493	100,000	0,000	60	4,550	71,171	4,058	86	0,260	0,000	0,000									
9	1244,140	100,000	0,000	35		71,211	100,000	0,000	61	4,076	67,113	3,995	87	0,233	0,000	0,000									
10	1114,519	100,000	0,000	36		63,792	100,000	0,000	62	3,651	63,119	4,586	88	0,209	0,000	0,000									
11	998,404	100,000	0,000	37		57,146	100,000	0,000	63	3,271	58,533	6,279	89	0,187	0,000	0,000									
12	894,385	100,000	0,000	38		51,192	100,000	0,000	64	2,930	52,254	6,465	90	0,168	0,000	0,000									
13	801,204	100,000	0,000	39		45,859	100,000	0,000	65	2,625	45,788	5,404	91	0,150	0,000	0,000									
14	717,731	100,000	0,000	40		41,081	100,000	0,000	66	2,351	40,384	4,666	92	0,135	0,000	0,000									
15	642,954	100,000	0,000	41		36,801	100,000	0,000	67	2,106	35,718	3,717	93	0,121	0,000	0,000									
16	575,968	100,000	0,000	42		32,967	100,000	0,000	68	1,887	32,001	3,122	94	0,108	0,000	0,000									
17	515,961	100,000	0,000	43		29,532	100,000	0,000	69	1,690	28,879	2,786	95	0,097	0,000	0,000									
18	462,206	100,000	0,000	44		26,456	100,000	0,000	70	1,514	26,093	2,525	96	0,087	0,000	0,000									
19	414,051	100,000	0,000	45		23,699	100,000	0,000	71	1,356	23,567	2,387	97	0,078	0,000	0,000									
20	370,913	100,000	0,000	46		21,230	100,000	0,000	72	1,215	21,180	2,365	98	0,070	0,000	0,000									
21	332,270	100,000	0,000	47		19,018	100,000	0,023	73	1,089	18,815	2,531	99	0,062	0,000	0,000									
22	297,652	100,000	0,000	48		17,037	99,977	0,143	74	0,975	16,285	2,601	100	0,056	0,000	0,000									
23	266,642	100,000	0,000	49		15,262	99,834	0,307	75	0,874	13,683	2,706	101	0,050	0,000	0,000									
24	238,862	100,000	0,000	50		13,672	99,526	0,656	76	0,783	10,978	2,611													
25	213,976	100,000	0,000	51		12,247	98,871	1,186	77	0,701	8,367	2,355													
26	191,683	100,000	0,000	52		10,971	97,685	1,768	78	0,628	6,012	2,017													
Condition File Name																									
Ref Index		3.00~0.20i																							
Decentralized Solvent		Demi water						Dispersing Agent																	
Denst of Disper Agent															Dispersion Method										
Pump Speed		3.0	Stirrer	3.0	Time for Sonicator		10																		
Sample Preparation																									
Distribution Function		None						Smoothing Level		0															
Select Emulation Table															Data Shift		0								
Sequence File Name																									





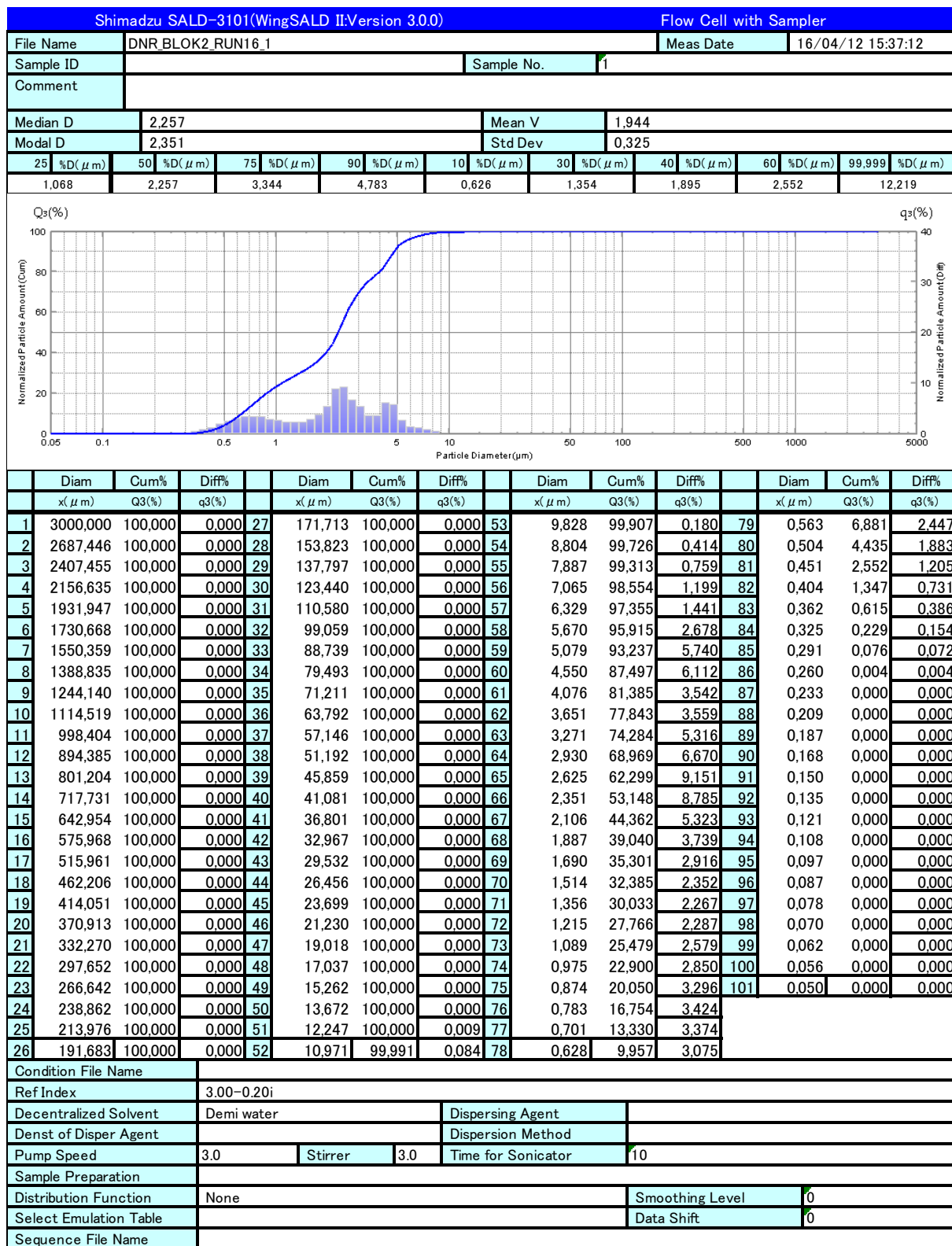


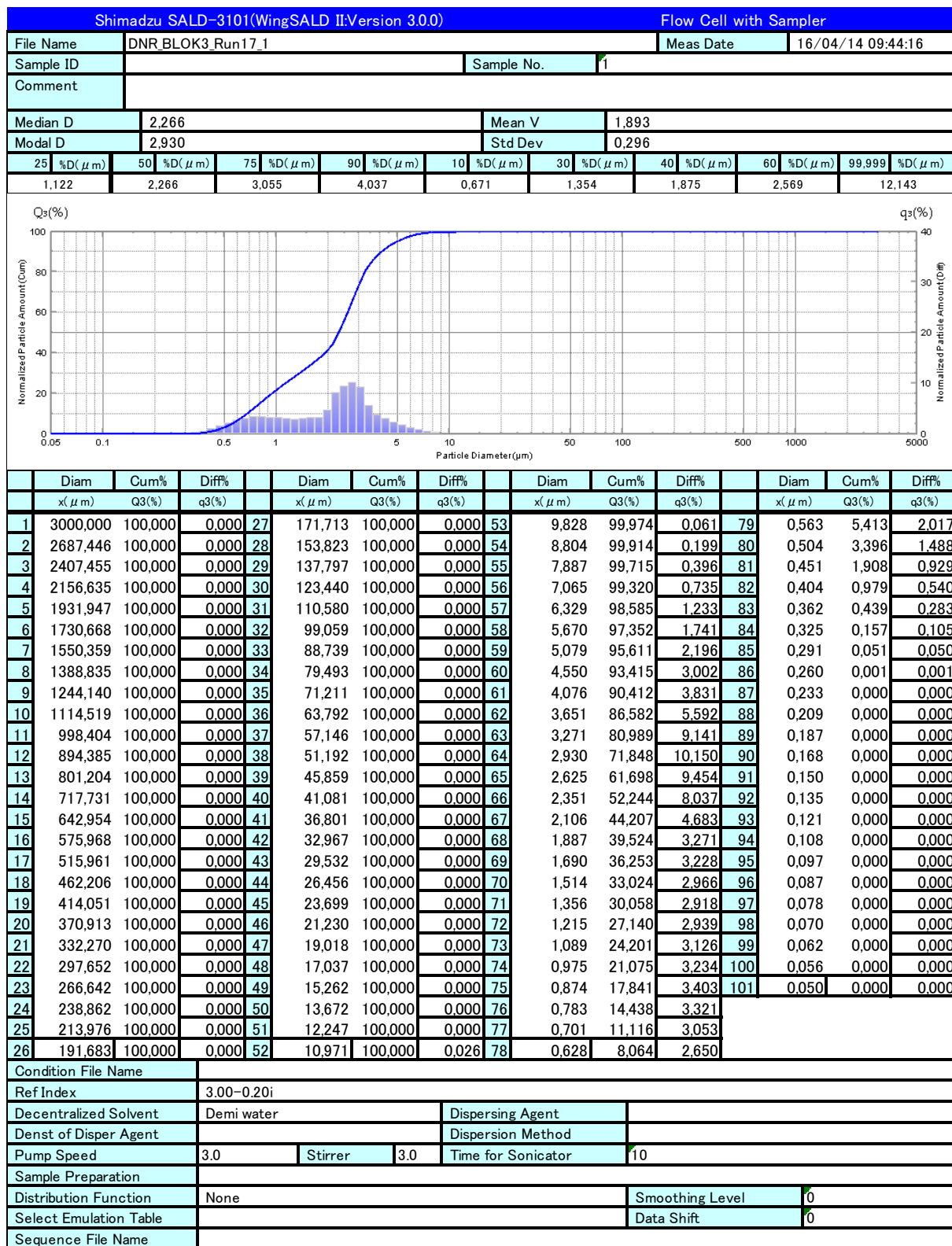
Shimadzu SALD-3101(WingSALD II:Version 3.0.0)									Flow Cell with Sampler									
File Name		DNR_BLOK2_RUN12_4							Meas Date		16/04/12 15:00:31							
Sample ID						Sample No.			4									
Comment																		
Median D		8,381				Mean V			5,953									
Modal D		17,037				Std Dev			0.471									
25	%D(μm)	50	%D(μm)	75	%D(μm)	90	%D(μm)	10	%D(μm)	30	%D(μm)	40	%D(μm)	60	%D(μm)	99,999	%D(μm)	
2,748		8,381		14,489		18,368		1,021		3,480		5,773		10,594		45,783		
	Diam	Cum%	Diff%		Diam	Cum%	Diff%		Diam	Cum%	Diff%		Diam	Cum%	Diff%			
	x(μm)	Q3(%)	q3(%)		x(μm)	Q3(%)	q3(%)		x(μm)	Q3(%)	q3(%)		x(μm)	Q3(%)	q3(%)			
1	3000,000	100,000	0,000	27	171,713	100,000	0,000	53	9,828	55,044	4,016	79	0,563	2,494	0,940			
2	2687,446	100,000	0,000	28	153,823	100,000	0,000	54	8,804	51,028	2,952	80	0,504	1,554	0,691			
3	2407,455	100,000	0,000	29	137,797	100,000	0,000	55	7,887	48,076	3,145	81	0,451	0,863	0,426			
4	2156,635	100,000	0,000	30	123,440	100,000	0,000	56	7,065	44,931	2,886	82	0,404	0,437	0,244			
5	1931,947	100,000	0,000	31	110,580	100,000	0,000	57	6,329	42,045	2,566	83	0,362	0,194	0,126			
6	1730,668	100,000	0,000	32	99,059	100,000	0,000	58	5,670	39,478	2,328	84	0,325	0,067	0,045			
7	1550,359	100,000	0,000	33	88,739	100,000	0,000	59	5,079	37,150	2,106	85	0,291	0,022	0,022			
8	1388,835	100,000	0,000	34	79,493	100,000	0,000	60	4,550	35,045	2,020	86	0,260	0,000	0,000			
9	1244,140	100,000	0,000	35	71,211	100,000	0,000	61	4,076	33,024	2,063	87	0,233	0,000	0,000			
10	1114,519	100,000	0,000	36	63,792	100,000	0,000	62	3,651	30,961	2,149	88	0,209	0,000	0,000			
11	998,404	100,000	0,000	37	57,146	100,000	0,000	63	3,271	28,812	2,368	89	0,187	0,000	0,000			
12	894,385	100,000	0,000	38	51,192	100,000	0,000	64	2,930	26,444	2,444	90	0,168	0,000	0,000			
13	801,204	100,000	0,000	39	45,859	100,000	0,020	65	2,625	24,000	2,474	91	0,150	0,000	0,000			
14	717,731	100,000	0,000	40	41,081	99,980	0,112	66	2,351	21,526	2,347	92	0,135	0,000	0,000			
15	642,954	100,000	0,000	41	36,801	99,867	0,235	67	2,106	19,179	2,041	93	0,121	0,000	0,000			
16	575,968	100,000	0,000	42	32,967	99,632	0,500	68	1,887	17,138	1,756	94	0,108	0,000	0,000			
17	515,961	100,000	0,000	43	29,532	99,132	0,899	69	1,690	15,382	1,375	95	0,097	0,000	0,000			
18	462,206	100,000	0,000	44	26,456	98,232	1,354	70	1,514	14,007	1,162	96	0,087	0,000	0,000			
19	414,051	100,000	0,000	45	23,699	96,878	1,339	71	1,356	12,845	1,045	97	0,078	0,000	0,000			
20	370,913	100,000	0,000	46	21,230	95,539	3,036	72	1,215	11,800	1,048	98	0,070	0,000	0,000			
21	332,270	100,000	0,000	47	19,018	92,503	7,745	73	1,089	10,752	1,224	99	0,062	0,000	0,000			
22	297,652	100,000	0,000	48	17,037	84,758	8,084	74	0,975	9,528	1,341	100	0,056	0,000	0,000			
23	266,642	100,000	0,000	49	15,262	76,674	3,625	75	0,874	8,187	1,509	101	0,050	0,000	0,000			
24	238,862	100,000	0,000	50	13,672	73,049	3,464	76	0,783	6,679	1,521							
25	213,976	100,000	0,000	51	12,247	69,585	7,278	77	0,701	5,158	1,419							
26	191,683	100,000	0,000	52	10,971	62,307	7,263	78	0,628	3,739	1,244							
Condition File Name																		
Ref Index																		
Decentralized Solvent																		
Denst of Disper Agent																		
Pump Speed																		
Sample Preparation																		
Distribution Function																		
Select Emulation Table																		
Sequence File Name																		

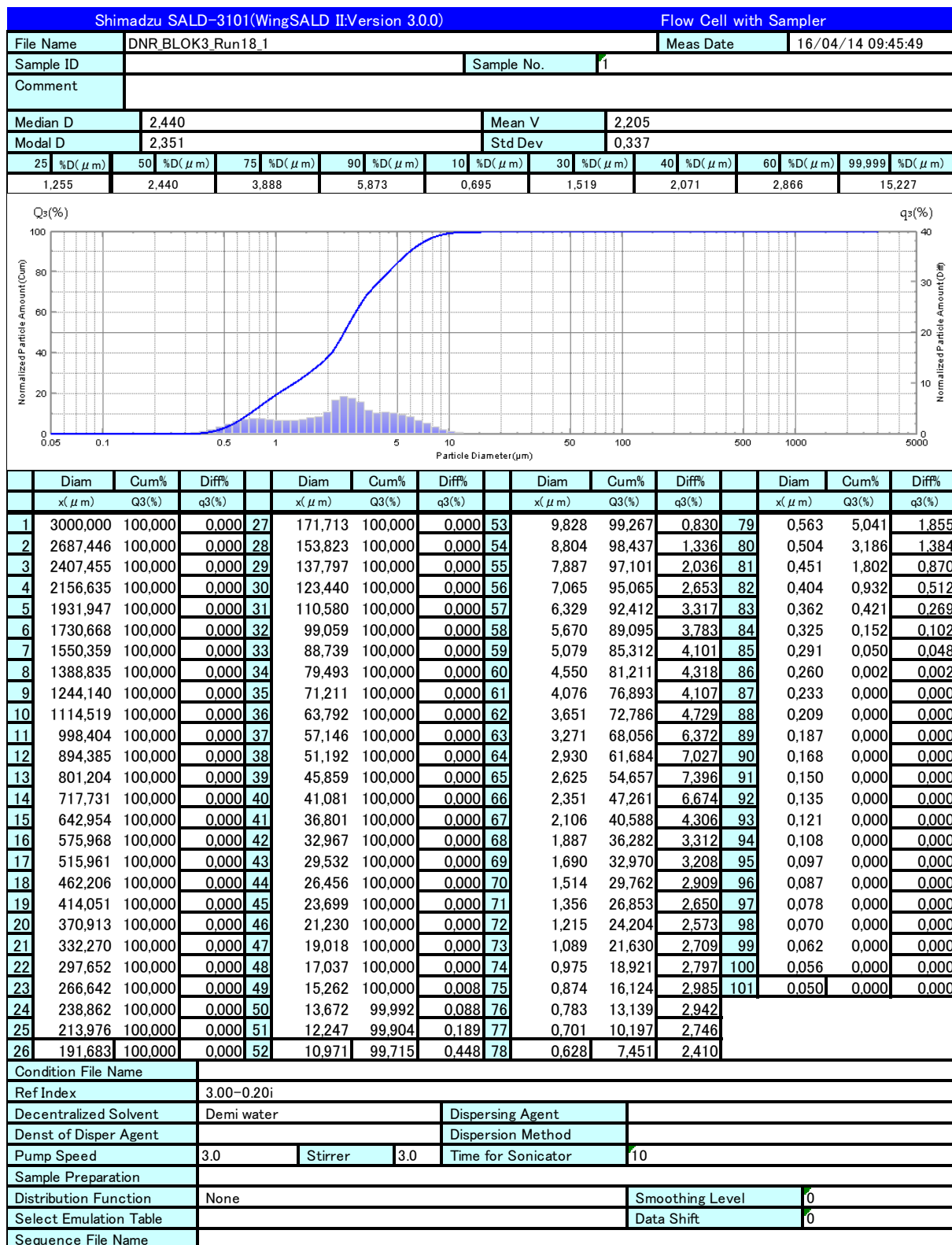


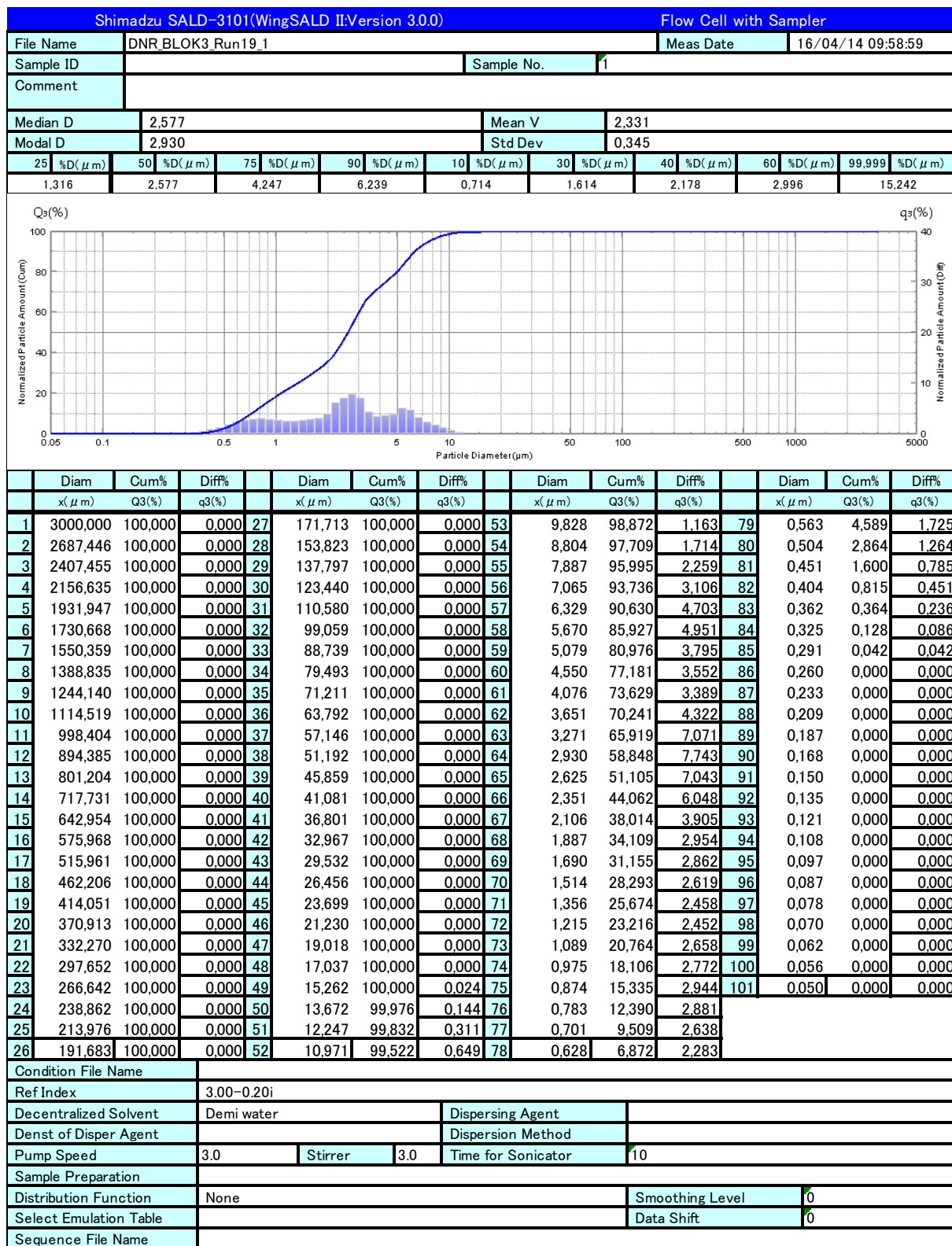
Shimadzu SALD-3101(WingSALD II:Version 3.0.0)									Flow Cell with Sampler								
File Name	DNR_BLOK2_RUN14_1				Meas Date	16/04/12 15:16:53											
Sample ID					Sample No.	1											
Comment																	
Median D	7.997				Mean V			6.114									
Modal D	21.230				Std Dev			0.500									
25 %D(μm)	2,499	50 %D(μm)	7,997	75 %D(μm)	16,018	90 %D(μm)	23,170	10 %D(μm)	1,059	30 %D(μm)	3,049	40 %D(μm)	5,044	60 %D(μm)	10,723	99.999 %D(μm)	57,057
Q3(%)														q3(%)			
Normalized Particle Amount(Cum)														Normalized Particle Amount(Off)			
Diam	Cum%	Diff%	x(μm)	Q3(%)	q3(%)	Diam	Cum%	Diff%	x(μm)	Q3(%)	q3(%)	Diam	Cum%	Diff%	Diam	Cum%	Diff%
1	3000,000	100,000	0,000	27		171,713	100,000	0,000	53	9,828	56,812	3,788	79	0,563	1,684	0,698	
2	2687,446	100,000	0,000	28		153,823	100,000	0,000	54	8,804	53,023	3,479	80	0,504	0,986	0,469	
3	2407,455	100,000	0,000	29		137,797	100,000	0,000	55	7,887	49,544	3,001	81	0,451	0,517	0,275	
4	2156,635	100,000	0,000	30		123,440	100,000	0,000	56	7,065	46,544	2,574	82	0,404	0,243	0,140	
5	1931,947	100,000	0,000	31		110,580	100,000	0,000	57	6,329	43,969	2,052	83	0,362	0,102	0,072	
6	1730,668	100,000	0,000	32		99,059	100,000	0,000	58	5,670	41,918	1,804	84	0,325	0,031	0,021	
7	1550,359	100,000	0,000	33		88,739	100,000	0,000	59	5,079	40,114	1,741	85	0,291	0,010	0,010	
8	1388,835	100,000	0,000	34		79,493	100,000	0,000	60	4,550	38,373	1,850	86	0,260	0,000	0,000	
9	1244,140	100,000	0,000	35		71,211	100,000	0,000	61	4,076	36,523	2,236	87	0,233	0,000	0,000	
10	1114,519	100,000	0,000	36		63,792	100,000	0,000	62	3,651	34,287	2,491	88	0,209	0,000	0,000	
11	998,404	100,000	0,000	37		57,146	100,000	0,018	63	3,271	31,797	2,782	89	0,187	0,000	0,000	
12	894,385	100,000	0,000	38		51,192	99,982	0,123	64	2,930	29,015	2,846	90	0,168	0,000	0,000	
13	801,204	100,000	0,000	39		45,859	99,859	0,261	65	2,625	26,169	2,715	91	0,150	0,000	0,000	
14	717,731	100,000	0,000	40		41,081	99,598	0,578	66	2,351	23,453	2,523	92	0,135	0,000	0,000	
15	642,954	100,000	0,000	41		36,801	99,020	1,054	67	2,106	20,930	2,169	93	0,121	0,000	0,000	
16	575,968	100,000	0,000	42		32,967	97,965	1,621	68	1,887	18,761	1,921	94	0,108	0,000	0,000	
17	515,961	100,000	0,000	43		29,532	96,345	2,261	69	1,690	16,840	1,685	95	0,097	0,000	0,000	
18	462,206	100,000	0,000	44		26,456	94,084	3,111	70	1,514	15,156	1,569	96	0,087	0,000	0,000	
19	414,051	100,000	0,000	45		23,699	90,973	4,552	71	1,356	13,587	1,575	97	0,078	0,000	0,000	
20	370,913	100,000	0,000	46		21,230	86,421	4,922	72	1,215	12,012	1,588	98	0,070	0,000	0,000	
21	332,270	100,000	0,000	47		19,018	81,499	4,238	73	1,089	10,424	1,684	99	0,062	0,000	0,000	
22	297,652	100,000	0,000	48		17,037	77,261	4,092	74	0,975	8,740	1,680	100	0,056	0,000	0,000	
23	266,642	100,000	0,000	49		15,262	73,169	4,171	75	0,874	7,060	1,635	101	0,050	0,000	0,000	
24	238,862	100,000	0,000	50		13,672	68,998	4,136	76	0,783	5,426	1,495					
25	213,976	100,000	0,000	51		12,247	64,862	4,090	77	0,701	3,931	1,246					
26	191,683	100,000	0,000	52		10,971	60,772	3,960	78	0,628	2,685	1,001					
Condition File Name																	
Ref Index	3.00–0.20i																
Decentralized Solvent	Demi water				Dispersing Agent												
Denst of Disper Agent					Dispersion Method												
Pump Speed	3.0	Stirrer	3.0	Time for Sonicator			10										
Sample Preparation																	
Distribution Function	None				Smoothing Level			0									
Select Emulation Table					Data Shift			0									
Sequence File Name																	

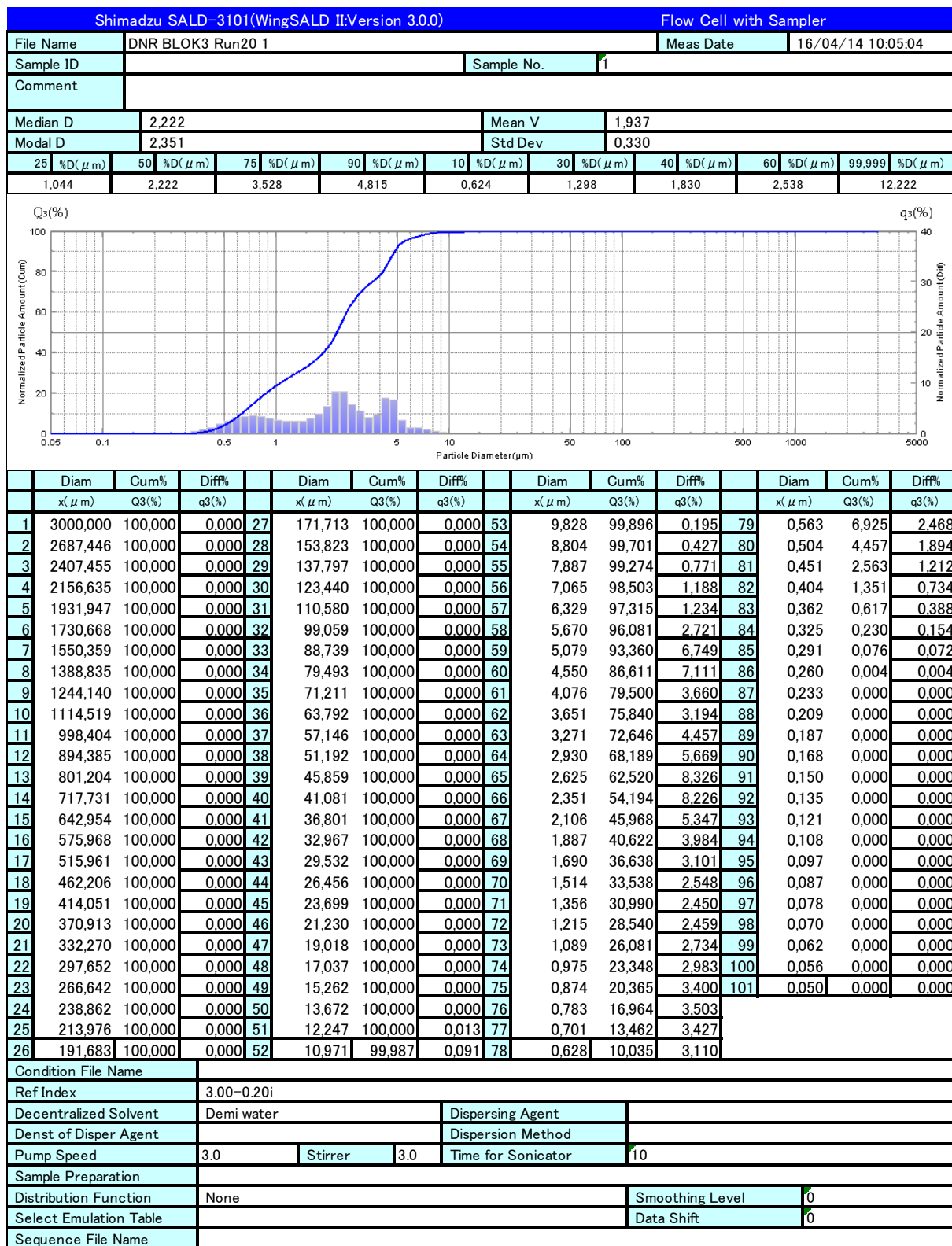
Shimadzu SALD-3101(WingSALD II:Version 3.0.0)									Flow Cell with Sampler							
File Name	DNR_BLOK2_RUN15_1				Meas Date	16/04/12 15:28:09										
Sample ID					Sample No.	1										
Comment																
Median D	2.381				Mean V	2.077										
Modal D	2.351				Std Dev	0.304										
25 %D(μm)	50 %D(μm)	75 %D(μm)	90 %D(μm)	10 %D(μm)	30 %D(μm)	40 %D(μm)	60 %D(μm)	99.999 %D(μm)	25 %D(μm)	50 %D(μm)	75 %D(μm)	90 %D(μm)	99.999 %D(μm)			
1.310	2.381	3.354	4.728	0.703	1.586	2.082	2.711	12.209	1.310	2.381	3.354	4.728	12.209			
Q3(%)													q3(%)			
Normalized Particle Amount(Cum)													Normalized Particle Amount(0#)			
Diam	Cum%	Diff%	x(μm)	Q3(%)	q3(%)	Diam	Cum%	Diff%	x(μm)	Q3(%)	q3(%)	Diam	Cum%	Diff%		
1	3000,000	100,000	0,000	27		171,713	100,000	0,000	53	9,828	99,930	0,143	79	0,563	4,972	1,811
2	2687,446	100,000	0,000	28		153,823	100,000	0,000	54	8,804	99,786	0,368	80	0,504	3,162	1,362
3	2407,455	100,000	0,000	29		137,797	100,000	0,000	55	7,887	99,419	0,696	81	0,451	1,799	0,862
4	2156,635	100,000	0,000	30		123,440	100,000	0,000	56	7,065	98,723	1,168	82	0,404	0,937	0,512
5	1931,947	100,000	0,000	31		110,580	100,000	0,000	57	6,329	97,555	1,634	83	0,362	0,425	0,270
6	1730,668	100,000	0,000	32		99,059	100,000	0,000	58	5,670	95,921	2,655	84	0,325	0,155	0,104
7	1550,359	100,000	0,000	33		88,739	100,000	0,000	59	5,079	93,266	4,705	85	0,291	0,051	0,049
8	1388,835	100,000	0,000	34		79,493	100,000	0,000	60	4,550	88,561	5,330	86	0,260	0,002	0,002
9	1244,140	100,000	0,000	35		71,211	100,000	0,000	61	4,076	83,231	4,249	87	0,233	0,000	0,000
10	1114,519	100,000	0,000	36		63,792	100,000	0,000	62	3,651	78,982	5,039	88	0,209	0,000	0,000
11	998,404	100,000	0,000	37		57,146	100,000	0,000	63	3,271	73,943	7,687	89	0,187	0,000	0,000
12	894,385	100,000	0,000	38		51,192	100,000	0,000	64	2,930	66,256	8,667	90	0,168	0,000	0,000
13	801,204	100,000	0,000	39		45,859	100,000	0,000	65	2,625	57,589	9,038	91	0,150	0,000	0,000
14	717,731	100,000	0,000	40		41,081	100,000	0,000	66	2,351	48,551	8,087	92	0,135	0,000	0,000
15	642,954	100,000	0,000	41		36,801	100,000	0,000	67	2,106	40,464	5,077	93	0,121	0,000	0,000
16	575,968	100,000	0,000	42		32,967	100,000	0,000	68	1,887	35,387	3,676	94	0,108	0,000	0,000
17	515,961	100,000	0,000	43		29,532	100,000	0,000	69	1,690	31,711	3,190	95	0,097	0,000	0,000
18	462,206	100,000	0,000	44		26,456	100,000	0,000	70	1,514	28,521	2,727	96	0,087	0,000	0,000
19	414,051	100,000	0,000	45		23,699	100,000	0,000	71	1,356	25,793	2,571	97	0,078	0,000	0,000
20	370,913	100,000	0,000	46		21,230	100,000	0,000	72	1,215	23,222	2,481	98	0,070	0,000	0,000
21	332,270	100,000	0,000	47		19,018	100,000	0,000	73	1,089	20,741	2,566	99	0,062	0,000	0,000
22	297,652	100,000	0,000	48		17,037	100,000	0,000	74	0,975	18,175	2,635	100	0,056	0,000	0,000
23	266,642	100,000	0,000	49		15,262	100,000	0,000	75	0,874	15,540	2,819	101	0,050	0,000	0,000
24	238,862	100,000	0,000	50		13,672	100,000	0,000	76	0,783	12,721	2,789				
25	213,976	100,000	0,000	51		12,247	100,000	0,003	77	0,701	9,932	2,632				
26	191,683	100,000	0,000	52		10,971	99,997	0,067	78	0,628	7,300	2,328				
Condition File Name																
Ref Index	3.00–0.20i															
Decentralized Solvent	Demi water				Dispersing Agent											
Denst of Disper Agent					Dispersion Method											
Pump Speed	3.0	Stirrer	3.0		Time for Sonicator				10							
Sample Preparation																
Distribution Function	None				Smoothing Level				0							
Select Emulation Table					Data Shift				0							
Sequence File Name																





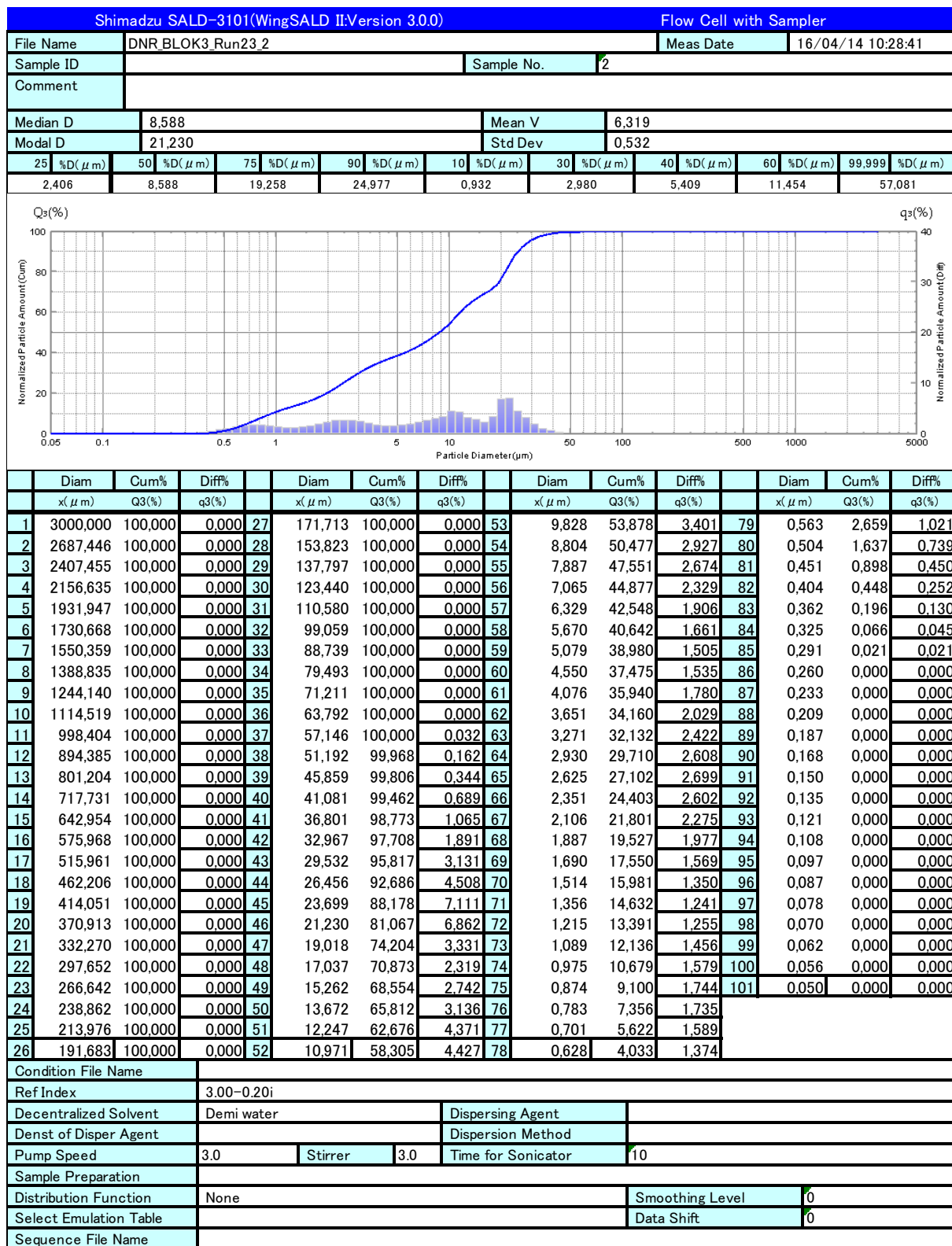


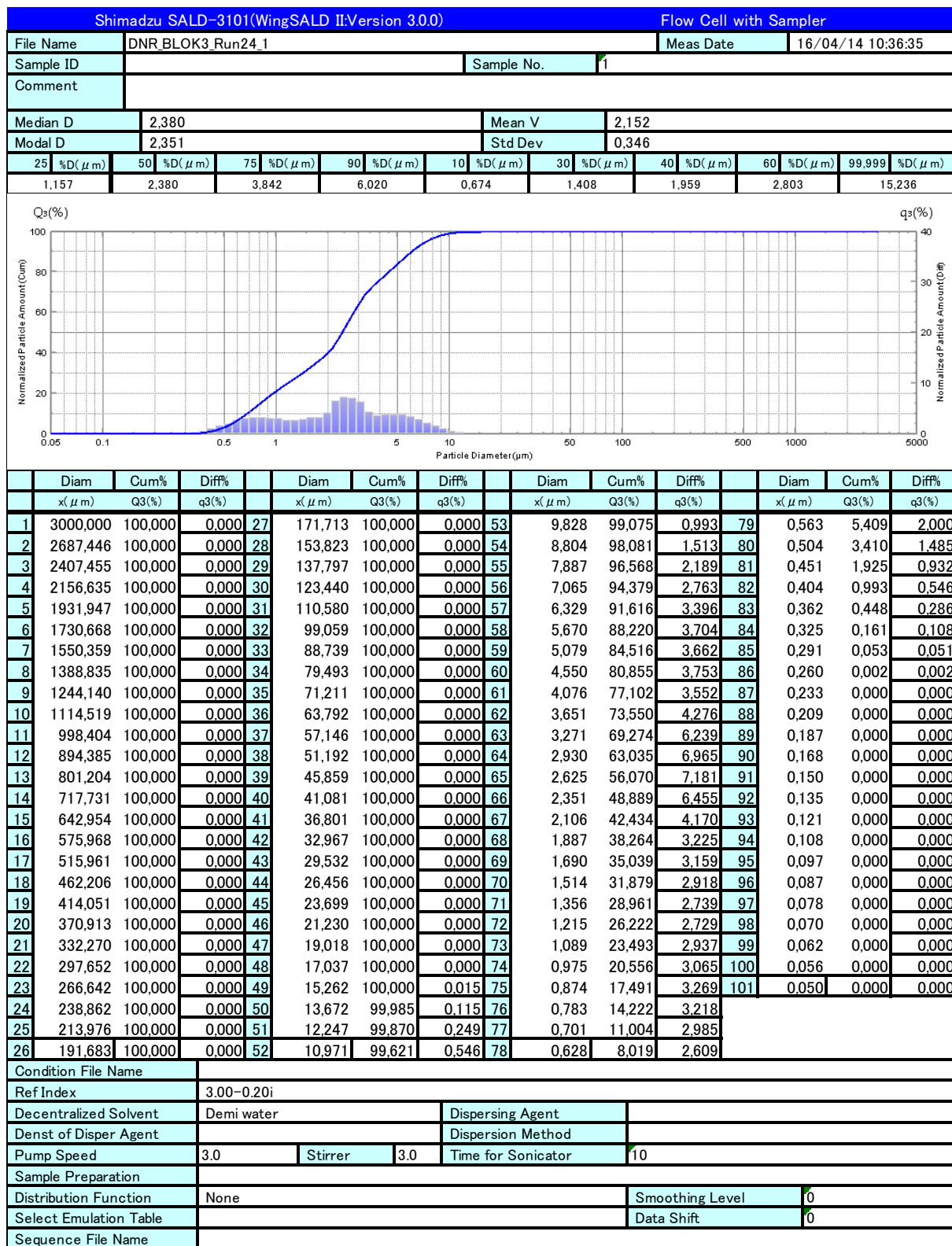




Shimadzu SALD-3101(WingSALD II:Version 3.0.0)										Flow Cell with Sampler																																																																																																																																																																																																																																																																																																																																																																																																																																																																								
File Name		DNR_BLOK3_Run21_3						Meas Date		16/04/14 10:12:59																																																																																																																																																																																																																																																																																																																																																																																																																																																																								
Sample ID								Sample No.		3																																																																																																																																																																																																																																																																																																																																																																																																																																																																								
Comment																																																																																																																																																																																																																																																																																																																																																																																																																																																																																		
Median D		16,421						Mean V		10,750																																																																																																																																																																																																																																																																																																																																																																																																																																																																								
Modal D		51,192						Std Dev		0,632																																																																																																																																																																																																																																																																																																																																																																																																																																																																								
25	%D(μm)	50	%D(μm)	75	%D(μm)	90	%D(μm)	10	%D(μm)	30	%D(μm)	40	%D(μm)	60	%D(μm)	99,999	%D(μm)																																																																																																																																																																																																																																																																																																																																																																																																																																																																	
3,185		16,421		35,891		52,458		1,057		4,879		10,248		23,609		137,258																																																																																																																																																																																																																																																																																																																																																																																																																																																																		
<table border="1"> <thead> <tr> <th></th><th>Diam</th><th>Cum%</th><th>Diff%</th><th></th><th>Diam</th><th>Cum%</th><th>Diff%</th><th></th><th>Diam</th><th>Cum%</th><th>Diff%</th><th></th><th>Diam</th><th>Cum%</th><th>Diff%</th></tr> <tr> <th></th><th>x(μm)</th><th>Q3(%)</th><th>q3(%)</th><th></th><th>x(μm)</th><th>Q3(%)</th><th>q3(%)</th><th></th><th>x(μm)</th><th>Q3(%)</th><th>q3(%)</th><th></th><th>x(μm)</th><th>Q3(%)</th><th>q3(%)</th></tr> </thead> <tbody> <tr><td>1</td><td>3000,000</td><td>100,000</td><td>0,000</td><td>27</td><td>171,713</td><td>100,000</td><td>0,000</td><td>53</td><td>9,828</td><td>39,193</td><td>1,978</td><td>79</td><td>0,563</td><td>3,072</td><td>1,076</td></tr> <tr><td>2</td><td>2687,446</td><td>100,000</td><td>0,000</td><td>28</td><td>153,823</td><td>100,000</td><td>0,000</td><td>54</td><td>8,804</td><td>37,215</td><td>1,814</td><td>80</td><td>0,504</td><td>1,996</td><td>0,843</td></tr> <tr><td>3</td><td>2407,455</td><td>100,000</td><td>0,000</td><td>29</td><td>137,797</td><td>100,000</td><td>0,000</td><td>55</td><td>7,887</td><td>35,400</td><td>1,579</td><td>81</td><td>0,451</td><td>1,153</td><td>0,542</td></tr> <tr><td>4</td><td>2156,635</td><td>100,000</td><td>0,000</td><td>30</td><td>123,440</td><td>100,000</td><td>0,056</td><td>56</td><td>7,065</td><td>33,821</td><td>1,365</td><td>82</td><td>0,404</td><td>0,611</td><td>0,332</td></tr> <tr><td>5</td><td>1931,947</td><td>100,000</td><td>0,000</td><td>31</td><td>110,580</td><td>99,944</td><td>0,121</td><td>57</td><td>6,329</td><td>32,456</td><td>1,097</td><td>83</td><td>0,362</td><td>0,279</td><td>0,175</td></tr> <tr><td>6</td><td>1730,668</td><td>100,000</td><td>0,000</td><td>32</td><td>99,059</td><td>99,822</td><td>0,326</td><td>58</td><td>5,670</td><td>31,359</td><td>0,985</td><td>84</td><td>0,325</td><td>0,104</td><td>0,070</td></tr> <tr><td>7</td><td>1550,359</td><td>100,000</td><td>0,000</td><td>33</td><td>88,739</td><td>99,497</td><td>0,620</td><td>59</td><td>5,079</td><td>30,374</td><td>0,976</td><td>85</td><td>0,291</td><td>0,034</td><td>0,032</td></tr> <tr><td>8</td><td>1388,835</td><td>100,000</td><td>0,000</td><td>34</td><td>79,493</td><td>98,876</td><td>1,070</td><td>60</td><td>4,550</td><td>29,398</td><td>1,074</td><td>86</td><td>0,260</td><td>0,002</td><td>0,002</td></tr> <tr><td>9</td><td>1244,140</td><td>100,000</td><td>0,000</td><td>35</td><td>71,211</td><td>97,807</td><td>1,520</td><td>61</td><td>4,076</td><td>28,324</td><td>1,322</td><td>87</td><td>0,233</td><td>0,000</td><td>0,000</td></tr> <tr><td>10</td><td>1114,519</td><td>100,000</td><td>0,000</td><td>36</td><td>63,792</td><td>96,286</td><td>2,520</td><td>62</td><td>3,651</td><td>27,002</td><td>1,542</td><td>88</td><td>0,209</td><td>0,000</td><td>0,000</td></tr> <tr><td>11</td><td>998,404</td><td>100,000</td><td>0,000</td><td>37</td><td>57,146</td><td>93,767</td><td>4,585</td><td>63</td><td>3,271</td><td>25,461</td><td>1,824</td><td>89</td><td>0,187</td><td>0,000</td><td>0,000</td></tr> <tr><td>12</td><td>894,385</td><td>100,000</td><td>0,000</td><td>38</td><td>51,192</td><td>89,181</td><td>5,098</td><td>64</td><td>2,930</td><td>23,637</td><td>1,983</td><td>90</td><td>0,168</td><td>0,000</td><td>0,000</td></tr> <tr><td>13</td><td>801,204</td><td>100,000</td><td>0,000</td><td>39</td><td>45,859</td><td>84,083</td><td>4,158</td><td>65</td><td>2,625</td><td>21,654</td><td>2,087</td><td>91</td><td>0,150</td><td>0,000</td><td>0,000</td></tr> <tr><td>14</td><td>717,731</td><td>100,000</td><td>0,000</td><td>40</td><td>41,081</td><td>79,926</td><td>3,983</td><td>66</td><td>2,351</td><td>19,566</td><td>2,047</td><td>92</td><td>0,135</td><td>0,000</td><td>0,000</td></tr> <tr><td>15</td><td>642,954</td><td>100,000</td><td>0,000</td><td>41</td><td>36,801</td><td>75,943</td><td>4,180</td><td>67</td><td>2,106</td><td>17,519</td><td>1,859</td><td>93</td><td>0,121</td><td>0,000</td><td>0,000</td></tr> <tr><td>16</td><td>575,968</td><td>100,000</td><td>0,000</td><td>42</td><td>32,967</td><td>71,762</td><td>4,106</td><td>68</td><td>1,887</td><td>15,661</td><td>1,626</td><td>94</td><td>0,108</td><td>0,000</td><td>0,000</td></tr> <tr><td>17</td><td>515,961</td><td>100,000</td><td>0,000</td><td>43</td><td>29,532</td><td>67,656</td><td>3,886</td><td>69</td><td>1,690</td><td>14,035</td><td>1,260</td><td>95</td><td>0,097</td><td>0,000</td><td>0,000</td></tr> <tr><td>18</td><td>462,206</td><td>100,000</td><td>0,000</td><td>44</td><td>26,456</td><td>63,770</td><td>3,658</td><td>70</td><td>1,514</td><td>12,775</td><td>1,014</td><td>96</td><td>0,087</td><td>0,000</td><td>0,000</td></tr> <tr><td>19</td><td>414,051</td><td>100,000</td><td>0,000</td><td>45</td><td>23,699</td><td>60,112</td><td>3,358</td><td>71</td><td>1,356</td><td>11,760</td><td>0,788</td><td>97</td><td>0,078</td><td>0,000</td><td>0,000</td></tr> <tr><td>20</td><td>370,913</td><td>100,000</td><td>0,000</td><td>46</td><td>21,230</td><td>56,754</td><td>3,100</td><td>72</td><td>1,215</td><td>10,972</td><td>0,731</td><td>98</td><td>0,070</td><td>0,000</td><td>0,000</td></tr> <tr><td>21</td><td>332,270</td><td>100,000</td><td>0,000</td><td>47</td><td>19,018</td><td>53,654</td><td>2,846</td><td>73</td><td>1,089</td><td>10,241</td><td>0,841</td><td>99</td><td>0,062</td><td>0,000</td><td>0,000</td></tr> <tr><td>22</td><td>297,652</td><td>100,000</td><td>0,000</td><td>48</td><td>17,037</td><td>50,808</td><td>2,630</td><td>74</td><td>0,975</td><td>9,399</td><td>0,977</td><td>100</td><td>0,056</td><td>0,000</td><td>0,000</td></tr> <tr><td>23</td><td>266,642</td><td>100,000</td><td>0,000</td><td>49</td><td>15,262</td><td>48,178</td><td>2,442</td><td>75</td><td>0,874</td><td>8,422</td><td>1,246</td><td>101</td><td>0,050</td><td>0,000</td><td>0,000</td></tr> <tr><td>24</td><td>238,862</td><td>100,000</td><td>0,000</td><td>50</td><td>13,672</td><td>45,736</td><td>2,289</td><td>76</td><td>0,783</td><td>7,176</td><td>1,362</td><td></td><td></td><td></td><td></td><td></td></tr> <tr><td>25</td><td>213,976</td><td>100,000</td><td>0,000</td><td>51</td><td>12,247</td><td>43,446</td><td>2,186</td><td>77</td><td>0,701</td><td>5,815</td><td>1,414</td><td></td><td></td><td></td><td></td><td></td></tr> <tr><td>26</td><td>191,683</td><td>100,000</td><td>0,000</td><td>52</td><td>10,971</td><td>41,261</td><td>2,068</td><td>78</td><td>0,628</td><td>4,400</td><td>1,328</td><td></td><td></td><td></td><td></td><td></td></tr> </tbody> </table> <td data-cs="1" data-kind="parent">Condition File Name</td> <td data-kind="ghost"></td> <td data-cs="13" data-kind="parent"></td> <td data-kind="ghost"></td>		Diam	Cum%	Diff%		Diam	Cum%	Diff%		Diam	Cum%	Diff%		Diam	Cum%	Diff%		x(μm)	Q3(%)	q3(%)		x(μm)	Q3(%)	q3(%)		x(μm)	Q3(%)	q3(%)		x(μm)	Q3(%)	q3(%)	1	3000,000	100,000	0,000	27	171,713	100,000	0,000	53	9,828	39,193	1,978	79	0,563	3,072	1,076	2	2687,446	100,000	0,000	28	153,823	100,000	0,000	54	8,804	37,215	1,814	80	0,504	1,996	0,843	3	2407,455	100,000	0,000	29	137,797	100,000	0,000	55	7,887	35,400	1,579	81	0,451	1,153	0,542	4	2156,635	100,000	0,000	30	123,440	100,000	0,056	56	7,065	33,821	1,365	82	0,404	0,611	0,332	5	1931,947	100,000	0,000	31	110,580	99,944	0,121	57	6,329	32,456	1,097	83	0,362	0,279	0,175	6	1730,668	100,000	0,000	32	99,059	99,822	0,326	58	5,670	31,359	0,985	84	0,325	0,104	0,070	7	1550,359	100,000	0,000	33	88,739	99,497	0,620	59	5,079	30,374	0,976	85	0,291	0,034	0,032	8	1388,835	100,000	0,000	34	79,493	98,876	1,070	60	4,550	29,398	1,074	86	0,260	0,002	0,002	9	1244,140	100,000	0,000	35	71,211	97,807	1,520	61	4,076	28,324	1,322	87	0,233	0,000	0,000	10	1114,519	100,000	0,000	36	63,792	96,286	2,520	62	3,651	27,002	1,542	88	0,209	0,000	0,000	11	998,404	100,000	0,000	37	57,146	93,767	4,585	63	3,271	25,461	1,824	89	0,187	0,000	0,000	12	894,385	100,000	0,000	38	51,192	89,181	5,098	64	2,930	23,637	1,983	90	0,168	0,000	0,000	13	801,204	100,000	0,000	39	45,859	84,083	4,158	65	2,625	21,654	2,087	91	0,150	0,000	0,000	14	717,731	100,000	0,000	40	41,081	79,926	3,983	66	2,351	19,566	2,047	92	0,135	0,000	0,000	15	642,954	100,000	0,000	41	36,801	75,943	4,180	67	2,106	17,519	1,859	93	0,121	0,000	0,000	16	575,968	100,000	0,000	42	32,967	71,762	4,106	68	1,887	15,661	1,626	94	0,108	0,000	0,000	17	515,961	100,000	0,000	43	29,532	67,656	3,886	69	1,690	14,035	1,260	95	0,097	0,000	0,000	18	462,206	100,000	0,000	44	26,456	63,770	3,658	70	1,514	12,775	1,014	96	0,087	0,000	0,000	19	414,051	100,000	0,000	45	23,699	60,112	3,358	71	1,356	11,760	0,788	97	0,078	0,000	0,000	20	370,913	100,000	0,000	46	21,230	56,754	3,100	72	1,215	10,972	0,731	98	0,070	0,000	0,000	21	332,270	100,000	0,000	47	19,018	53,654	2,846	73	1,089	10,241	0,841	99	0,062	0,000	0,000	22	297,652	100,000	0,000	48	17,037	50,808	2,630	74	0,975	9,399	0,977	100	0,056	0,000	0,000	23	266,642	100,000	0,000	49	15,262	48,178	2,442	75	0,874	8,422	1,246	101	0,050	0,000	0,000	24	238,862	100,000	0,000	50	13,672	45,736	2,289	76	0,783	7,176	1,362						25	213,976	100,000	0,000	51	12,247	43,446	2,186	77	0,701	5,815	1,414						26	191,683	100,000	0,000	52	10,971	41,261	2,068	78	0,628	4,400	1,328						Condition File Name														
	Diam	Cum%	Diff%		Diam	Cum%	Diff%		Diam	Cum%	Diff%		Diam	Cum%	Diff%																																																																																																																																																																																																																																																																																																																																																																																																																																																																			
	x(μm)	Q3(%)	q3(%)		x(μm)	Q3(%)	q3(%)		x(μm)	Q3(%)	q3(%)		x(μm)	Q3(%)	q3(%)																																																																																																																																																																																																																																																																																																																																																																																																																																																																			
1	3000,000	100,000	0,000	27	171,713	100,000	0,000	53	9,828	39,193	1,978	79	0,563	3,072	1,076																																																																																																																																																																																																																																																																																																																																																																																																																																																																			
2	2687,446	100,000	0,000	28	153,823	100,000	0,000	54	8,804	37,215	1,814	80	0,504	1,996	0,843																																																																																																																																																																																																																																																																																																																																																																																																																																																																			
3	2407,455	100,000	0,000	29	137,797	100,000	0,000	55	7,887	35,400	1,579	81	0,451	1,153	0,542																																																																																																																																																																																																																																																																																																																																																																																																																																																																			
4	2156,635	100,000	0,000	30	123,440	100,000	0,056	56	7,065	33,821	1,365	82	0,404	0,611	0,332																																																																																																																																																																																																																																																																																																																																																																																																																																																																			
5	1931,947	100,000	0,000	31	110,580	99,944	0,121	57	6,329	32,456	1,097	83	0,362	0,279	0,175																																																																																																																																																																																																																																																																																																																																																																																																																																																																			
6	1730,668	100,000	0,000	32	99,059	99,822	0,326	58	5,670	31,359	0,985	84	0,325	0,104	0,070																																																																																																																																																																																																																																																																																																																																																																																																																																																																			
7	1550,359	100,000	0,000	33	88,739	99,497	0,620	59	5,079	30,374	0,976	85	0,291	0,034	0,032																																																																																																																																																																																																																																																																																																																																																																																																																																																																			
8	1388,835	100,000	0,000	34	79,493	98,876	1,070	60	4,550	29,398	1,074	86	0,260	0,002	0,002																																																																																																																																																																																																																																																																																																																																																																																																																																																																			
9	1244,140	100,000	0,000	35	71,211	97,807	1,520	61	4,076	28,324	1,322	87	0,233	0,000	0,000																																																																																																																																																																																																																																																																																																																																																																																																																																																																			
10	1114,519	100,000	0,000	36	63,792	96,286	2,520	62	3,651	27,002	1,542	88	0,209	0,000	0,000																																																																																																																																																																																																																																																																																																																																																																																																																																																																			
11	998,404	100,000	0,000	37	57,146	93,767	4,585	63	3,271	25,461	1,824	89	0,187	0,000	0,000																																																																																																																																																																																																																																																																																																																																																																																																																																																																			
12	894,385	100,000	0,000	38	51,192	89,181	5,098	64	2,930	23,637	1,983	90	0,168	0,000	0,000																																																																																																																																																																																																																																																																																																																																																																																																																																																																			
13	801,204	100,000	0,000	39	45,859	84,083	4,158	65	2,625	21,654	2,087	91	0,150	0,000	0,000																																																																																																																																																																																																																																																																																																																																																																																																																																																																			
14	717,731	100,000	0,000	40	41,081	79,926	3,983	66	2,351	19,566	2,047	92	0,135	0,000	0,000																																																																																																																																																																																																																																																																																																																																																																																																																																																																			
15	642,954	100,000	0,000	41	36,801	75,943	4,180	67	2,106	17,519	1,859	93	0,121	0,000	0,000																																																																																																																																																																																																																																																																																																																																																																																																																																																																			
16	575,968	100,000	0,000	42	32,967	71,762	4,106	68	1,887	15,661	1,626	94	0,108	0,000	0,000																																																																																																																																																																																																																																																																																																																																																																																																																																																																			
17	515,961	100,000	0,000	43	29,532	67,656	3,886	69	1,690	14,035	1,260	95	0,097	0,000	0,000																																																																																																																																																																																																																																																																																																																																																																																																																																																																			
18	462,206	100,000	0,000	44	26,456	63,770	3,658	70	1,514	12,775	1,014	96	0,087	0,000	0,000																																																																																																																																																																																																																																																																																																																																																																																																																																																																			
19	414,051	100,000	0,000	45	23,699	60,112	3,358	71	1,356	11,760	0,788	97	0,078	0,000	0,000																																																																																																																																																																																																																																																																																																																																																																																																																																																																			
20	370,913	100,000	0,000	46	21,230	56,754	3,100	72	1,215	10,972	0,731	98	0,070	0,000	0,000																																																																																																																																																																																																																																																																																																																																																																																																																																																																			
21	332,270	100,000	0,000	47	19,018	53,654	2,846	73	1,089	10,241	0,841	99	0,062	0,000	0,000																																																																																																																																																																																																																																																																																																																																																																																																																																																																			
22	297,652	100,000	0,000	48	17,037	50,808	2,630	74	0,975	9,399	0,977	100	0,056	0,000	0,000																																																																																																																																																																																																																																																																																																																																																																																																																																																																			
23	266,642	100,000	0,000	49	15,262	48,178	2,442	75	0,874	8,422	1,246	101	0,050	0,000	0,000																																																																																																																																																																																																																																																																																																																																																																																																																																																																			
24	238,862	100,000	0,000	50	13,672	45,736	2,289	76	0,783	7,176	1,362																																																																																																																																																																																																																																																																																																																																																																																																																																																																							
25	213,976	100,000	0,000	51	12,247	43,446	2,186	77	0,701	5,815	1,414																																																																																																																																																																																																																																																																																																																																																																																																																																																																							
26	191,683	100,000	0,000	52	10,971	41,261	2,068	78	0,628	4,400	1,328																																																																																																																																																																																																																																																																																																																																																																																																																																																																							
Ref Index		3.00–0.20i																																																																																																																																																																																																																																																																																																																																																																																																																																																																																
Decentralized Solvent		Demi water			Dispersing Agent																																																																																																																																																																																																																																																																																																																																																																																																																																																																													
Denst of Disper Agent					Dispersion Method																																																																																																																																																																																																																																																																																																																																																																																																																																																																													
Pump Speed		3.0	Stirrer	3.0	Time for Sonicator			10																																																																																																																																																																																																																																																																																																																																																																																																																																																																										
Sample Preparation																																																																																																																																																																																																																																																																																																																																																																																																																																																																																		
Distribution Function		None						Smoothing Level		0																																																																																																																																																																																																																																																																																																																																																																																																																																																																								
Select Emulation Table								Data Shift		0																																																																																																																																																																																																																																																																																																																																																																																																																																																																								
Sequence File Name																																																																																																																																																																																																																																																																																																																																																																																																																																																																																		

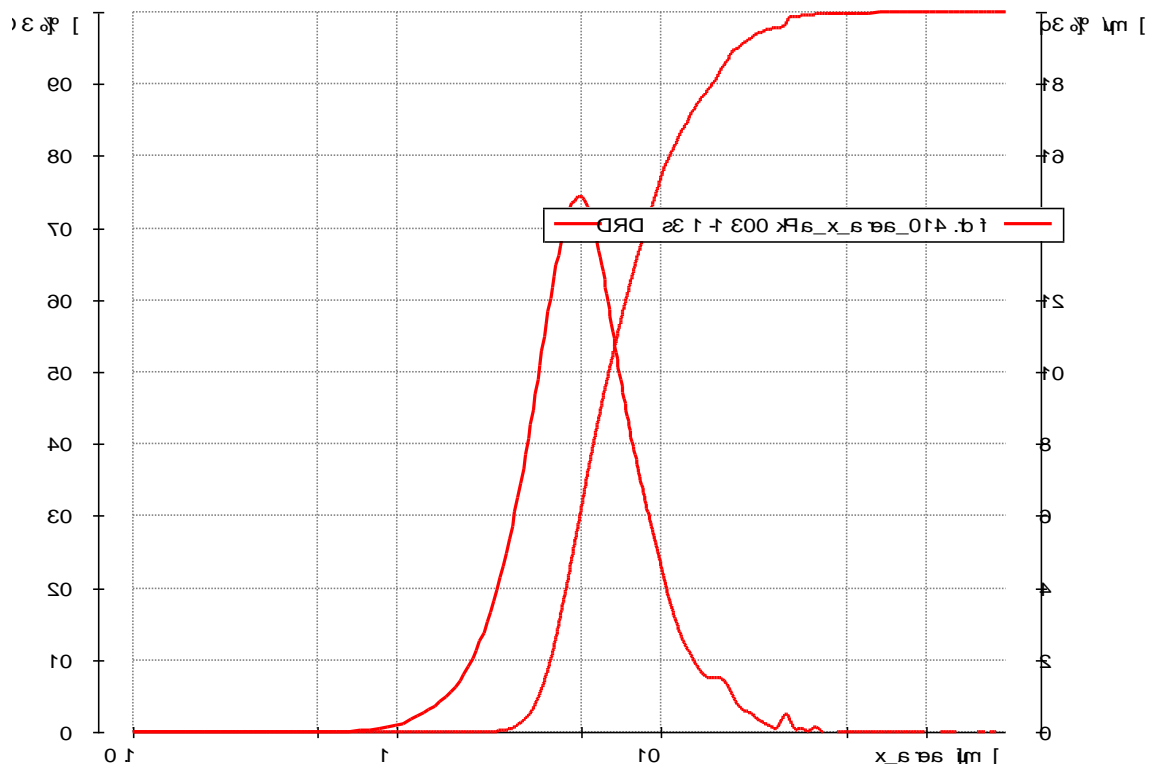
Shimadzu SALD-3101(WingSALD II:Version 3.0.0)										Flow Cell with Sampler								
File Name		DNR_BLOK3_Run22_1								Meas Date		16/04/14 10:20:48						
Sample ID						Sample No.				1								
Comment																		
Median D		2,785				Mean V		2,579										
Modal D		7,065				Std Dev		0.392										
25 %D(μm)	50 %D(μm)	75 %D(μm)	90 %D(μm)	10 %D(μm)	30 %D(μm)	40 %D(μm)	60 %D(μm)	99.999 %D(μm)	1,290	2,785	5,552	7,701	0,675	1,620	2,210	3,678	18,987	
	Diam	Cum%	Diff%		Diam	Cum%	Diff%		Diam	Cum%	Diff%		Diam	Cum%	Diff%			
	x(μm)	Q3(%)	q3(%)		x(μm)	Q3(%)	q3(%)		x(μm)	Q3(%)	q3(%)		x(μm)	Q3(%)	q3(%)			
1	3000,000	100,000	0,000	27	171,713	100,000	0,000	53	9,828	96,442	2,158	79	0,563	5,525	2,000			
2	2687,446	100,000	0,000	28	153,823	100,000	0,000	54	8,804	94,284	3,143	80	0,504	3,525	1,515			
3	2407,455	100,000	0,000	29	137,797	100,000	0,000	55	7,887	91,140	4,987	81	0,451	2,010	0,960			
4	2156,635	100,000	0,000	30	123,440	100,000	0,000	56	7,065	86,153	5,510	82	0,404	1,050	0,573			
5	1931,947	100,000	0,000	31	110,580	100,000	0,000	57	6,329	80,644	4,920	83	0,362	0,476	0,302			
6	1730,668	100,000	0,000	32	99,059	100,000	0,000	58	5,670	75,724	4,561	84	0,325	0,175	0,117			
7	1550,359	100,000	0,000	33	88,739	100,000	0,000	59	5,079	71,164	3,931	85	0,291	0,057	0,055			
8	1388,835	100,000	0,000	34	79,493	100,000	0,000	60	4,550	67,232	3,693	86	0,260	0,003	0,003			
9	1244,140	100,000	0,000	35	71,211	100,000	0,000	61	4,076	63,539	3,753	87	0,233	0,000	0,000			
10	1114,519	100,000	0,000	36	63,792	100,000	0,000	62	3,651	59,786	3,821	88	0,209	0,000	0,000			
11	998,404	100,000	0,000	37	57,146	100,000	0,000	63	3,271	55,965	3,934	89	0,187	0,000	0,000			
12	894,385	100,000	0,000	38	51,192	100,000	0,000	64	2,930	52,031	4,235	90	0,168	0,000	0,000			
13	801,204	100,000	0,000	39	45,859	100,000	0,000	65	2,625	47,796	5,073	91	0,150	0,000	0,000			
14	717,731	100,000	0,000	40	41,081	100,000	0,000	66	2,351	42,723	4,909	92	0,135	0,000	0,000			
15	642,954	100,000	0,000	41	36,801	100,000	0,000	67	2,106	37,814	3,738	93	0,121	0,000	0,000			
16	575,968	100,000	0,000	42	32,967	100,000	0,000	68	1,887	34,076	3,115	94	0,108	0,000	0,000			
17	515,961	100,000	0,000	43	29,532	100,000	0,000	69	1,690	30,961	2,667	95	0,097	0,000	0,000			
18	462,206	100,000	0,000	44	26,456	100,000	0,000	70	1,514	28,294	2,335	96	0,087	0,000	0,000			
19	414,051	100,000	0,000	45	23,699	100,000	0,000	71	1,356	25,959	2,104	97	0,078	0,000	0,000			
20	370,913	100,000	0,000	46	21,230	100,000	0,000	72	1,215	23,855	2,097	98	0,070	0,000	0,000			
21	332,270	100,000	0,000	47	19,018	100,000	0,017	73	1,089	21,758	2,367	99	0,062	0,000	0,000			
22	297,652	100,000	0,000	48	17,037	99,983	0,118	74	0,975	19,391	2,576	100	0,056	0,000	0,000			
23	266,642	100,000	0,000	49	15,262	99,864	0,250	75	0,874	16,815	2,910	101	0,050	0,000	0,000			
24	238,862	100,000	0,000	50	13,672	99,614	0,560	76	0,783	13,904	2,969							
25	213,976	100,000	0,000	51	12,247	99,054	1,026	77	0,701	10,935	2,853							
26	191,683	100,000	0,000	52	10,971	98,029	1,587	78	0,628	8,082	2,558							
Condition File Name																		
Ref Index																		
Decentralized Solvent																		
Denst of Disper Agent																		
Pump Speed																		
Sample Preparation																		
Distribution Function																		
Select Emulation Table																		
Sequence File Name																		





Prikaz mjernih podataka za raspodjelu veličina čestica određenu pomoću uređaja CAMSIZER X2, Retsch

: ali ne može biti obrisati
f q. 410_sae_x_sfk 003 + 13 DRD učitati s f TADMAV ili sa f f
q a sfk003 DRD f X : q1 ksa

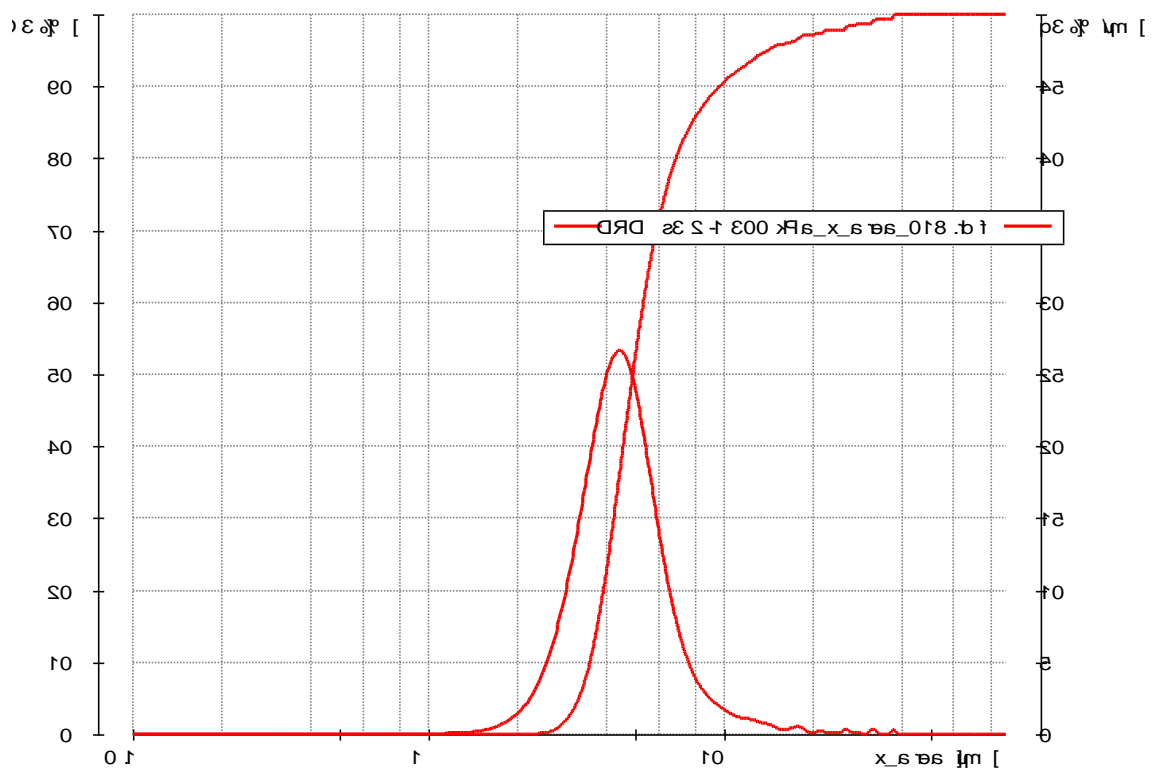


Characteristics of measurement:

D:\ParticleLibrary\CAMDAT\Installation\DRD s3 1-1 300 kPa_x_area_014.rdf

x [μm] at Q3 = 10.0 % 3.81
x [μm] at Q3 = 50.0 % 6.34
x [μm] at Q3 = 90.0 % 15.63
Q3 [%] at x = 1000.00 μm 100.0
Q3 [%] at x = 2000.00 μm 100.0
Q3 [%] at x = 4000.00 μm 100.0
SPAN3 1.865
U3 1.931
Q3 (SPHT=0.9) [%] 95.4
Q3 (Symm=0.9) [%] 53.4
Q3 (b/l=0.9) [%] 98.7
Mean value SPHT3 0.767
Mean value Symm3 0.893
Mean value b/l3 0.682

: all use t ne the use se h o jibca
 f q. 810_sea_x_sfk_003 + S 3e DRDnul q sfh / TADWAGA ta p Lef tef aR.
 q a sfk003 DRDf et X : qti ksa

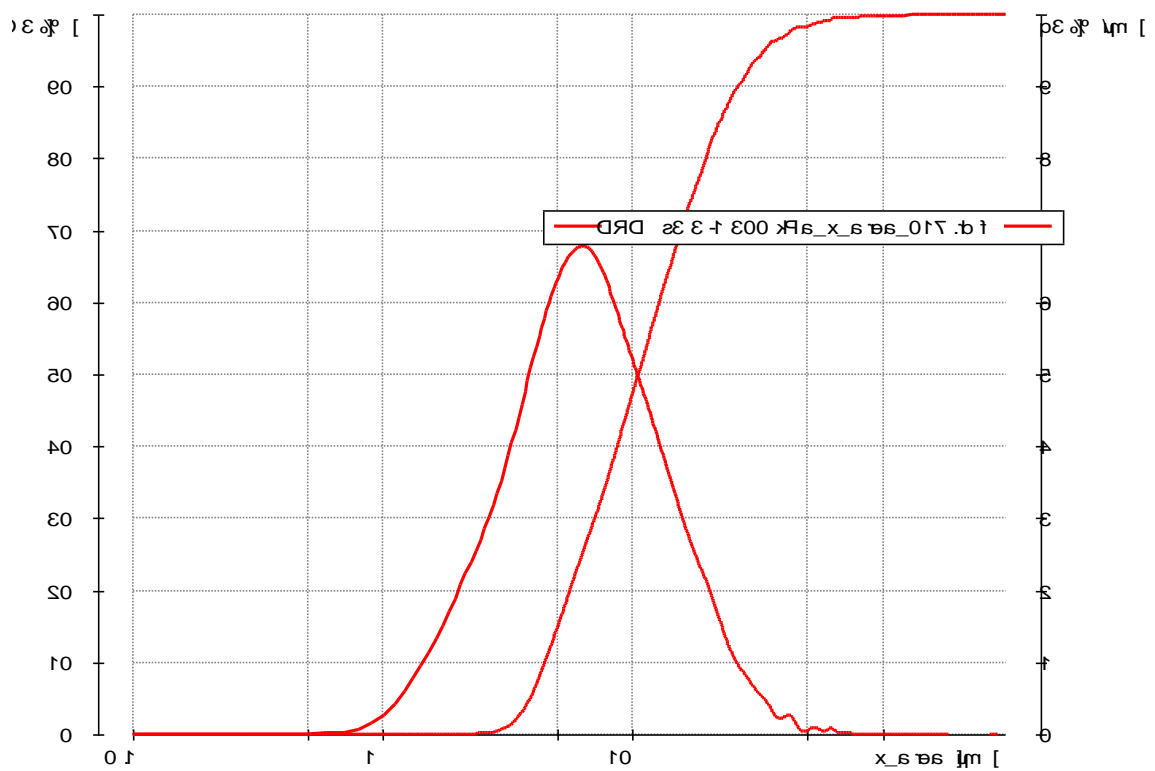


Characteristics of measurement:

D:\ParticleLibrary\CAMDAT\Installation\DRD s3 2-1 300 kPa_x_area_018.rdf

x [μm] at Q3 = 10.0 % 3.52
 x [μm] at Q3 = 50.0 % 4.92
 x [μm] at Q3 = 90.0 % 9.63
 Q3 [%] at x = 1000.00 μm 100.0
 Q3 [%] at x = 2000.00 μm 100.0
 Q3 [%] at x = 4000.00 μm 100.0
 SPAN3 1.242
 U3 1.516
 Sv [1/mm] 1199.866
 Sm [cm²/g] 29996.646
 Q3 (SPHT=0.9) [%] 96.8
 Q3 (Symm=0.9) [%] 65.9
 Q3 (b/l=0.9) [%] 98.8
 Mean value SPHT3 0.760
 Mean value Symm3 0.884
 Mean value b/l3 0.672

این نمودار را برای تجزیه ذرات در حالت سیال می‌نماییم.
 فایل داده: D:\ParticleLibrary\CAMDAT\Installation\DRD s3 3-1 300 kPa_x_area_017.rdf

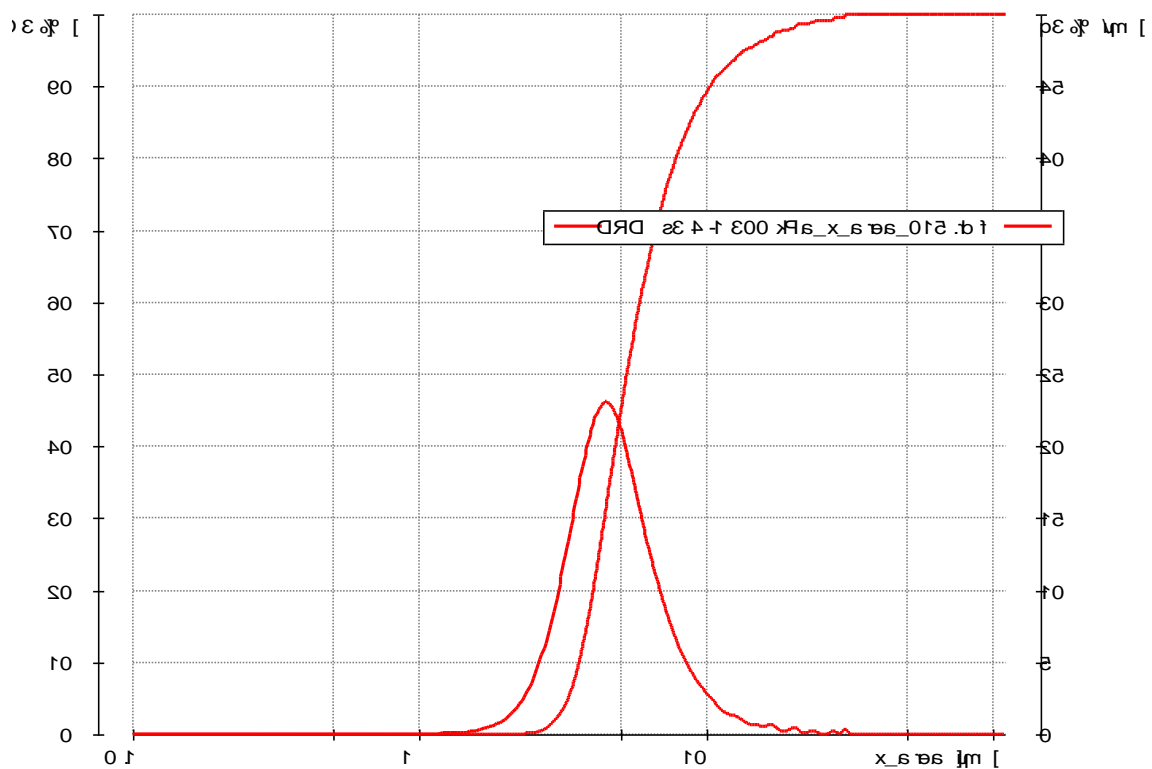


Characteristics of measurement:

D:\ParticleLibrary\CAMDAT\Installation\DRD s3 3-1 300 kPa_x_area_017.rdf

$x [\mu\text{m}]$ at Q3 = 10.0 % 4.46
 $x [\mu\text{m}]$ at Q3 = 50.0 % 10.52
 $x [\mu\text{m}]$ at Q3 = 90.0 % 26.36
 Q3 [%] at $x = 1000.00 \mu\text{m}$ 100.0
 Q3 [%] at $x = 2000.00 \mu\text{m}$ 100.0
 Q3 [%] at $x = 4000.00 \mu\text{m}$ 100.0
 SPAN3 2.081
 U3 2.865
 $Sv [1/\text{mm}]$ 688.873
 $Sm [\text{cm}^2/\text{g}]$ 17221.836
 Q3 (SPHT=0.9) [%] 95.6
 Q3 (Symm=0.9) [%] 43.3
 Q3 ($b/l=0.9$) [%] 98.8
 Mean value SPHT3 0.764
 Mean value Symm3 0.902
 Mean value b/l3 0.672

: all use t une une use use use o jibca
 f q. 510_sea_x_sfk_003 + 4 3e DRD unit 9 424 / TADWAGA ta p Lef tef aR.
 q a sfk003 DRD t et X : qut ksa

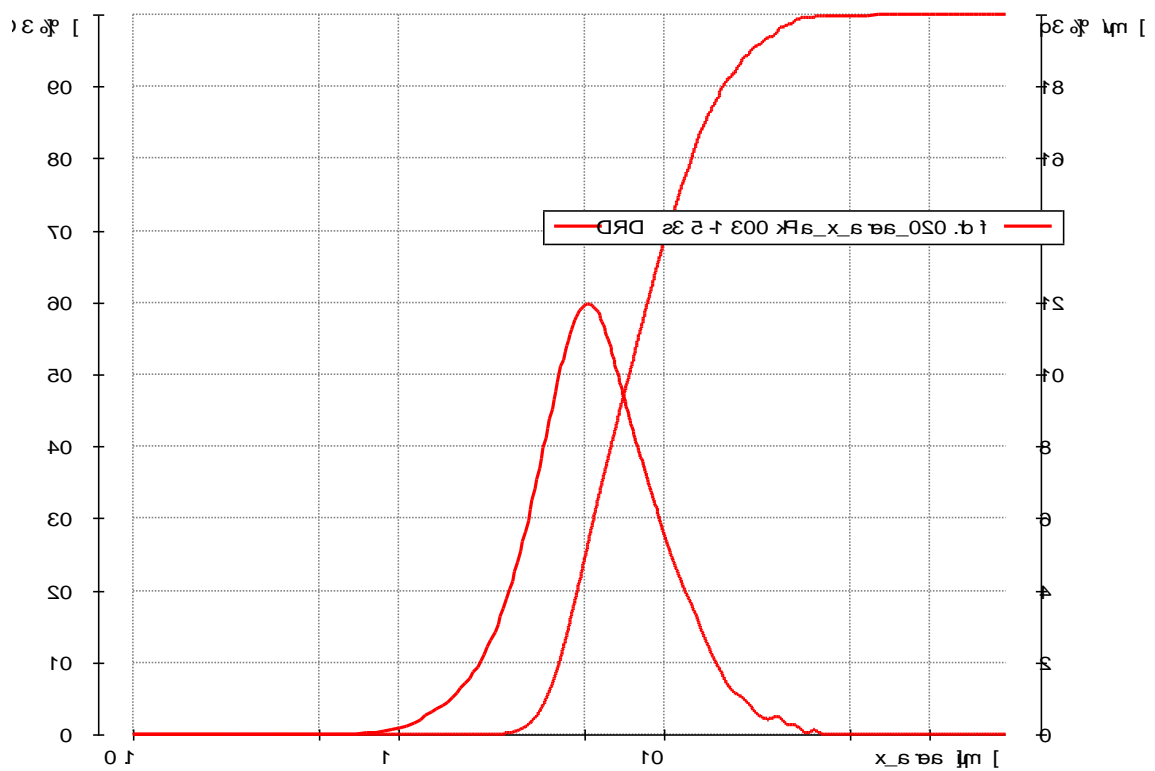


Characteristics of measurement:

D:\ParticleLibrary\CAMDAT\Installation\DRD s3 4-1 300 kPa_x_area_015.rdf

x [μm] at Q3 = 10.0 % 3.59
 x [μm] at Q3 = 50.0 % 5.27
 x [μm] at Q3 = 90.0 % 10.31
 Q3 [%] at x = 1000.00 μm 100.0
 Q3 [%] at x = 2000.00 μm 100.0
 Q3 [%] at x = 4000.00 μm 100.0
 SPAN3 1.276
 U3 1.628
 Sv [1/mm] 1138.058
 Sm [cm²/g] 28451.449
 Q3 (SPHT=0.9) [%] 97.1
 Q3 (Symm=0.9) [%] 62.5
 Q3 (b/l=0.9) [%] 99.0
 Mean value SPHT3 0.764
 Mean value Symm3 0.886
 Mean value b/l3 0.678

این نمودار را برای انداخته کردن در پرسنل ایجاد کرد
۱. داده های آزمایشی در فایل TADWAG از پایه DRD دریافت شد
۲. آنها در فایل X : کس

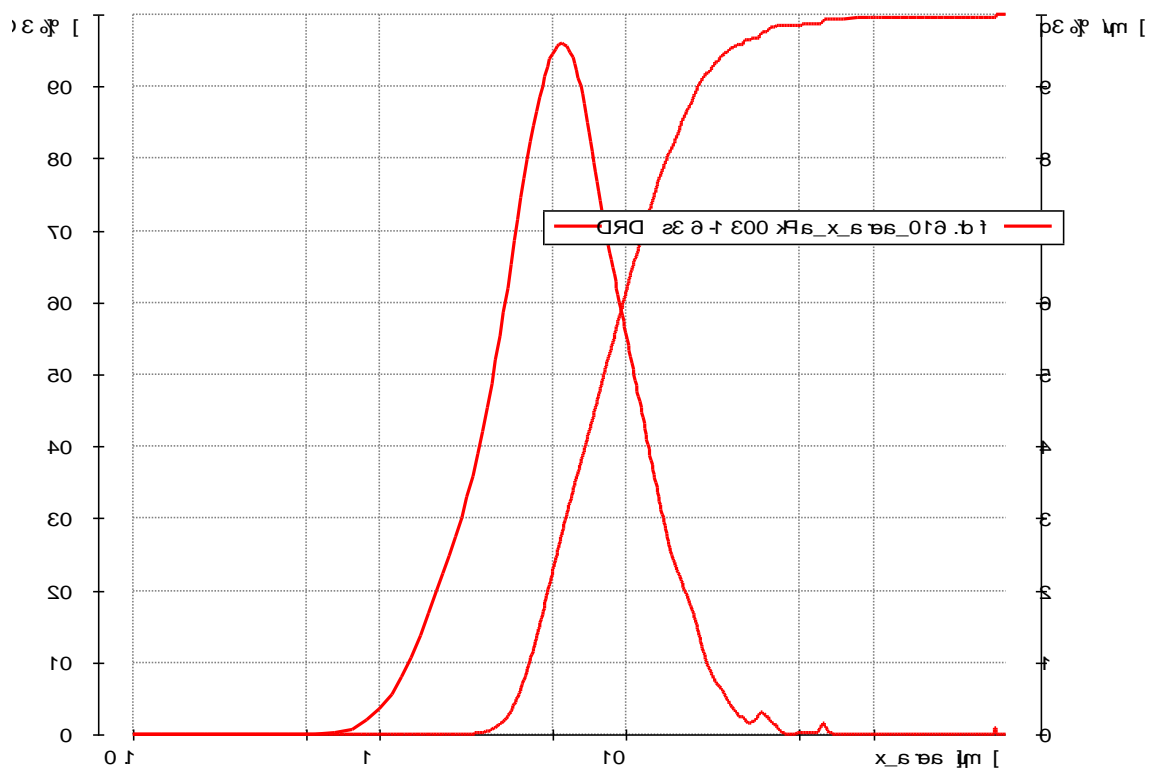


Characteristics of measurement:

D:\ParticleLibrary\CAMDAT\Installation\DRD s3 5-1 300 kPa_x_area_020.rdf

$x [\mu\text{m}]$ at Q3 = 10.0 % 4.03
 $x [\mu\text{m}]$ at Q3 = 50.0 % 7.40
 $x [\mu\text{m}]$ at Q3 = 90.0 % 16.65
 Q3 [%] at $x = 1000.00 \mu\text{m}$ 100.0
 Q3 [%] at $x = 2000.00 \mu\text{m}$ 100.0
 Q3 [%] at $x = 4000.00 \mu\text{m}$ 100.0
 SPAN3 1.705
 U3 2.146
 $S_v [1/\text{mm}]$ 880.416
 $S_m [\text{cm}^2/\text{g}]$ 22010.392
 Q3 (SPHT=0.9) [%] 96.2
 Q3 (Symm=0.9) [%] 49.9
 Q3 ($b/l=0.9$) [%] 99.0
 Mean value SPHT3 0.767
 Mean value Symm3 0.896
 Mean value b/l3 0.683

این نمودار را برای انداخته کردن در پرسنل ایجاد کردند
که در آن داده های سه دستگاه می باشد
نمودار را برای این داده های سه دستگاه ایجاد کردند

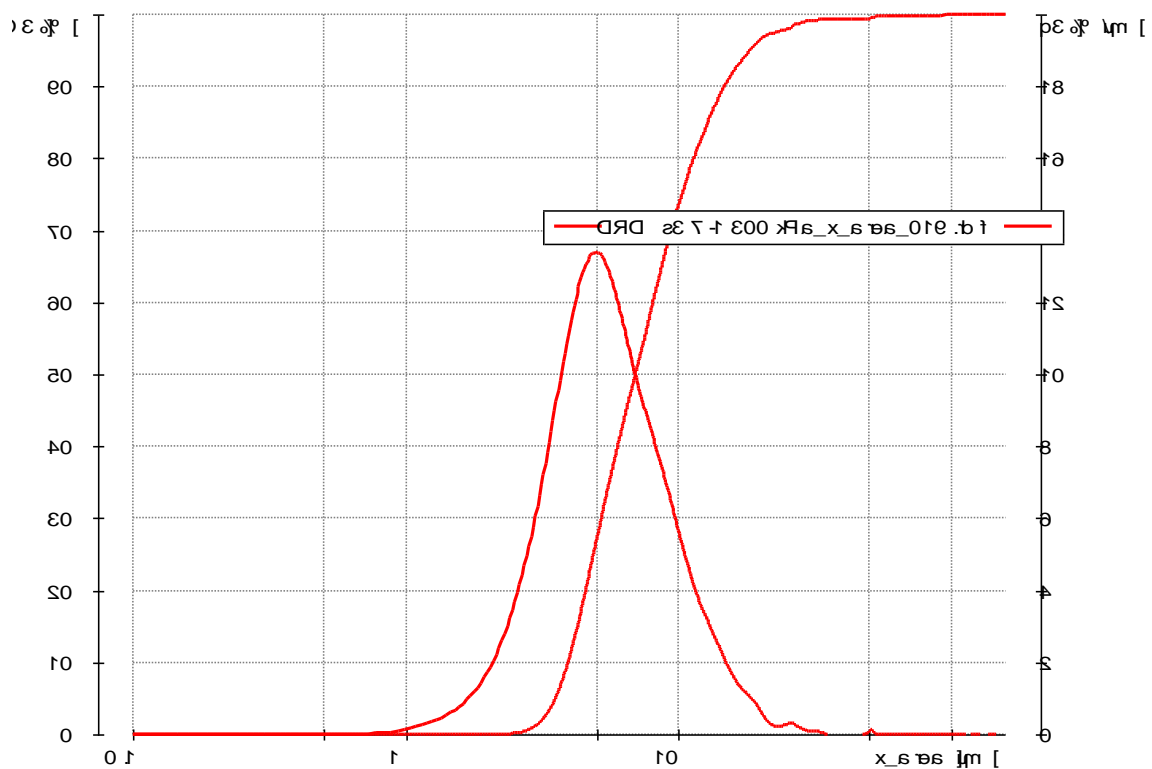


Characteristics of measurement:

D:\ParticleLibrary\CAMDAT\Installation\DRD s3 6-1 300 kPa_x_area_016.rdf

$x [\mu\text{m}]$ at Q3 = 10.0 % 4.05
 $x [\mu\text{m}]$ at Q3 = 50.0 % 8.12
 $x [\mu\text{m}]$ at Q3 = 90.0 % 19.50
 Q3 [%] at $x = 1000.00 \mu\text{m}$ 100.0
 Q3 [%] at $x = 2000.00 \mu\text{m}$ 100.0
 Q3 [%] at $x = 4000.00 \mu\text{m}$ 100.0
 SPAN3 1.903
 U3 2.399
 $S_v [1/\text{mm}]$ 827.901
 $S_m [\text{cm}^2/\text{g}]$ 20697.533
 Q3 (SPHT=0.9) [%] 95.7
 Q3 (Symm=0.9) [%] 48.6
 Q3 (b/l=0.9) [%] 98.8
 Mean value SPHT3 0.767
 Mean value Symm3 0.897
 Mean value b/l3 0.681

• 4.010_sea_x_sfk_003 + 3e DRD
• a sfk003 DRD掣 X : 要求
• 测量的使用率 0.19

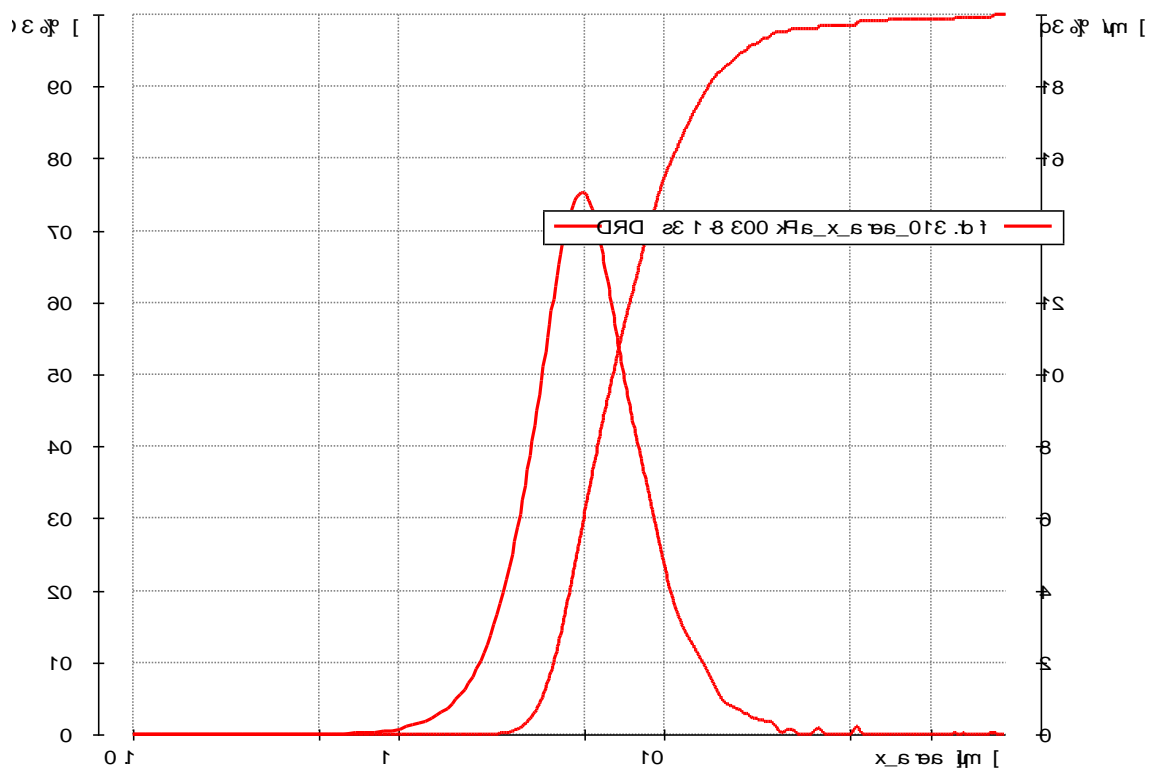


Characteristics of measurement:

D:\ParticleLibrary\CAMDAT\Installation\DRD s3 7-1 300 kPa_x_area_019.rdf

$x [\mu\text{m}]$ at Q3 = 10.0 % 3.94
 $x [\mu\text{m}]$ at Q3 = 50.0 % 6.94
 $x [\mu\text{m}]$ at Q3 = 90.0 % 14.70
 Q3 [%] at $x = 1000.00 \mu\text{m}$ 100.0
 Q3 [%] at $x = 2000.00 \mu\text{m}$ 100.0
 Q3 [%] at $x = 4000.00 \mu\text{m}$ 100.0
 SPAN3 1.551
 U3 2.044
 $S_v [1/\text{mm}]$ 926.830
 $S_m [\text{cm}^2/\text{g}]$ 23170.760
 Q3 (SPHT=0.9) [%] 96.4
 Q3 (Symm=0.9) [%] 52.4
 Q3 (b/l=0.9) [%] 98.6
 Mean value SPHT3 0.767
 Mean value Symm3 0.894
 Mean value b/l3 0.682

all use a ne me use h o jba
 f q. 310_sea_x_sfk_003.g 3e DRDut g sh/TADWAG na a p Lef tia
 q a sfk003 DRD t et X : qit ksa

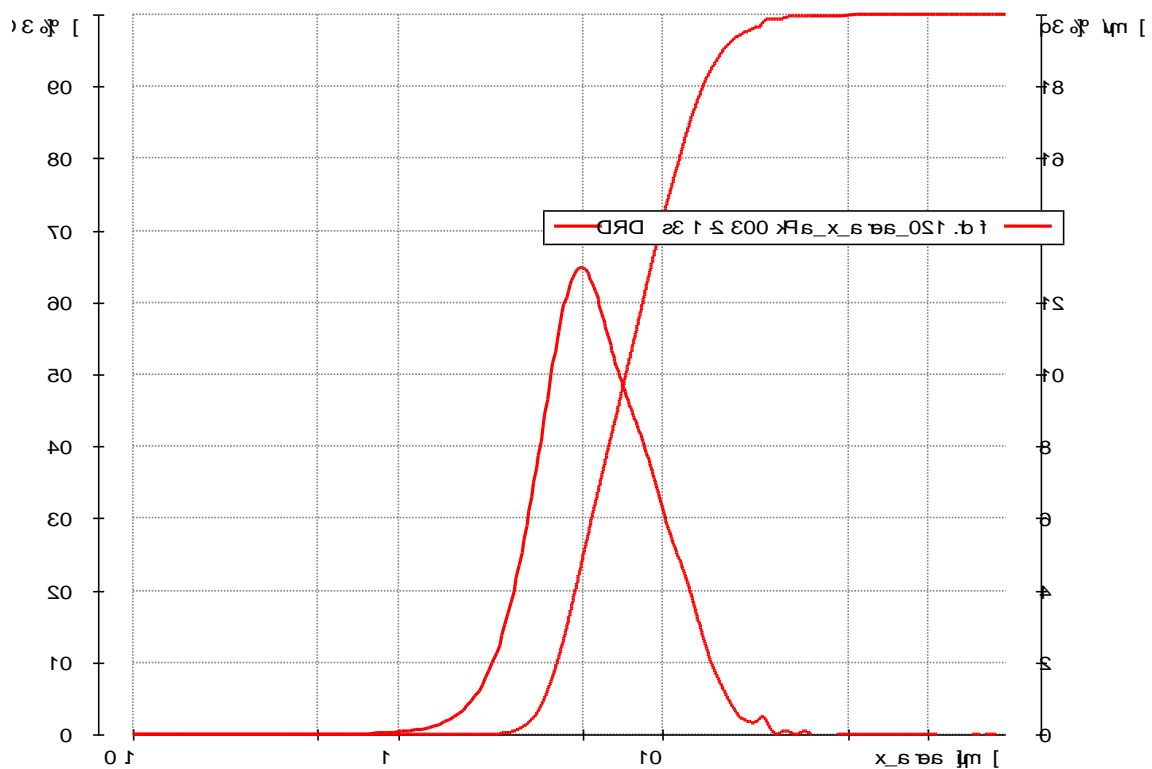


Characteristics of measurement:

D:\ParticleLibrary\CAMDAT\Installation\DRD s3 1-8 300 kPa_x_area_013.rdf

x [μm] at Q3 = 10.0 % 3.83
 x [μm] at Q3 = 50.0 % 6.40
 x [μm] at Q3 = 90.0 % 14.62
 Q3 [%] at x = 1000.00 μm 100.0
 Q3 [%] at x = 2000.00 μm 100.0
 Q3 [%] at x = 4000.00 μm 100.0
 SPAN3 1.686
 U3 1.932
 Sv [1/mm] 970.365
 Sm [cm^2/g] 24259.132
 Q3 (SPHT=0.9) [%] 95.7
 Q3 (Symm=0.9) [%] 53.9
 Q3 (b/l=0.9) [%] 98.9
 Mean value SPHT3 0.766
 Mean value Symm3 0.892
 Mean value b/l3 0.681

all uses of the same file or library
 1. q. 150_sae_x_sfk_003.s3 DRD run at 300 kPa / TADWAG at 294 K
 2. a sfk003 DRD test X : test

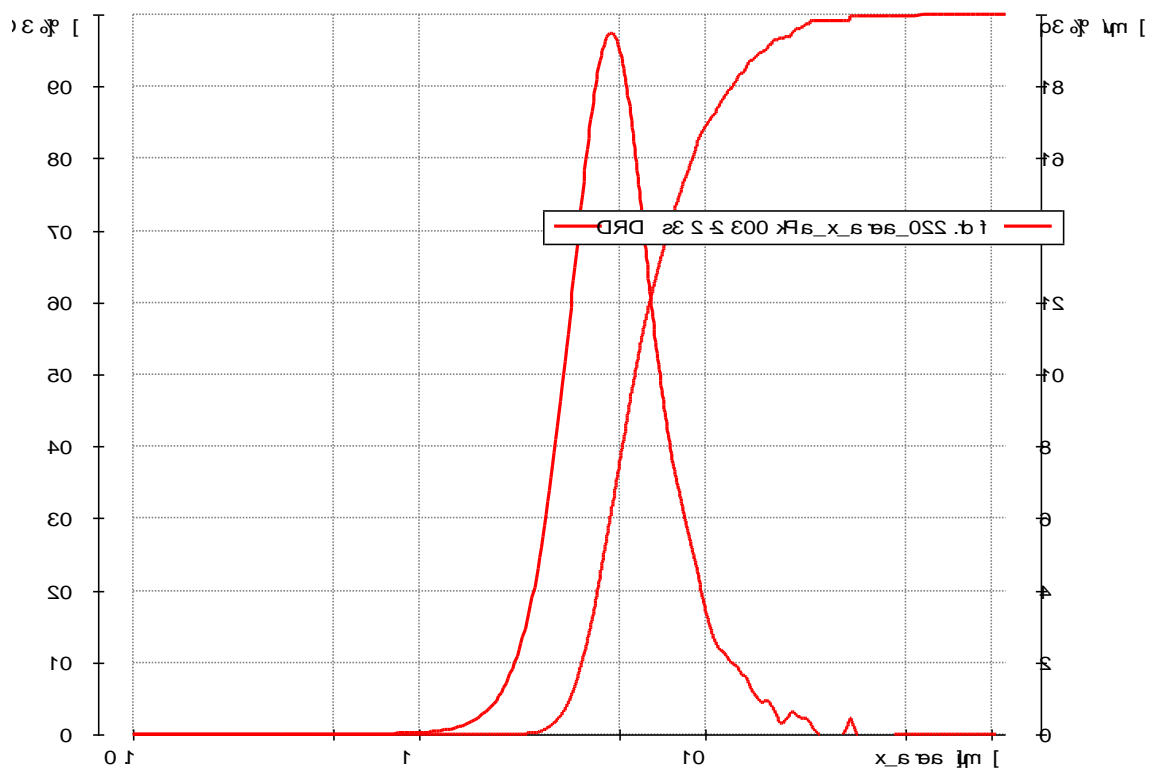


Characteristics of measurement:

D:\ParticleLibrary\CAMDAT\Installation\DRD_s3 1-2 300 kPa_x_area_021.rdf

$x [\mu\text{m}]$ at Q3 = 10.0 % 4.00
 $x [\mu\text{m}]$ at Q3 = 50.0 % 7.27
 $x [\mu\text{m}]$ at Q3 = 90.0 % 14.22
 Q3 [%] at $x = 1000.00 \mu\text{m}$ 100.0
 Q3 [%] at $x = 2000.00 \mu\text{m}$ 100.0
 Q3 [%] at $x = 4000.00 \mu\text{m}$ 100.0
 SPAN3 1.404
 U3 2.104
 $S_v [1/\text{mm}]$ 904.288
 $S_m [\text{cm}^2/\text{g}]$ 22607.202
 Q3 (SPHT=0.9) [%] 96.0
 Q3 (Symm=0.9) [%] 49.5
 Q3 (b/l=0.9) [%] 98.7
 Mean value SPHT3 0.769
 Mean value Symm3 0.896
 Mean value b/l3 0.684

14. 250_aea_s_x_afk_003_5_2_3a_DR0ut_91_4sh/TADWAG_1a_1p_Lf_01_A
q_aBK003_DR0t_91_X:_tit_ksa
:all uses of the name must be kept
in the same order as they appear

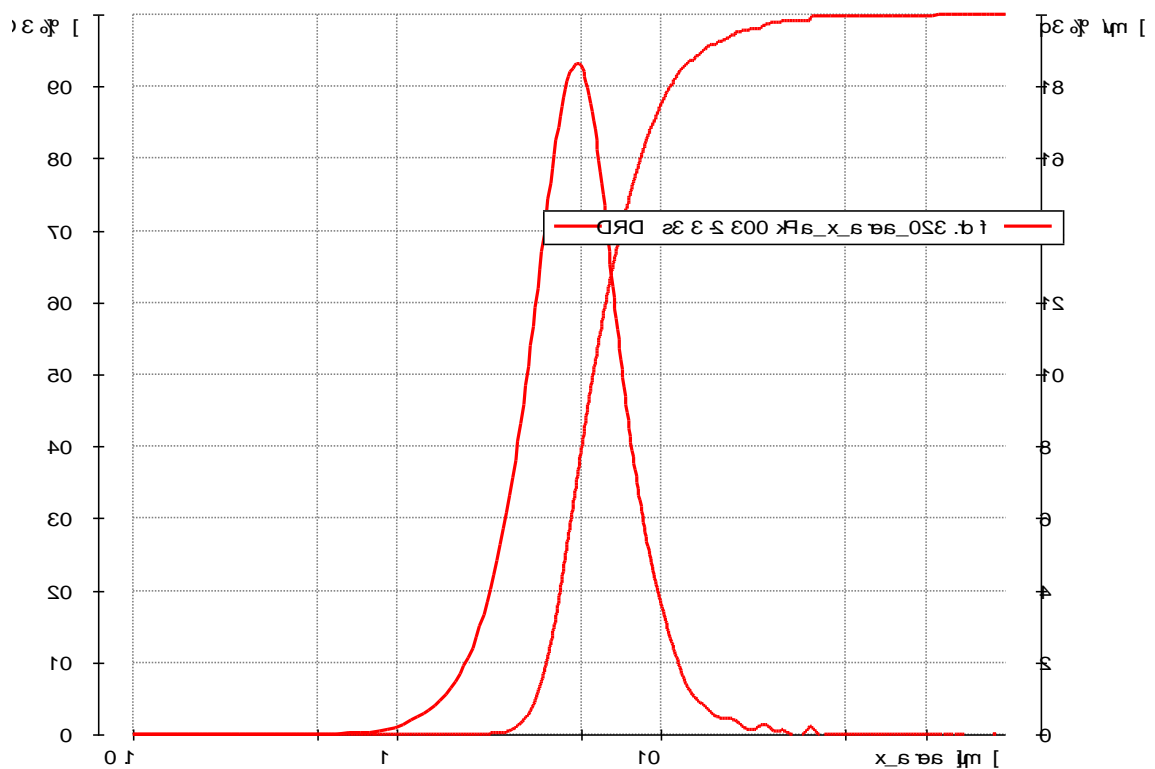


Characteristics of measurement:

D:\ParticleLibrary\CAMDAT\Installation\DRD_s3_2-2_300_kPa_x_area_022.rdf

x [μm] at Q3 = 10.0 %	3.71
x [μm] at Q3 = 50.0 %	5.69
x [μm] at Q3 = 90.0 %	12.43
Q3 [%] at x = 1000.00 μm	100.0
Q3 [%] at x = 2000.00 μm	100.0
Q3 [%] at x = 4000.00 μm	100.0
SPAN3	1.534
U3	1.726
Sv [1/mm]	1059.827
Sm [cm ² /g]	26495.673
Q3 (SPHT=0.9) [%]	97.0
Q3 (Symm=0.9) [%]	58.4
Q3 (b/l=0.9) [%]	98.8
Mean value SPHT3	0.765
Mean value Symm3	0.890
Mean value b/l3	0.679

all uses of the same file or library
for 320_sa_x_fk_003.s3 DRD run at 324/TADWAG/kaap/Leefstraat
file ksa_fk003.DRD.txt : file ksa

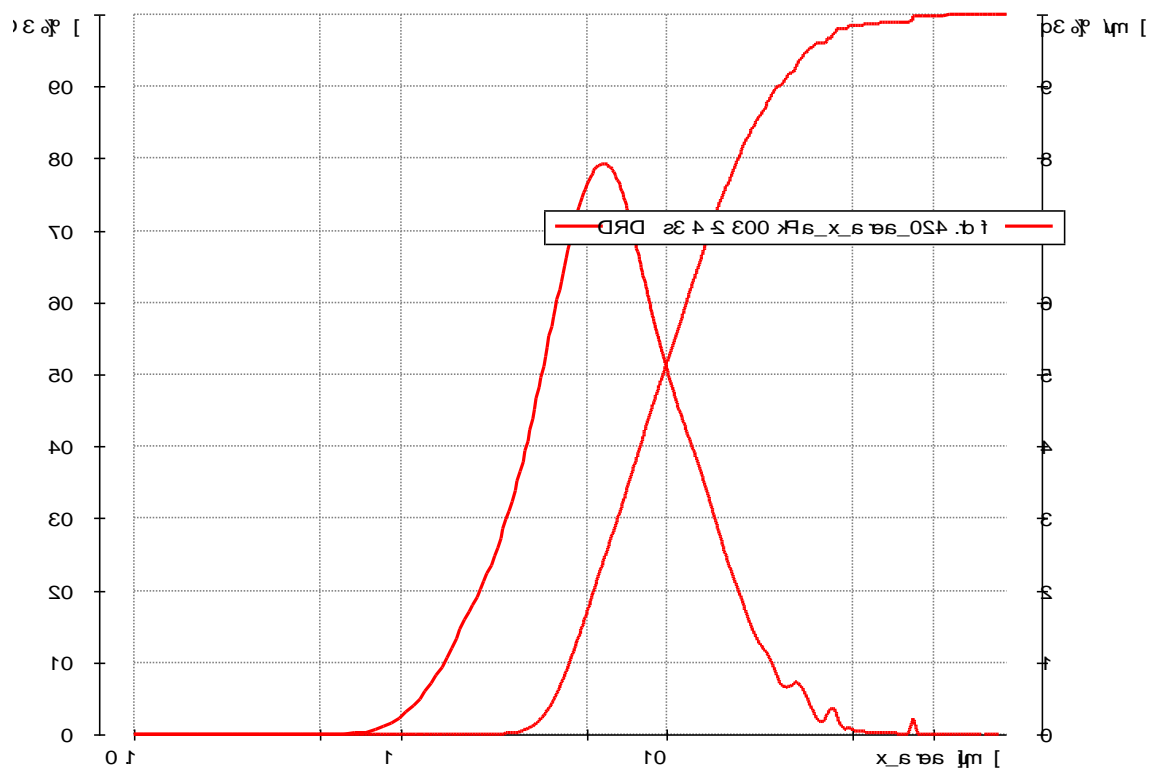


Characteristics of measurement:

D:\ParticleLibrary\CAMDAT\Installation\DRD_s3 3-2 300 kPa_x_area_023.rdf

$x [\mu\text{m}]$ at Q3 = 10.0 % 3.68
 $x [\mu\text{m}]$ at Q3 = 50.0 % 5.53
 $x [\mu\text{m}]$ at Q3 = 90.0 % 10.82
 Q3 [%] at $x = 1000.00 \mu\text{m}$ 100.0
 Q3 [%] at $x = 2000.00 \mu\text{m}$ 100.0
 Q3 [%] at $x = 4000.00 \mu\text{m}$ 100.0
 SPAN3 1.292
 U3 1.677
 $S_v [1/\text{mm}]$ 1092.023
 $S_m [\text{cm}^2/\text{g}]$ 27300.575
 Q3 (SPHT=0.9) [%] 97.0
 Q3 (Symm=0.9) [%] 60.5
 Q3 (b/l=0.9) [%] 98.9
 Mean value SPHT3 0.763
 Mean value Symm3 0.888
 Mean value b/l3 0.676

: all use a use the use the use the use the use
 f q. 420_sea_x_sfk_003 3 3e DRD s3/TADWAGA ta p Lef t a R.
 q a sfk003 DRD t et X : q t k

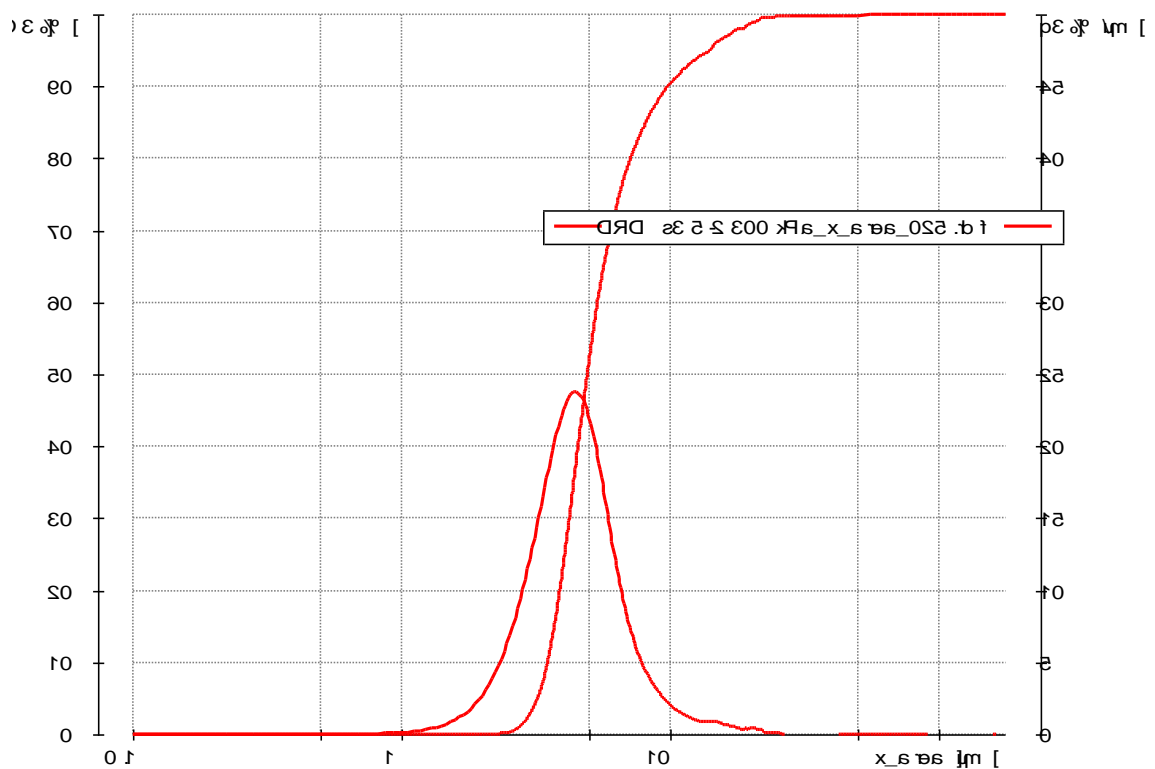


Characteristics of measurement:

D:\ParticleLibrary\CAMDAT\Installation\DRD s3 4-2 300 kPa_x_area_024.rdf

x [μm] at Q3 = 10.0 % 4.32
 x [μm] at Q3 = 50.0 % 9.70
 x [μm] at Q3 = 90.0 % 26.05
 Q3 [%] at x = 1000.00 μm 100.0
 Q3 [%] at x = 2000.00 μm 100.0
 Q3 [%] at x = 4000.00 μm 100.0
 SPAN3 2.240
 U3 2.749
 Sv [1/mm] 725.659
 Sm [cm^2/g] 18141.477
 Q3 (SPHT=0.9) [%] 95.8
 Q3 (Symm=0.9) [%] 44.2
 Q3 (b/l=0.9) [%] 98.7
 Mean value SPHT3 0.768
 Mean value Symm3 0.900
 Mean value b/l3 0.676

• all use of the use of units
 • q. 520_sae_x_sfk_003 s3 DRD
 • q. safk003 DRD test X : test

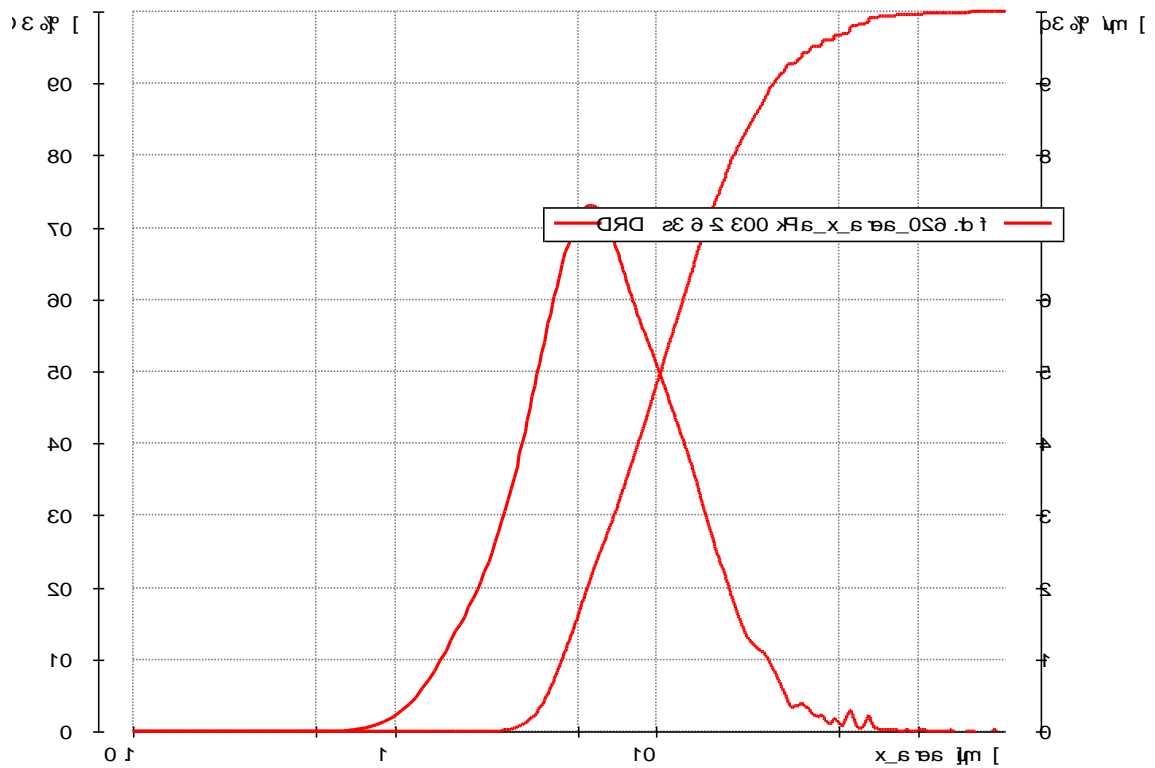


Characteristics of measurement:

D:\ParticleLibrary\CAMDAT\Installation\DRD s3 5-2 300 kPa_x_area_025.rdf

$x [\mu\text{m}]$ at Q3 = 10.0 % 3.50
 $x [\mu\text{m}]$ at Q3 = 50.0 % 4.92
 $x [\mu\text{m}]$ at Q3 = 90.0 % 9.80
 Q3 [%] at $x = 1000.00 \mu\text{m}$ 100.0
 Q3 [%] at $x = 2000.00 \mu\text{m}$ 100.0
 Q3 [%] at $x = 4000.00 \mu\text{m}$ 100.0
 SPAN3 1.280
 U3 1.536
 $S_v [1/\text{mm}]$ 1199.258
 $S_m [\text{cm}^2/\text{g}]$ 29981.455
 Q3 (SPHT=0.9) [%] 97.4
 Q3 (Symm=0.9) [%] 65.4
 Q3 (b/l=0.9) [%] 98.6
 Mean value SPHT3 0.759
 Mean value Symm3 0.884
 Mean value b/l3 0.671

: all use a fine mesh size for a quick
 t q. 620_sea_s_x_sfk_003_5e3e DRD run at 300 kPa / TADWAG at 300 kPa
 q a sfk003 DRD test X : test

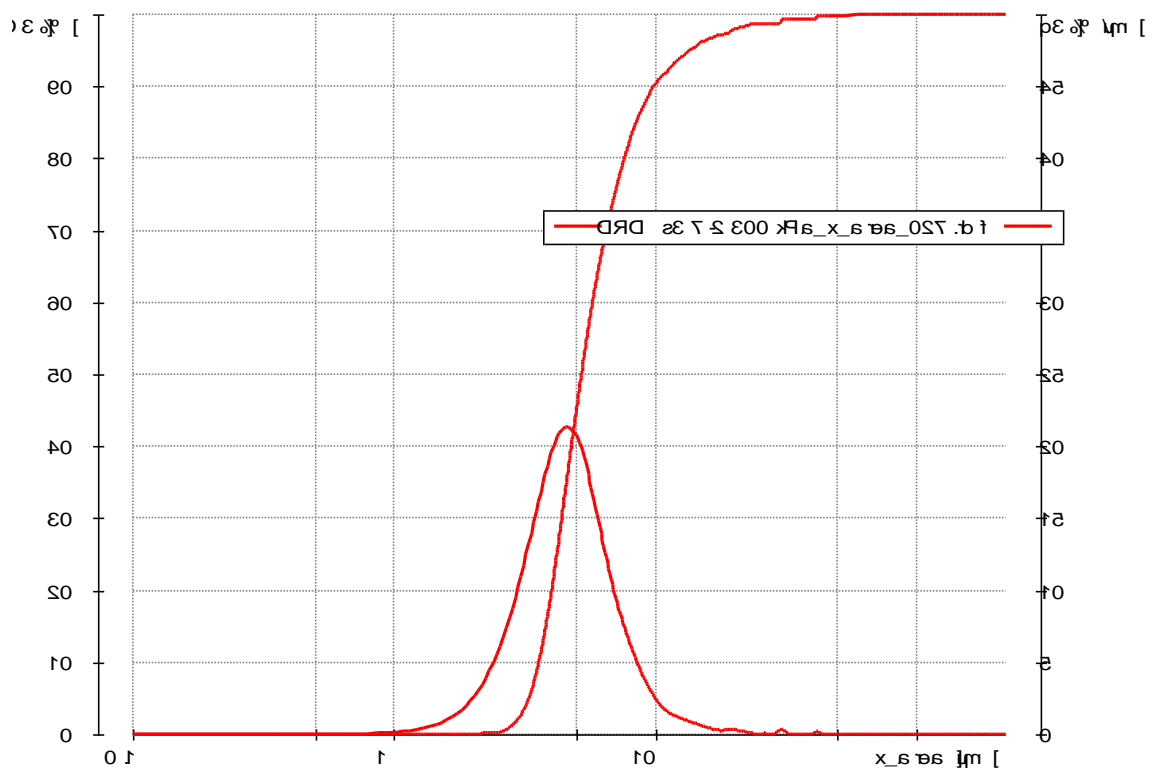


Characteristics of measurement:

D:\ParticleLibrary\CAMDAT\Installation\DRD s3 6-2 300 kPa_x_area_026.rdf

x [μm] at Q3 = 10.0 % 4.37
 x [μm] at Q3 = 50.0 % 10.43
 x [μm] at Q3 = 90.0 % 28.17
 Q3 [%] at x = 1000.00 μm 100.0
 Q3 [%] at x = 2000.00 μm 100.0
 Q3 [%] at x = 4000.00 μm 100.0
 SPAN3 2.282
 U3 2.898
 Sv [1/mm] 696.404
 Sm [cm^2/g] 17410.093
 Q3 (SPHT=0.9) [%] 96.4
 Q3 (Symm=0.9) [%] 43.8
 Q3 (b/l=0.9) [%] 99.1
 Mean value SPHT3 0.765
 Mean value Symm3 0.900
 Mean value b/l3 0.678

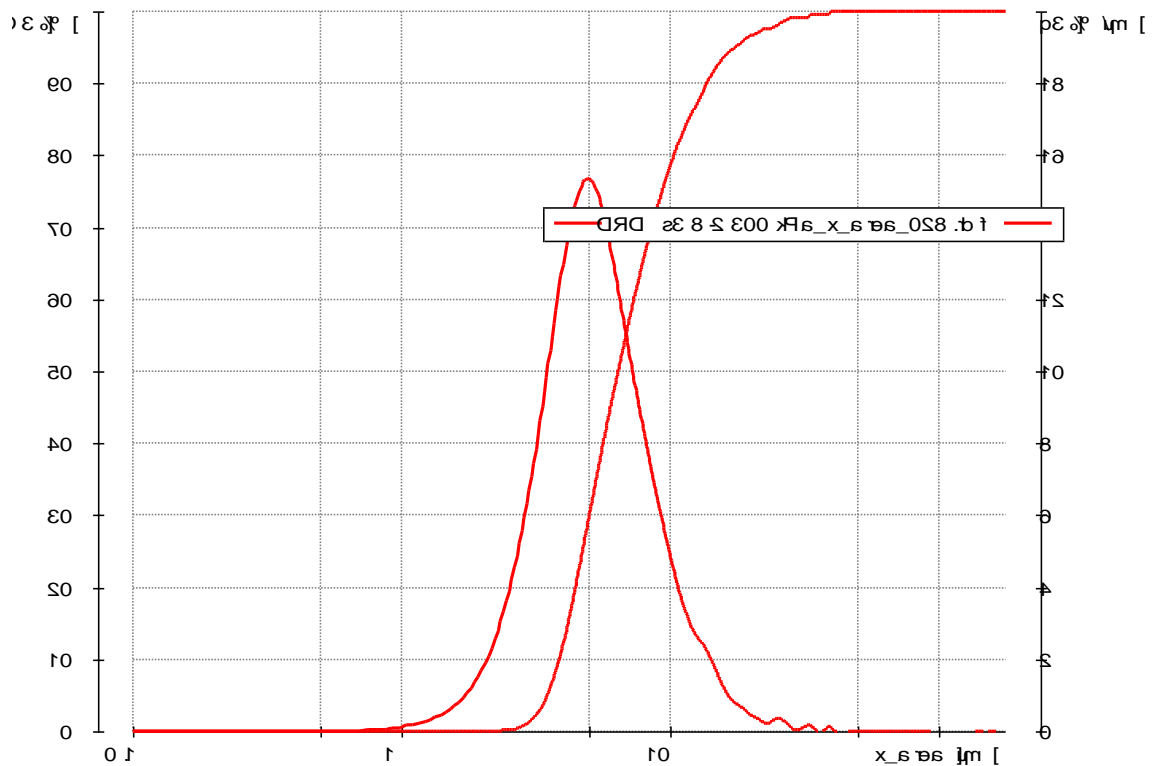
14. 720_aea_x_abk 003 \$ 32 DR0ut_444sh/TADWAG/444sh/L444sh
q_aabk003 DR0ut_444sh :all keys
:all users / use this message only if you have



Characteristics of measurement:

D:\ParticleLibrary\CAMDAT\Installation\DRD s3 7-2 300 kPa_x_area_027.rdf

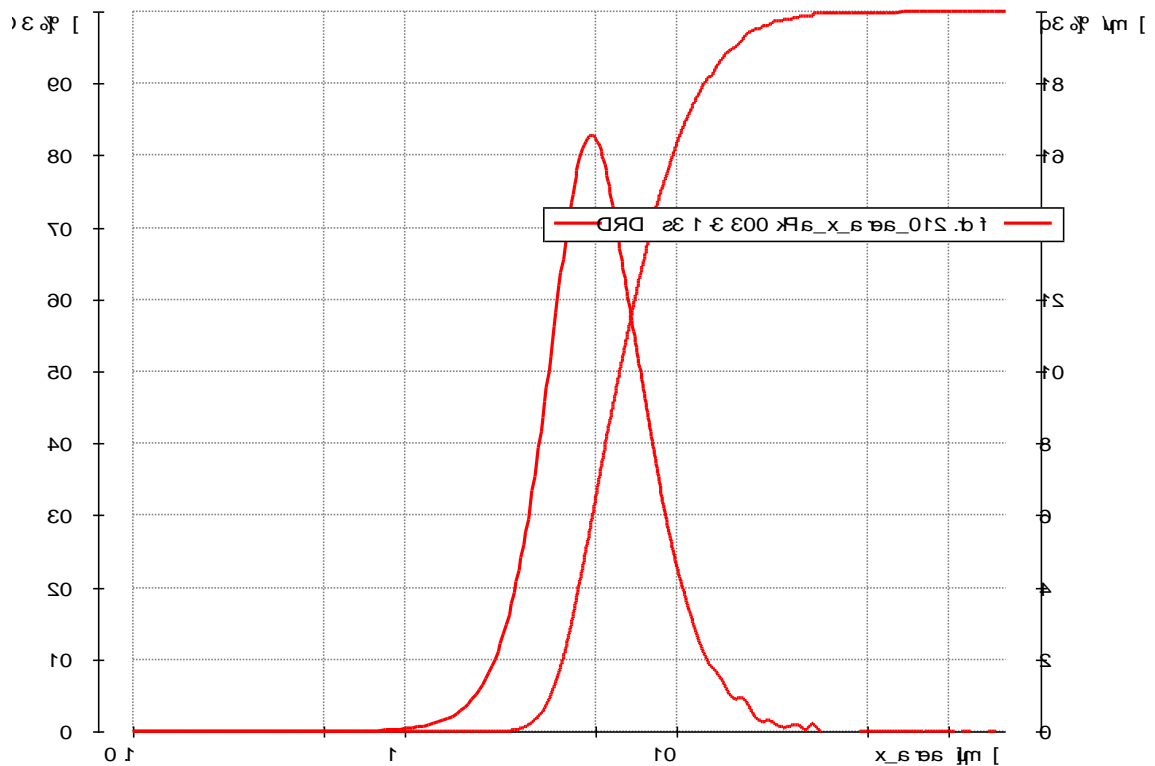
x [μm] at Q3 = 10.0 %	3.58
x [μm] at Q3 = 50.0 %	5.22
x [μm] at Q3 = 90.0 %	9.83
Q3 [%] at x = 1000.00 μm	100.0
Q3 [%] at x = 2000.00 μm	100.0
Q3 [%] at x = 4000.00 μm	100.0
SPAN3	1.197
U3	1.608
Sv [1/mm]	1148.270
Sm [cm ² /g]	28706.739
Q3 (SPHT=0.9) [%]	97.4
Q3 (Symm=0.9) [%]	63.3
Q3 (b/l=0.9) [%]	98.9
Mean value SPHT3	0.762
Mean value Symm3	0.885
Mean value b/l3	0.674



Characteristics of measurement:

D:\ParticleLibrary\CAMDAT\Installation\DRD s3 8-2 300 kPa_x_area_028.rdf

x [μm] at Q3 = 10.0 %	3.85
x [μm] at Q3 = 50.0 %	6.38
x [μm] at Q3 = 90.0 %	13.63
Q3 [%] at x = 1000.00 μm	100.0
Q3 [%] at x = 2000.00 μm	100.0
Q3 [%] at x = 4000.00 μm	100.0
SPAN3	1.533
U3	1.892
Sv [1/mm]	978.851
Sm [cm ² /g]	24471.269
Q3 (SPHT=0.9) [%]	96.7
Q3 (Symm=0.9) [%]	54.0
Q3 (b/l=0.9) [%]	98.8
Mean value SPHT3	0.767
Mean value Symm3	0.893
Mean value b/l3	0.681

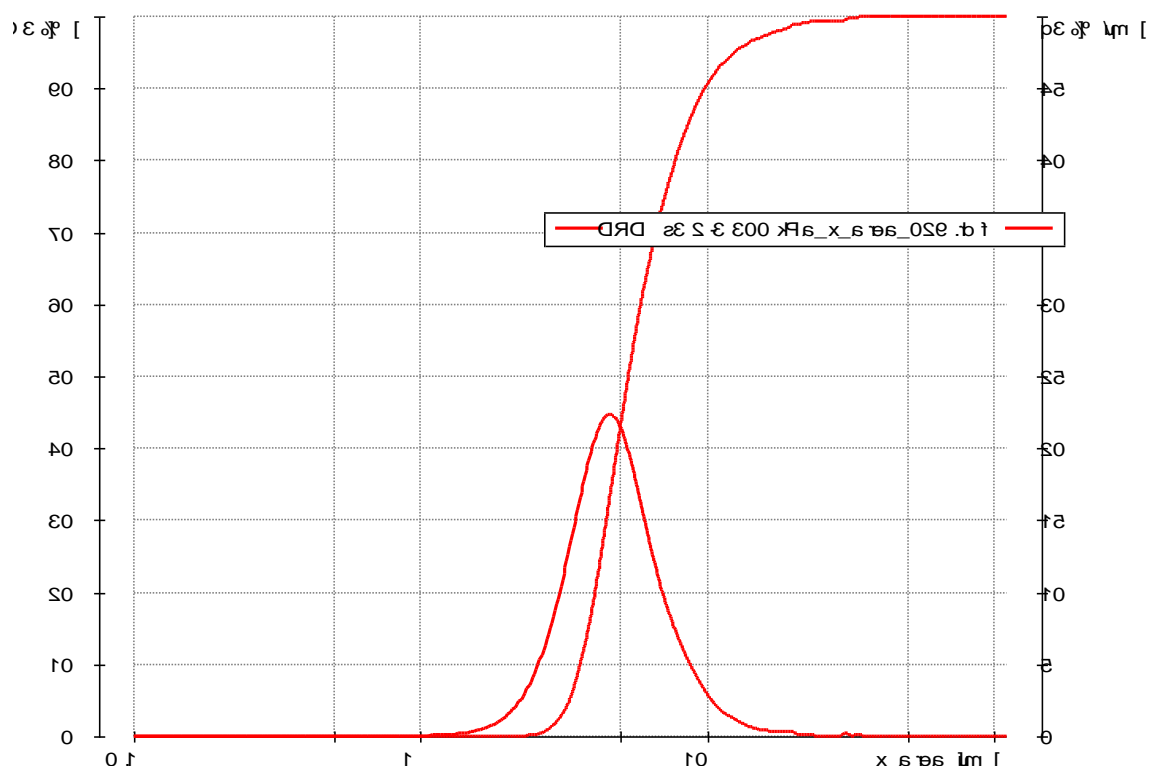


Characteristics of measurement:

D:\ParticleLibrary\CAMDAT\Installation\DRD s3 1-3 300 kPa_x_area_012.rdf

x [μm] at Q3 = 10.0 %	3.81
x [μm] at Q3 = 50.0 %	6.17
x [μm] at Q3 = 90.0 %	12.62
Q3 [%] at x = 1000.00 μm	100.0
Q3 [%] at x = 2000.00 μm	100.0
Q3 [%] at x = 4000.00 μm	100.0
SPAN3	1.427
U3	1.841
Sv [1/mm]	1006.937
Sm [cm ² /g]	25173.417
Q3 (SPHT=0.9) [%]	96.2
Q3 (Symm=0.9) [%]	55.1
Q3 (b/l=0.9) [%]	98.9
Mean value SPHT3	0.767
Mean value Symm3	0.891
Mean value b/l3	0.684

• all use a new measure with 0 probe
 f_q.020_sea_x_9fk 003 3 32 DRD run at 4241/TADMAG with Lefèvre
 q a 9fk003 DRD test X : #1 ksa



Characteristics of measurement:

D:\ParticleLibrary\CAMDAT\Installation\DRD s3 2-3 300 kPa_x_area_029.rdf

x [μm] at Q3 = 10.0 % 3.60

x [μm] at Q3 = 50.0 % 5.30

x [μm] at Q3 = 90.0 % 9.77

Q3 [%] at x = 1000.00 μm 100.0

Q3 [%] at x = 2000.00 μm 100.0

Q3 [%] at x = 4000.00 μm 100.0

SPAN3 1.164

U3 1.625

Sv [1/mm] 1137.837

Sm [cm²/g] 28445.926

Q3 (SPHT=0.9) [%] 97.2

Q3 (Symm=0.9) [%] 62.3

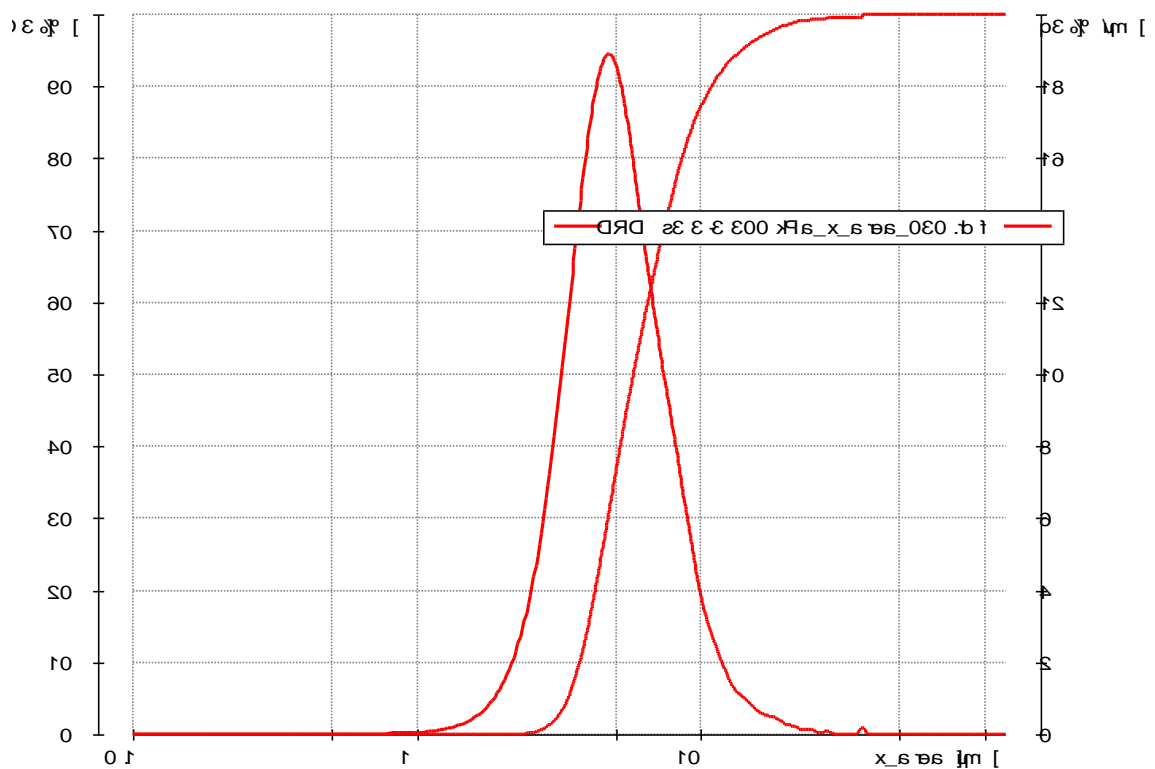
Q3 (b/l=0.9) [%] 99.0

Mean value SPHT3 0.763

Mean value Symm3 0.887

Mean value b/l3 0.675

14. 030_aga_x_abk 003 3 32 DR0ut 91 4sh/TADWAG alp LeftriaR
q abK003 DRDf 91 X : q1 ksa : all uses f une nse use q1 bba

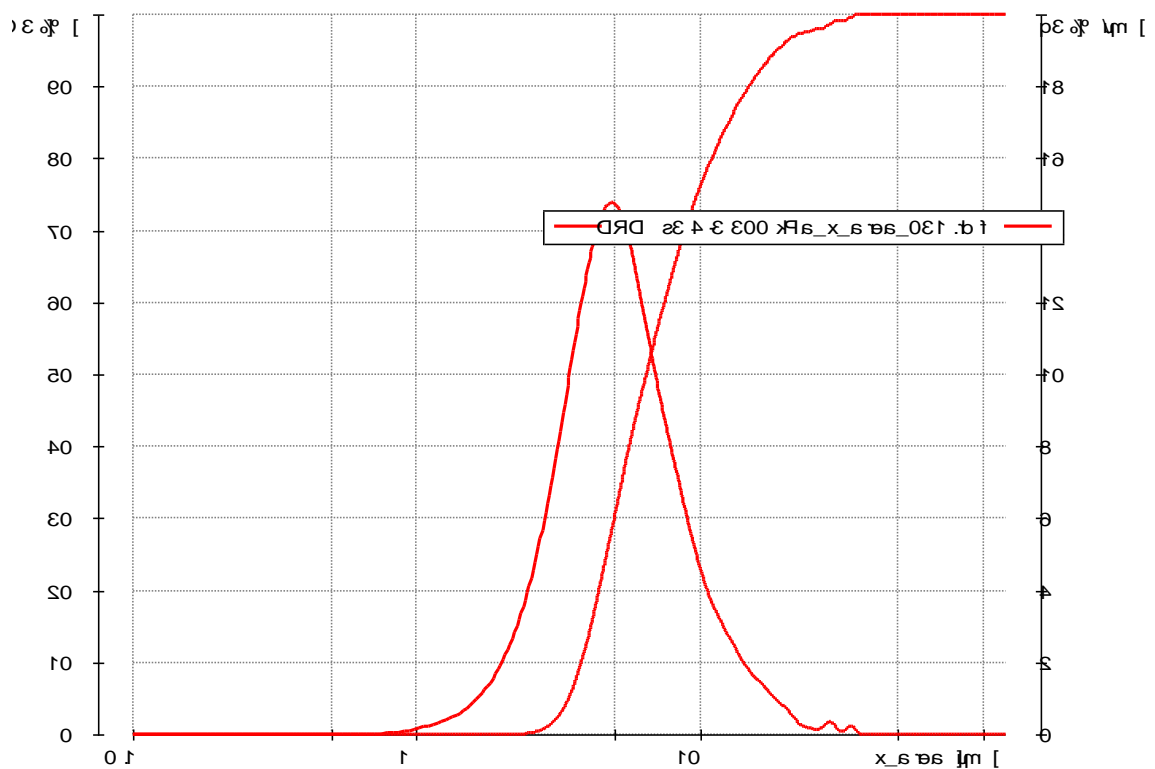


Characteristics of measurement:

D:\ParticleLibrary\CAMDAT\Installation\DRD_s3_3-3_300_kPa_x_area_030.rdf

x [μm] at Q3 = 10.0 %	3.74
x [μm] at Q3 = 50.0 %	5.78
x [μm] at Q3 = 90.0 %	10.89
Q3 [%] at x = 1000.00 μm	100.0
Q3 [%] at x = 2000.00 μm	100.0
Q3 [%] at x = 4000.00 μm	100.0
SPAN3	1.238
U3	1.738
Sv [1/mm]	1064.296
Sm [cm ² /g]	26607.392
Q3 (SPHT=0.9) [%]	96.7
Q3 (Symm=0.9) [%]	58.5
Q3 (b/l=0.9) [%]	99.0
Mean value SPHT3	0.767
Mean value Symm3	0.889
Mean value b/l3	0.679

all use the same unit of length
for 130_sae_x_sfk_003_3_3e_DRD unit is cm/TADWAG unit is mm
for sfk003 DRD test X : it is kg

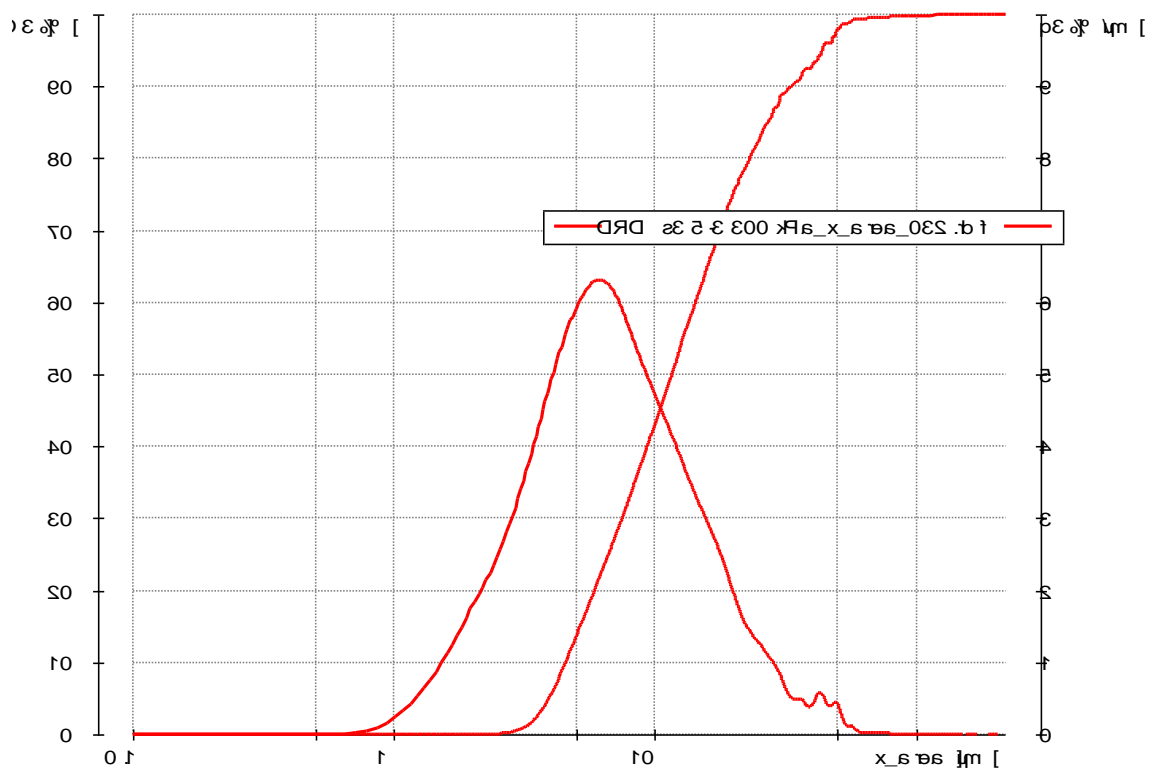


Characteristics of measurement:

D:\ParticleLibrary\CAMDAT\Installation\DRD_s3 4-3 300 kPa_x_area_031.rdf

$x [\mu\text{m}]$ at Q3 = 10.0 % 3.81
 $x [\mu\text{m}]$ at Q3 = 50.0 % 6.47
 $x [\mu\text{m}]$ at Q3 = 90.0 % 14.90
 Q3 [%] at $x = 1000.00 \mu\text{m}$ 100.0
 Q3 [%] at $x = 2000.00 \mu\text{m}$ 100.0
 Q3 [%] at $x = 4000.00 \mu\text{m}$ 100.0
 SPAN3 1.713
 U3 1.969
 Sv [1/mm] 968.176
 Sm [cm^2/g] 24204.403
 Q3 (SPHT=0.9) [%] 96.3
 Q3 (Symm=0.9) [%] 53.5
 Q3 (b/l=0.9) [%] 98.8
 Mean value SPHT3 0.767
 Mean value Symm3 0.893
 Mean value b/l3 0.681

14. 230 _a#R003 _DRAFT_@t X :@t ksa
q _a#R003 _DRAFT_@t X :@t ksa
1 _a#R003 _DRAFT_@t X :@t ksa
: all uses of the name use the o ligature

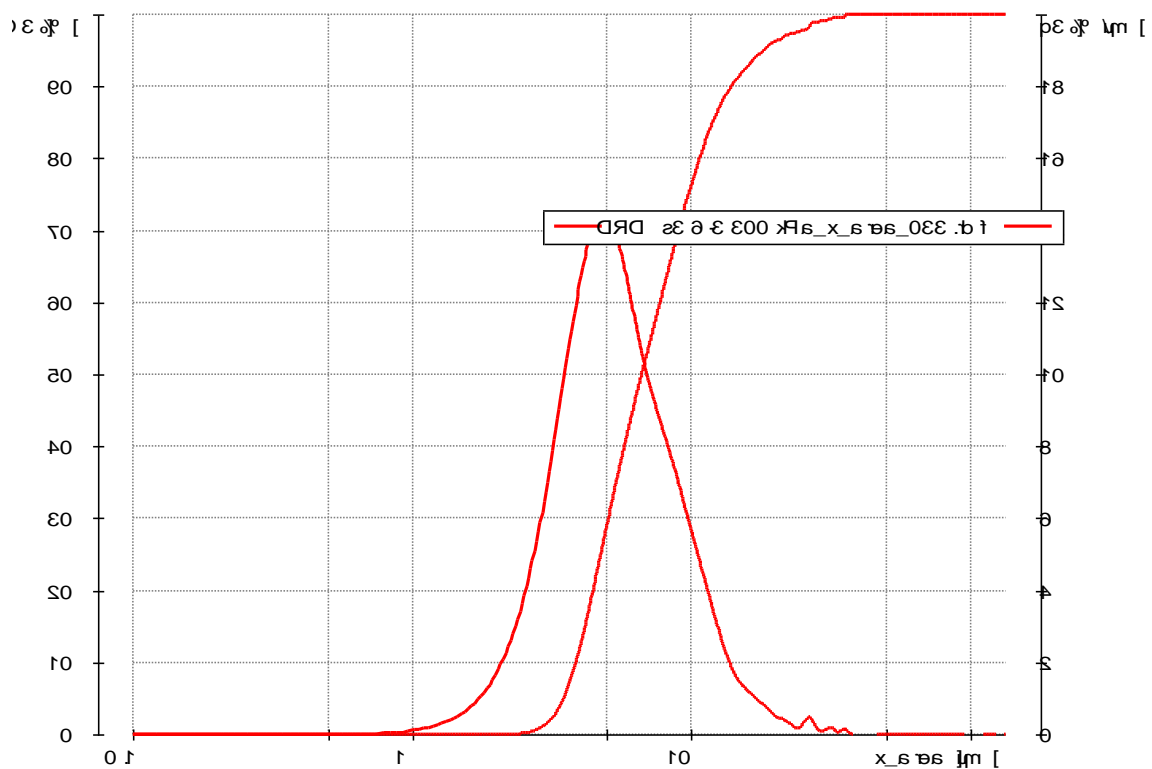


Characteristics of measurement:

D:\ParticleLibrary\CAMDAT\Installation\DRD_s3_5-3_300_kPa_x_area_032.rdf

x [μm] at Q3 = 10.0 %	4.55
x [μm] at Q3 = 50.0 %	11.60
x [μm] at Q3 = 90.0 %	33.18
Q3 [%] at x = 1000.00 μm	100.0
Q3 [%] at x = 2000.00 μm	100.0
Q3 [%] at x = 4000.00 μm	100.0
SPAN3	2.469
U3	3.139
Sv [1/mm]	646.020
Sm [cm ² /g]	16150.500
Q3 (SPHT=0.9) [%]	96.0
Q3 (Symm=0.9) [%]	43.0
Q3 (b/l=0.9) [%]	98.7
Mean value SPHT3	0.766
Mean value Symm3	0.902
Mean value b/l3	0.673

• 330_sae_x_sfk_003_3e3e_DRD.txt 9/24/2014/TADWAG/3003/DRD/
• safk003 DRD.txt : file key

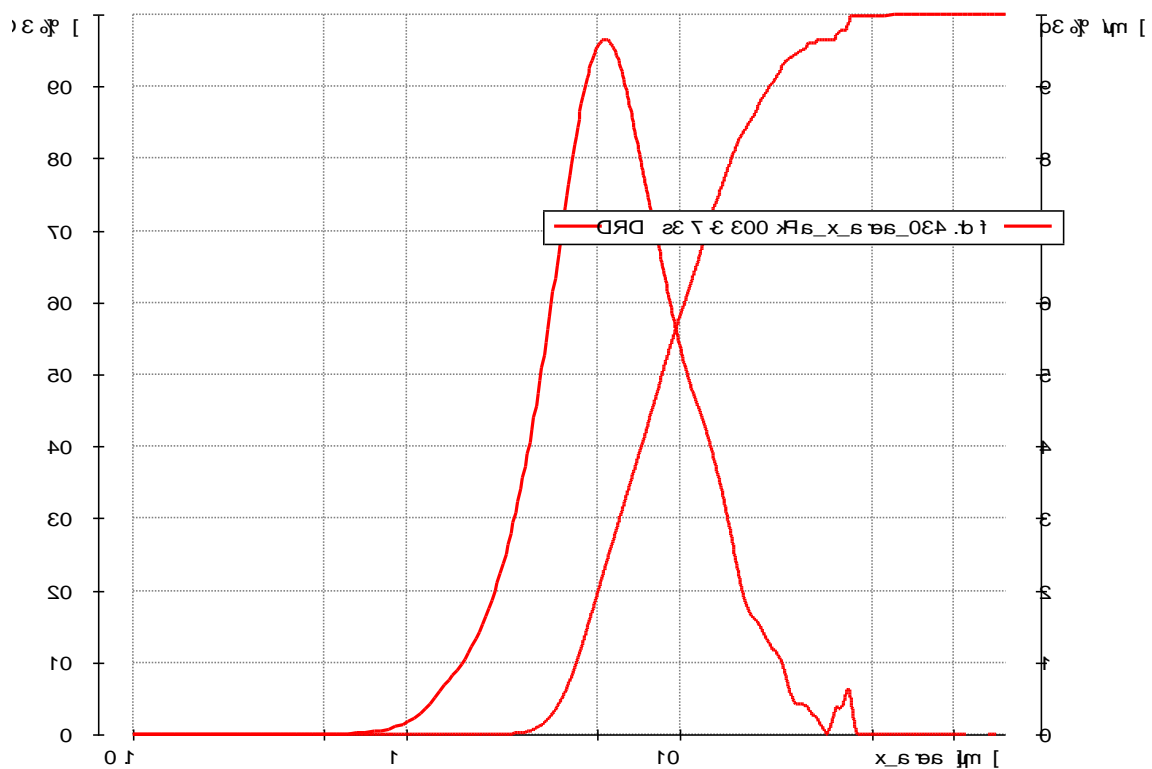


Characteristics of measurement:

D:\ParticleLibrary\CAMDAT\Installation\DRD s3 6-3 300 kPa_x_area_033.rdf

x [μm] at Q3 = 10.0 %	3.86
x [μm] at Q3 = 50.0 %	6.63
x [μm] at Q3 = 90.0 %	13.92
Q3 [%] at x = 1000.00 μm	100.0
Q3 [%] at x = 2000.00 μm	100.0
Q3 [%] at x = 4000.00 μm	100.0
SPAN3	1.518
U3	2.003
Sv [1/mm]	958.506
Sm [cm^2/g]	23962.662
Q3 (SPHT=0.9) [%]	96.8
Q3 (Symm=0.9) [%]	51.3
Q3 (b/l=0.9) [%]	98.8
Mean value SPHT3	0.769
Mean value Symm3	0.894
Mean value b/l3	0.682

all use a new use new o jibra
t q. 430_sae_x_sfk_003 3 3e DRDrun 9 924/TADWAG/kaap/Lefkara
q a sfk003 DRDfet X : qit ksa

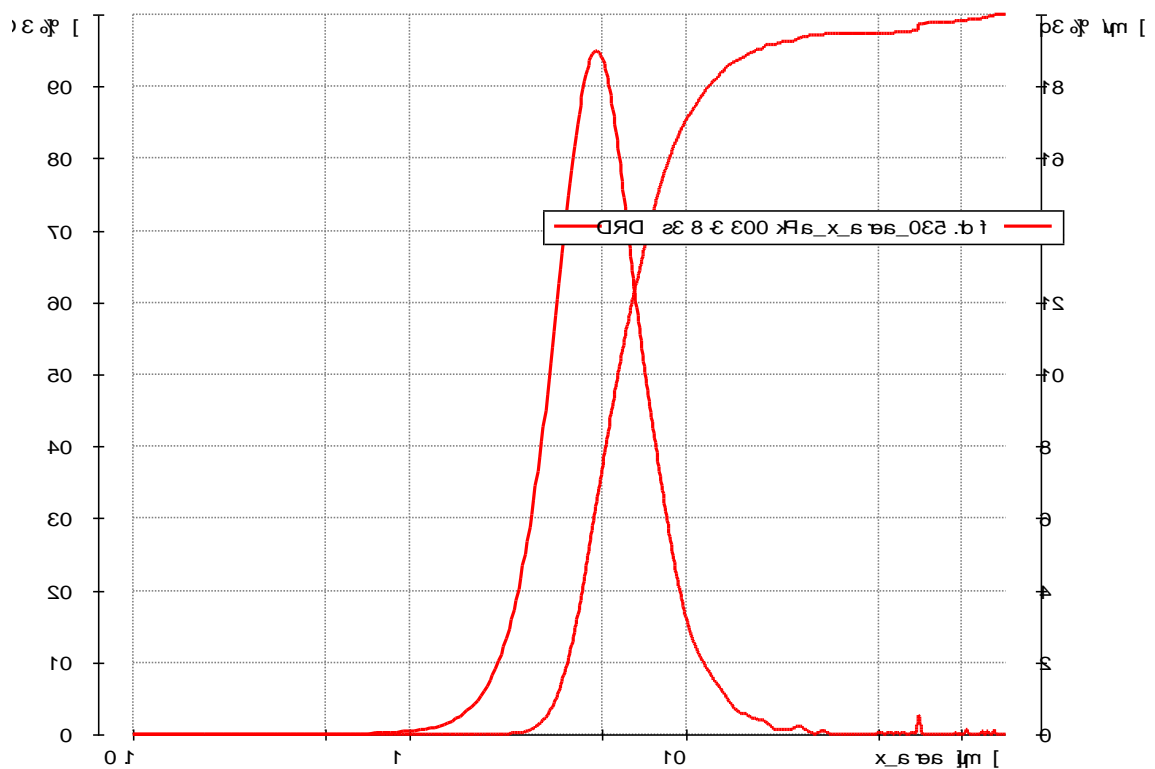


Characteristics of measurement:

D:\ParticleLibrary\CAMDAT\Installation\DRD s3 7-3 300 kPa_x_area_034.rdf

$x [\mu\text{m}]$ at Q3 = 10.0 % 4.18
 $x [\mu\text{m}]$ at Q3 = 50.0 % 8.57
 $x [\mu\text{m}]$ at Q3 = 90.0 % 21.16
 Q3 [%] at $x = 1000.00 \mu\text{m}$ 100.0
 Q3 [%] at $x = 2000.00 \mu\text{m}$ 100.0
 Q3 [%] at $x = 4000.00 \mu\text{m}$ 100.0
 SPAN3 1.981
 U3 2.490
 $S_v [1/\text{mm}]$ 791.045
 $S_m [\text{cm}^2/\text{g}]$ 19776.119
 Q3 (SPHT=0.9) [%] 95.3
 Q3 (Symm=0.9) [%] 45.7
 Q3 (b/l=0.9) [%] 99.0
 Mean value SPHT3 0.770
 Mean value Symm3 0.900
 Mean value b/l3 0.682

file name : f_530_sa_x_sfk_003_3_8_3e_DRD
 f_530_sa_x_sfk_003_3_8_3e_DRD.out
 f_530_sa_x_sfk_003_3_8_3e_DRD.txt



Characteristics of measurement:

D:\ParticleLibrary\CAMDAT\Installation\DRD s3 8-3 300 kPa_x_area_035.rdf

x [μm] at Q3 = 10.0 %	3.74
x [μm] at Q3 = 50.0 %	5.70
x [μm] at Q3 = 90.0 %	12.14
Q3 [%] at x = 1000.00 μm	100.0
Q3 [%] at x = 2000.00 μm	100.0
Q3 [%] at x = 4000.00 μm	100.0
SPAN3	1.472
U3	1.714
Q3 (SPHT=0.9) [%]	97.0
Q3 (Symm=0.9) [%]	58.7
Q3 (b/l=0.9) [%]	98.8
Mean value SPHT3	0.762
Mean value Symm3	0.886
Mean value b/l3	0.675